

# **PRUŽNOST A PEVNOST**

**K132 PRPE - I2-2**

**3+2, Z, zk**

## **Doporučená literatura:**

Šejnoha, Bittnarová: Pružnost a pevnost, ES ČVUT, 2004

Bittnarová, Fajman, Kalousková,  
Šejnoha : Pružnost a pevnost - příklady, ES ČVUT, 2004

Šejnoha, Bittnarová: Pružnost a pevnost 20, ES ČVUT, 2003

Bittnarová, Fajman, Kalousková, Šejnoha :  
Pružnost a pevnost 20 - příklady, ES ČVUT, 2004

Přednášíci' : Doc. Ing. Jitka Bittnarová, CSc - B 323

Cvičící : Ing. Dagmar Sandeková - B 310

Ing. Zbyněk Pavlík, Ph.D. - D 1008

Ing. Marek Čmejla - B 308

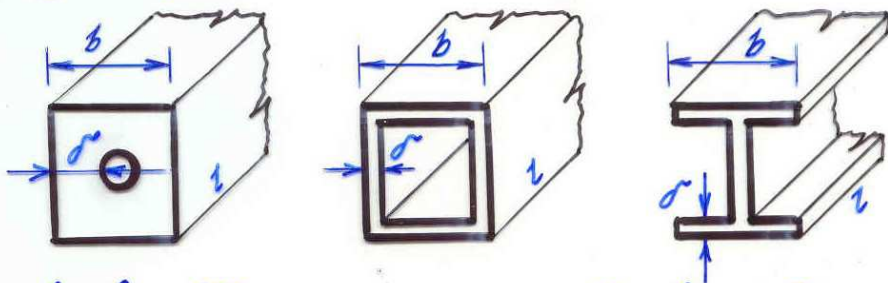
**Konzultace : B 323, po 13.00 - 14.30**

## ÚVOD

Cíl předmětu: výpočet a) napjatosti,  
b) přetváření

konstrukcí prutových od níru zatížení'

Příčníý řez prutu:



masivní průřez

tenkostěnný průřez  
uzavřený otevřený

$$\frac{d}{b} > \frac{1}{10}$$

$$d : b : t \approx 1 : 10 : 100$$

Nutno uvažovat těleso poddajné (ne dokonale tuhé), jako např. při výpočtu reakcí staticky určitých kci'

Zákl. úloha

teorie pružnosti - určit množinu posunu všech bodů tělesa  
(pro deformaci tělesa důležitá změna posunu)

nauky o pevnosti - určit napětí a jejich přípustné meze dle druhu materiálu

## Základní předpoklady a pojmy

- těleso = kontinuum / spojité využitelného můstou  
před i po deformaci)  
idealizace - ocel, beton, dřevo - uspokojivý předp.  
 $\times$  zeminy, kompozity - nerychovující

### materiál je

homogenní - vlastnosti stejné ve všech bodech  
 $\times$  nehomogenní

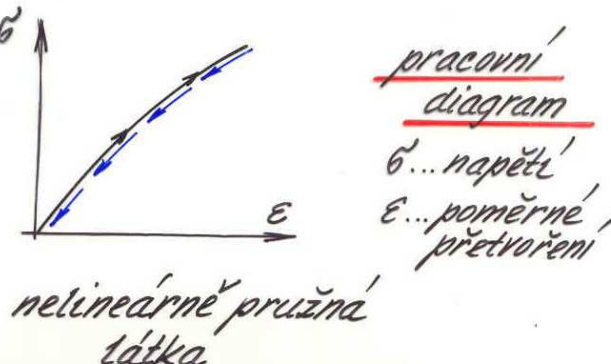
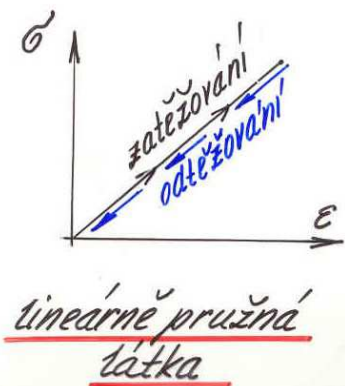
izotropní - vlastnosti stejné ve všech směrech  
jedoucích z jednoho bodu

$\times$  anizotropní

zvl. případ → ortotropní látky, dřevo,  
odlišné vlastnosti ve dvou kolmých směrech

- elementární vnitřní sily - spojité rozloženy  
v kontinuu  
(umožní definovat napětí)

- dokonale pružný materiál = těleso se po odtržení  
vrátí do původního tvaru  
 $\times$  vznik trvalých deformací → teorie plasticity)



## Základní předpoklady a pojmy

- těleso = kontinuum / spojité využitelného můstou  
před i po deformaci)  
idealizace - ocel, beton, dřevo - uspokojivý předp.  
 $\times$  zeminy, kompozity - nerychovující

### materiál je

homogenní - vlastnosti stejné ve všech bodech  
 $\times$  nehomogenní

izotropní - vlastnosti stejné ve všech směrech  
jedoucích z téhož bodu

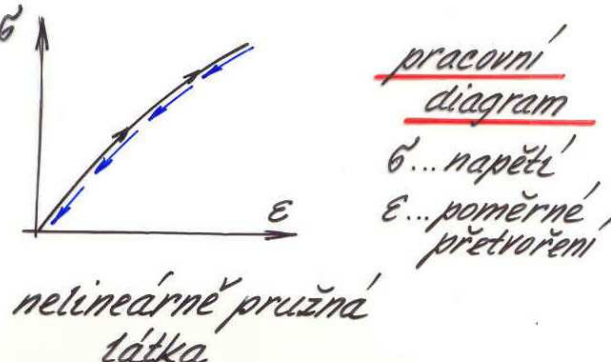
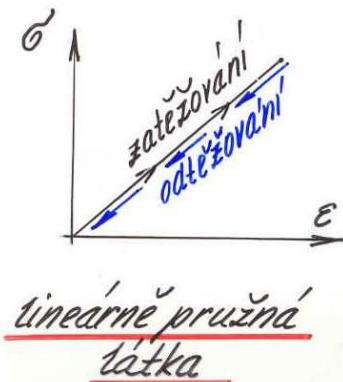
$\times$  anizotropní

zvl. případ → ortotropní látky, dřevo,  
odlišné vlastnosti ve dvou kolmých směrech

### elementární vnitřní sily - spojité rozloženy

v kontinuu  
(umožní definovat napětí)

- dokonale pružný materiál = těleso se po odtržení  
vrátí do původního tvaru  
 $\times$  vznik trvalých deformací → teorie plasticity)



- statické působení - zatížení roste z nuly do konečné hodnoty nekonečně pomalu ( $\Rightarrow$  neuplatní se setrvacné síly)

$\times$  dynamika - disciplina zabývající se vlivem setrvacích sil

- vliv času na fyzikálně mechanické vlastnosti látky se neuvažuje

$\times$  reologie - dotvarování betonu (deformace se s časem mění, aniž by došlo ke změně zatížení)

- deterministická mechanika

= předpoklad jednoznačné určení materialových, geometrických vlastností tělesa, ale i zatížení

$\times$  skutečnost: náhodné vlastnosti materiálů  
i zatížení

$\Rightarrow$  stochastická mechanika

na ni navazuje: teorie spolehlivosti

hl. cíl: odhad pravděpodobnosti, že nedojde  
 $\nearrow$  k selhání kce

využívá se při návrhování kci

KURS PRPE

- základní rovnice teorie pružnosti
- analýza prutů (ohyb, smyk za ohybem, kroucení)
- stabilita přímých prutů

## ZÁKLADNÍ ROVNICE TEORIE PRUŽNOSTI

- geometrické (6)
- statické (3)
- fyzikální (6)

### POPIS STAVU DEFORMACE. GEOMETRICKÉ ROVNICE.

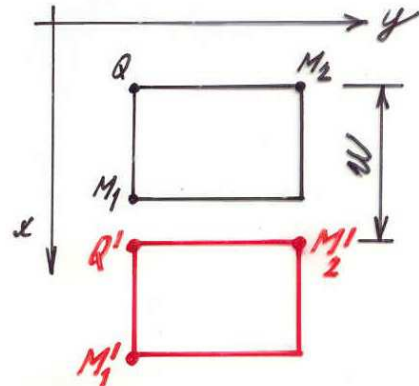
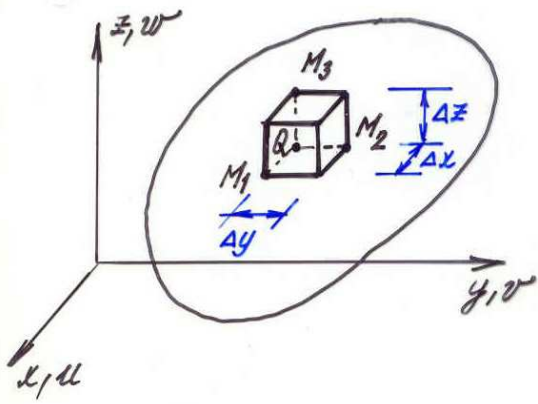
Deformace tělesa = změna tvaru a objemu  
(důsledek tvarových a objemových změn částic)

Popis deformace

- složkami posunutí  $u, v, w$
- složkami deformace  $\epsilon_x, \epsilon_y, \epsilon_z, \mu_{xy}, \mu_{yz}, \mu_{xz}$

Vysvětlíme na objemových a tvarových změnách  
elementárního krádru

složka posunutí  $u$



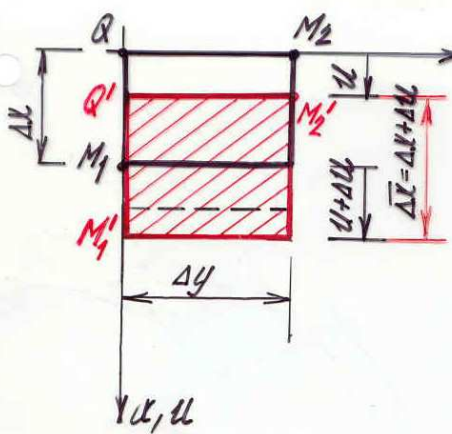
složky deformace (dvojího typu)

poměrné délkové deformace:  $\epsilon_x, \epsilon_y, \epsilon_z$

poměrné úhlové deformace:  $\mu_{yz}, \mu_{xz}, \mu_{xy}$

$\Rightarrow$  2 geometriko-deformační modely kvádru

1. deformační model: pouze protážení hran  
(pri zachování pravých  $\angle$ )  
 $\Rightarrow$  relativní prodloužení (dilatace)



Relativní změna délky hrany  $QM_1$ :

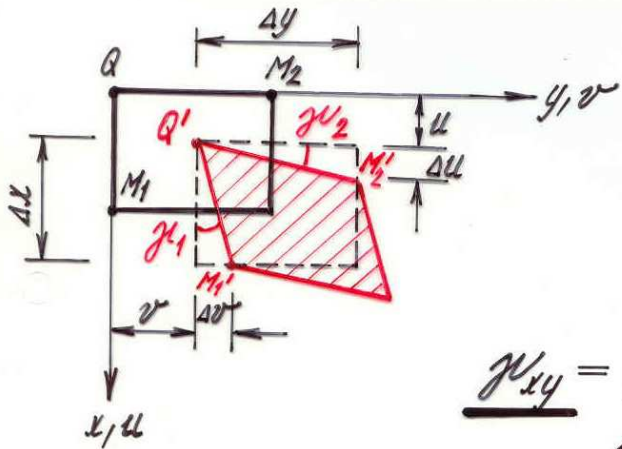
$$\begin{aligned} \underline{\epsilon_x} &= \lim_{\Delta x \rightarrow 0} \frac{\Delta \bar{x} - \Delta x}{\Delta x} = \lim_{\Delta x \rightarrow 0} \frac{\Delta u}{\Delta x} = \\ &= \lim_{\Delta x \rightarrow 0} \frac{u(x+\Delta x, y, z) - u(x, y, z)}{\Delta x} = \\ &= \underline{\frac{\partial u}{\partial x}} \end{aligned}$$

Zbyrající 2 rovnice pro  $\epsilon_y, \epsilon_z$  cyklickou zámeňou  
 $x \rightarrow y \rightarrow z \rightarrow x$   
 $u \rightarrow v \rightarrow w \rightarrow u$

$$\begin{aligned} \epsilon_x &= \frac{\partial u}{\partial x} \\ \epsilon_y &= \frac{\partial v}{\partial y} \\ \epsilon_z &= \frac{\partial w}{\partial z} \end{aligned}$$

2. deformacní model: změny pravých & mezi stěnami  
(při zachování délky hrany)

⇒ relativní úhlové změny (zkosení)



úhlová deformace  
v rovině xy (změna  
pravého & mezi hranami  
 $QM_1, QM_2$ ):

$$\begin{aligned}\theta_{xy} &= \theta_1 + \theta_2 = \\ &= \lim_{\Delta x \rightarrow 0} \frac{\Delta v}{\Delta x} + \lim_{\Delta y \rightarrow 0} \frac{\Delta u}{\Delta y} = \\ &= \frac{\partial v}{\partial x} + \frac{\partial u}{\partial y}\end{aligned}$$

Izbýrající 2 rovnice pro  $\theta_{yz}, \theta_{zx}$  cyklickou zámenou

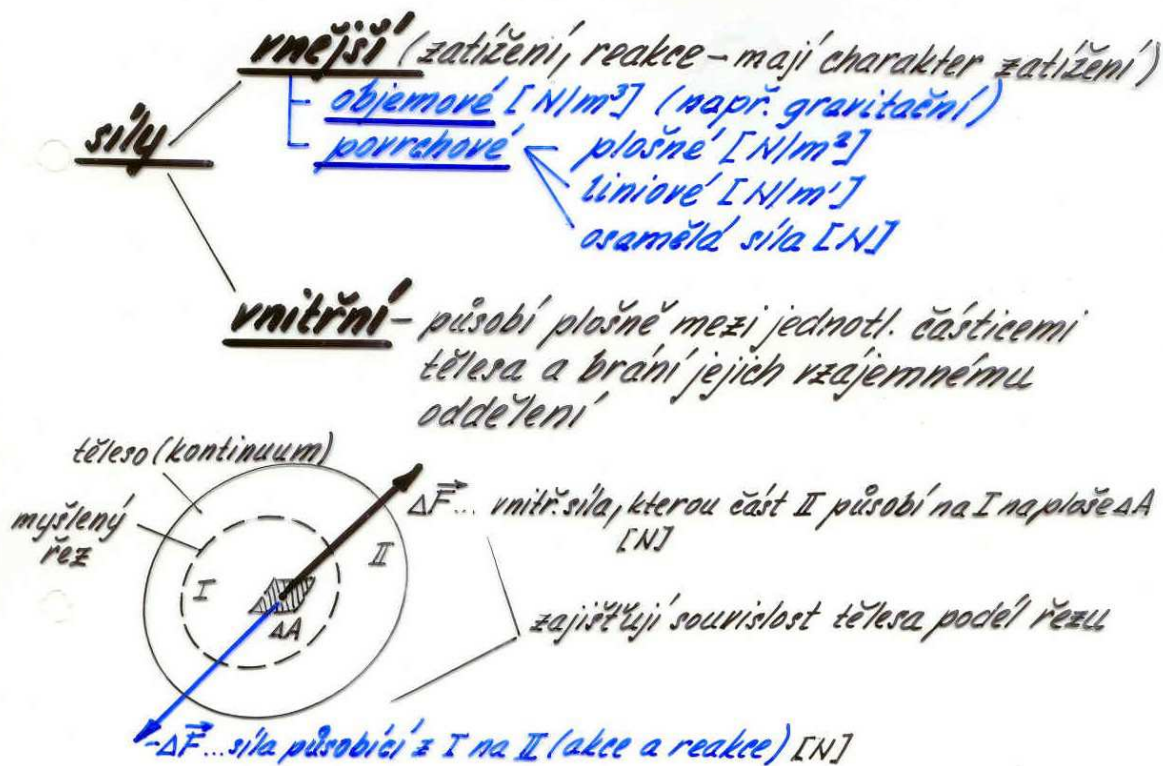
$$\begin{aligned}\theta_{xy} &= \frac{\partial u}{\partial y} + \frac{\partial v}{\partial x} \\ \theta_{yz} &= \frac{\partial v}{\partial z} + \frac{\partial w}{\partial y} \\ \theta_{zx} &= \frac{\partial w}{\partial x} + \frac{\partial u}{\partial z}\end{aligned}$$

6 geometrických rovnic – popisují vztah mezi složkami  
posunutí a složkami deformace

## POPIS STAVU NAPĚTI STATICKÉ ROVNICE

Hledáme podmínky, za nichž bude libovolná částice tělesa v rovnováze.

V podmírkách rovnováhy se uplatní:

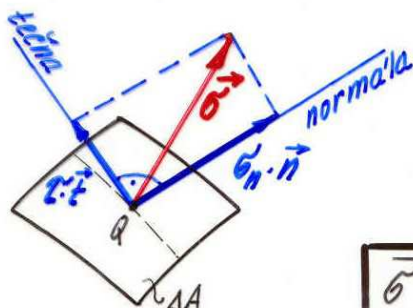


$\frac{\Delta F}{\Delta A}$  ... průměrná vnejší povrchová síla [ $N/m^2$ ], kterou část II působí na I  
 $\Delta A$  lze libovolně zmenšovat.  
 $\Rightarrow$  vektor napětí

$\vec{\sigma} = \lim_{\Delta A \rightarrow 0} \frac{\Delta \vec{F}}{\Delta A}$  [ $N/m^2 = Pa$ ]

### Vektor napětí $\vec{\sigma}$ lze rozložit

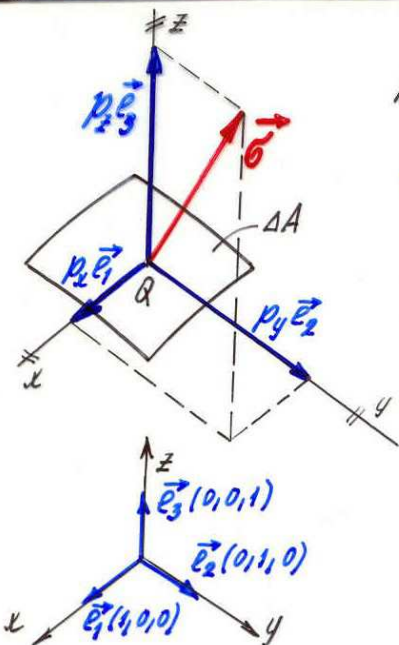
a) do směru normály a tečny



$$\vec{\sigma} = \sigma_n \cdot \vec{n} + \tau \cdot \vec{e} \quad \text{nebo} \quad \vec{\sigma} = (\sigma_n, \tau)$$

$\sigma_n$  ... normalové napětí  
 $\tau$  ... smykové napětí  
 $\vec{n}, \vec{e}$  ... jednotkové vektory  
 ve směru normály a tečny

b) do směru os souřadnic



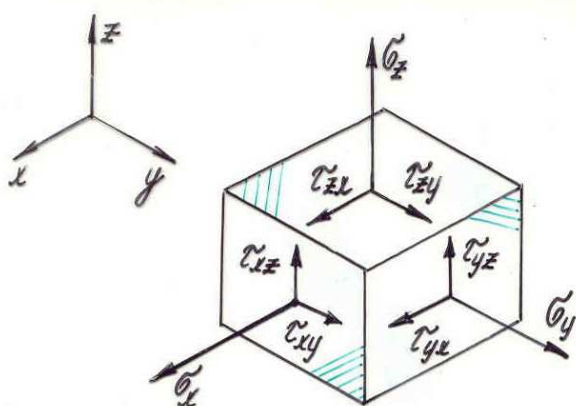
$$\vec{\sigma} = p_x \vec{e}_1 + p_y \vec{e}_2 + p_z \vec{e}_3 \quad \text{nebo} \quad \vec{\sigma} = (p_x, p_y, p_z)$$

$p_x, p_y, p_z$  ... kartežské složky  
 vektoru napětí  
 $\vec{e}_1, \vec{e}_2, \vec{e}_3$  ... jednotkové vektory  
 ve směru os x, y, z

Při zvláštní poloze obecné plášťky (plášťka je  $\parallel$  se souř. rovinou)  
 složky  $p_x, p_y, p_z \rightarrow \sigma_n, \tau$

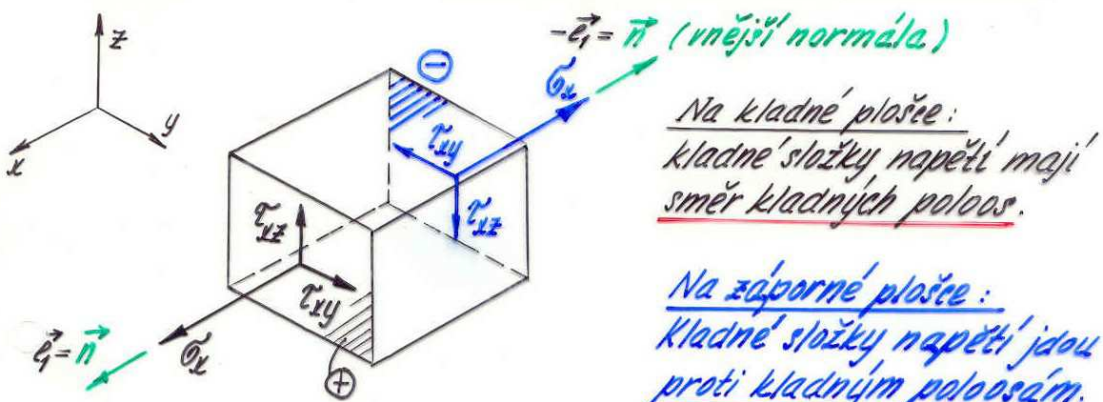
## Složky napětí na elementárním kvaďru

(plošky II se souřadnicovými rovinami)



Pozn.: Zakresleny pouze složky napětí na kladných ploškách

## Kladná orientace složek napětí na dvou II ploškách



$-\vec{e}_1 = \vec{n}$  (vnější normála)

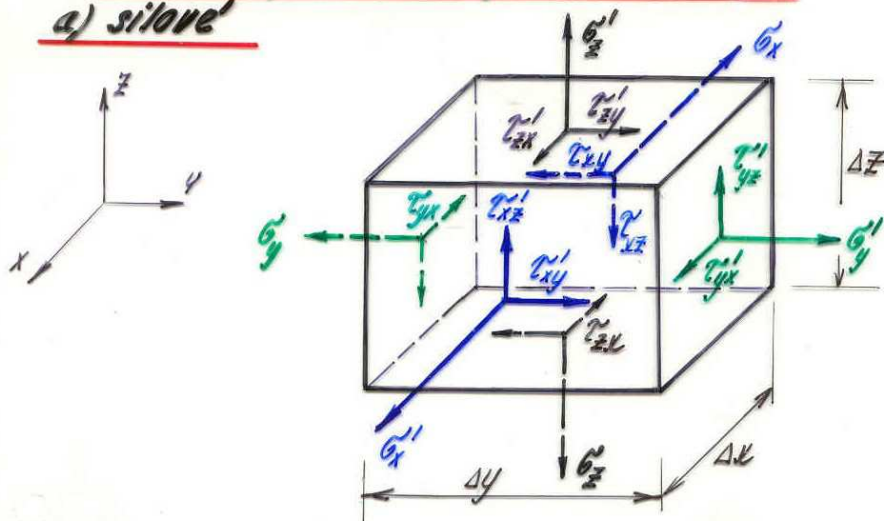
Na kladné ploše:  
kladné složky napětí mají směr kladných poloos.

Na záporné ploše:  
kladné složky napětí jdou proti kladným poloosám.

$$\vec{n} = \vec{e}_1 : \begin{aligned} p_x &= \sigma_x \\ p_y &= \sigma_{xy} \\ p_z &= \sigma_{xz} \end{aligned}$$

## Podmínky rovnováhy na kružničku:

### a) silové



V podmínce silové'  
ve směru osy x se budou  
vyskytovat složky:

$$\tilde{G}_x' = \tilde{G}_x(x + \Delta x, y, z); \quad \tilde{G}_x(x, y, z)$$

$$\tilde{T}_{zx}' = \tilde{T}_{zx}(x, y, z + \Delta z); \quad \tilde{T}_{zx}(x, y, z)$$

$$\tilde{T}_{yx}' = \tilde{T}_{yx}(x, y + \Delta y, z); \quad \tilde{T}_{yx}(x, y, z)$$

$$\begin{aligned} f_x: \quad & \tilde{G}_x' \Delta y \Delta z - \tilde{G}_x \Delta y \Delta z + \tilde{T}_{yx}' \Delta x \Delta z - \tilde{T}_{yx} \Delta x \Delta z + \tilde{T}_{zx}' \Delta x \Delta y - \tilde{T}_{zx} \Delta x \Delta y + \\ & + X \Delta x \Delta y \Delta z = 0 \quad / : \Delta x \Delta y \Delta z \\ & \text{lim: } \Delta x \rightarrow \Delta y \rightarrow \Delta z \rightarrow 0 \end{aligned}$$

$$\lim_{\Delta x \rightarrow 0} \frac{\tilde{G}_x(x + \Delta x, y, z) - \tilde{G}_x(x, y, z)}{\Delta x} + \lim_{\Delta y \rightarrow 0} \frac{\tilde{T}_{yx}(x, y + \Delta y, z) - \tilde{T}_{yx}(x, y, z)}{\Delta y} +$$

$$+ \lim_{\Delta z \rightarrow 0} \frac{\tilde{T}_{zx}(x, y, z + \Delta z) - \tilde{T}_{zx}(x, y, z)}{\Delta z} + X = 0$$

→ x:

$$\frac{\partial \tilde{G}_x}{\partial x} + \frac{\partial \tilde{T}_{yx}}{\partial y} + \frac{\partial \tilde{T}_{zx}}{\partial z} + X = 0$$

→ y:

$$\frac{\partial \tilde{T}_{xy}}{\partial x} + \frac{\partial \tilde{G}_y}{\partial y} + \frac{\partial \tilde{T}_{zy}}{\partial z} + Y = 0$$

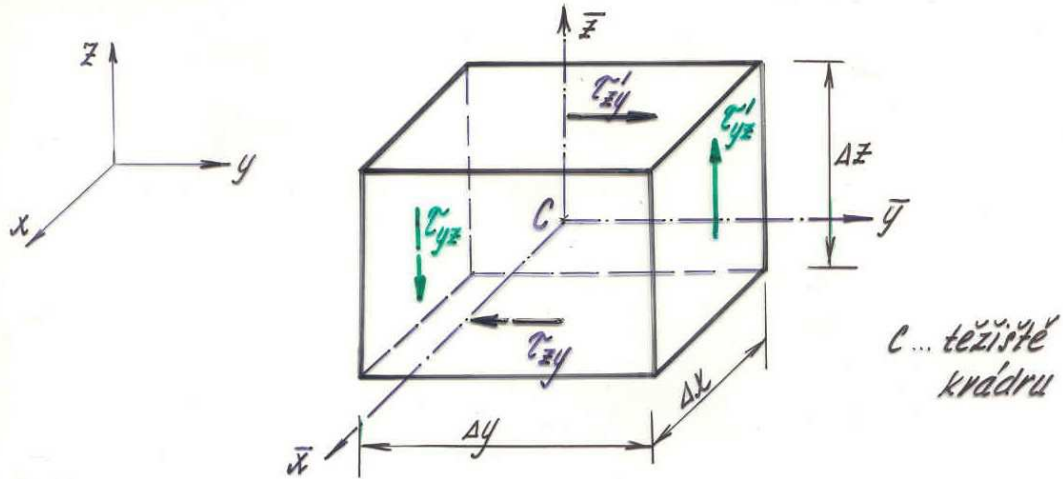
→ z:

$$\frac{\partial \tilde{T}_{xz}}{\partial x} + \frac{\partial \tilde{T}_{yz}}{\partial y} + \frac{\partial \tilde{G}_z}{\partial z} + Z = 0$$

Cauchyho statické'  
rovnice

X, Y, Z... objemové síly

b) momentové - kolem os  $\bar{x}, \bar{y}, \bar{z}$



$$\text{f}_x: -\tilde{\sigma}_{zy}' \Delta x \Delta y \cdot \frac{\Delta z}{2} - \tilde{\sigma}_{zy} \Delta x \Delta y \frac{\Delta z}{2} + \tilde{\sigma}_{yz}' \Delta x \Delta z \frac{\Delta y}{2} + \tilde{\sigma}_{yz} \Delta x \Delta z \frac{\Delta y}{2} = 0$$

$/: \Delta x \Delta y \Delta z$

$\nabla$  limítě  $\Delta x \rightarrow \Delta y \rightarrow \Delta z \rightarrow 0$

$$\tilde{\sigma}_{zy}' \rightarrow \tilde{\sigma}_{zy}, \quad \tilde{\sigma}_{yz}' \rightarrow \tilde{\sigma}_{yz}$$

$$-\tilde{\sigma}_{zy} + \tilde{\sigma}_{yz} = 0 \Rightarrow \checkmark$$

$\rightarrow \bar{y}$

$\uparrow \bar{z}$

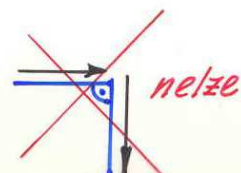
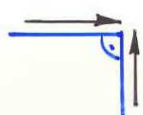
$$\tilde{\sigma}_{yz} = \tilde{\sigma}_{zy}$$

$$\tilde{\sigma}_{zx} = \tilde{\sigma}_{xz}$$

$$\tilde{\sigma}_{xy} = \tilde{\sigma}_{yx}$$

Věta o vzájemnosti  
smykových  
napětí'

I Smyková napětí na dvou vzájemně kolmých ploškách jsou stejně velká a obě směřují buď k průsečnici obou plošek nebo od ní.

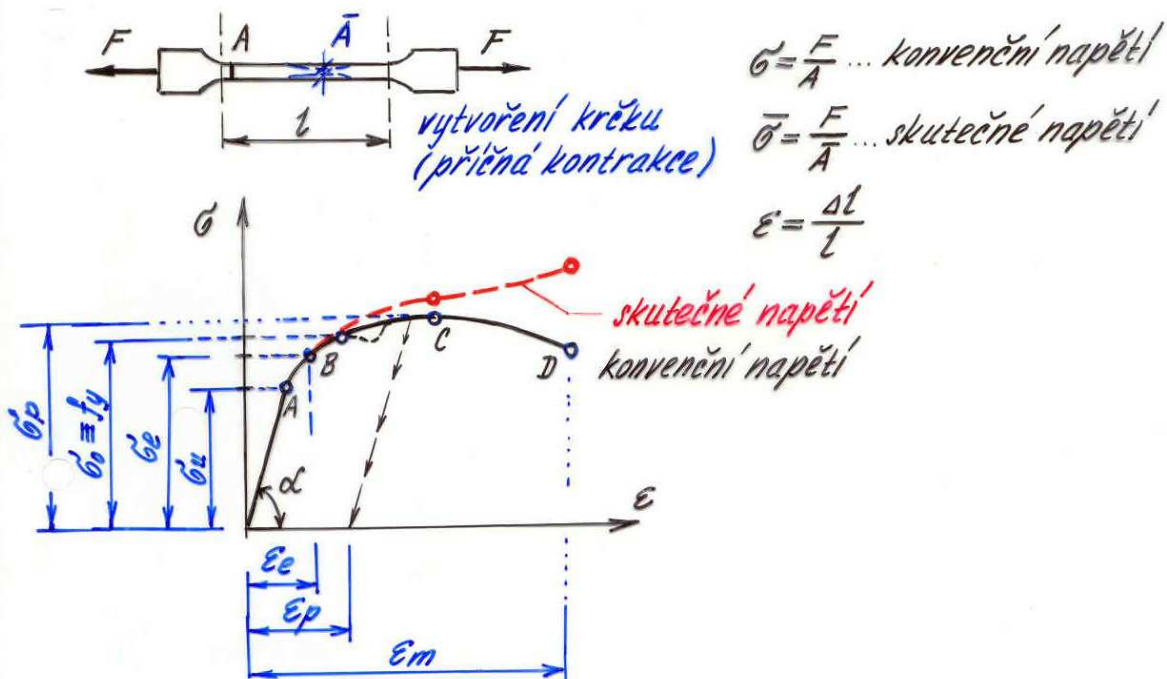


## FYZIKÁLNÍ ROVNICE

- vyjadřují vztah mezi složkami napětí a složkami deformace  
(jako v jediných - materiálové konstanty (zjištěny experimentálně tahovou zkouškou))

### 1. jednoosá napjatost

tahová zkouška  $\Rightarrow$  pracovní diagram  $\sigma \times \epsilon$ , který charakterizuje vlastnosti materiálu



$\sigma_u$  - mez úměrnosti (ohraničuje platnost Hookeova zákona)

$\sigma_e$  - mez pružnosti/elasticity)

$\sigma_o \equiv f_y$  - mez kluzu (plasticity, tečení)

$\sigma_p$  - mez pernosti

$E_e$  - max. elastická deformace

$E_p$  - plastická deformace

$E_m$  - mezní deformace při přetržení

Hookeův zákon :  $\sigma = E \cdot \epsilon$

- platí pouze v pružné oblasti až do meze úměrnosti  $\Rightarrow \sigma \leq \sigma_u$

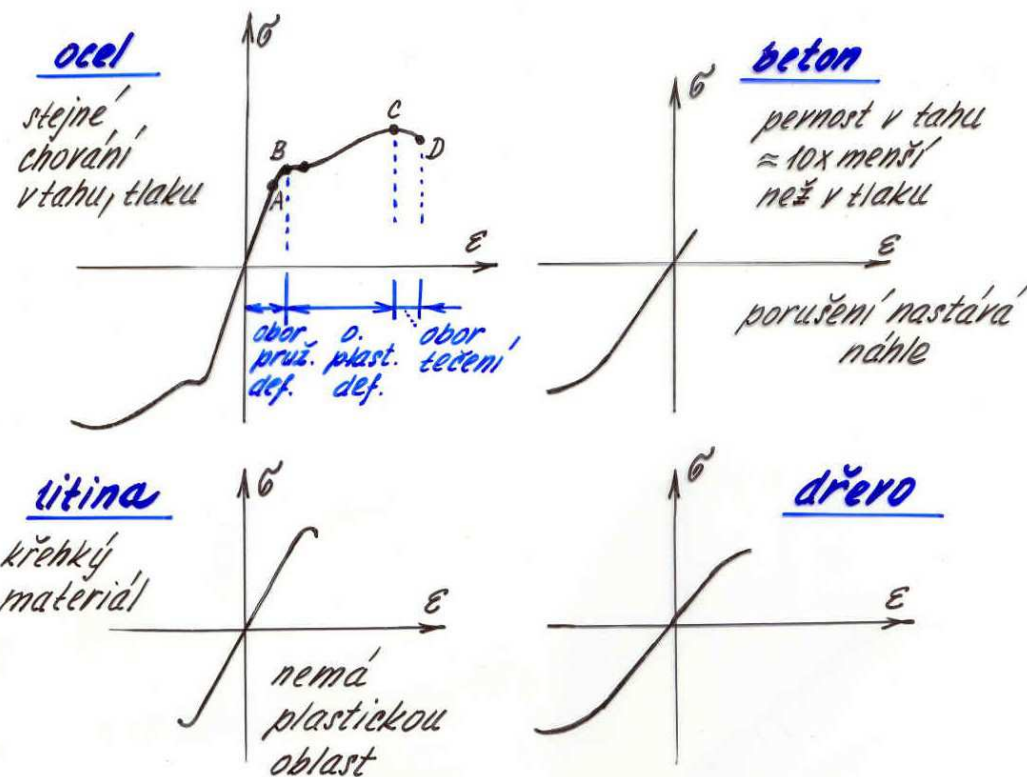
$E = tga\gamma$  [Pa] .... Youngův modul pružnosti  
(modul pružnosti v tažu a tlaku)

materiálová konstanta : ocel  $\approx 2,1 \cdot 10^5$  MPa

beton  $\approx 2,1 \cdot 10^4$  MPa

dřevo  $\approx 1 \cdot 10^4$  MPa

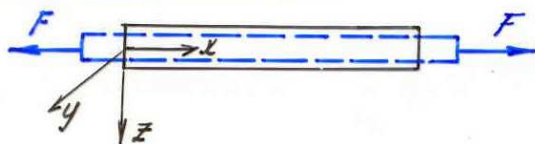
Příklady pracovních diagramů ( $\sigma > 0$  ... taž,  $\sigma < 0$  ... tlak)



## 2. Trojosa' napjatost

Rozšířený Hookeův zákon (platí v lineárně pružné oblasti)

### Přičná kontrakee



při tahové zkoušce  $\rightarrow$  tahové napětí  $\sigma_x \Rightarrow$  relat. protaž.  $\epsilon_x$   
 $x$  v přičných směrech  $y, z \Rightarrow$  relat. zúžení  $\epsilon_y, \epsilon_z$

$$\epsilon_y = \epsilon_z = -\nu \epsilon_x \quad \epsilon_x = \frac{\sigma_x}{E}$$

### $\nu$ ... I-J Poissonovo číslo (součinitel přičné kontrakce)

$$\nu = -\frac{\epsilon_y}{\epsilon_x} = -\frac{\epsilon_z}{\epsilon_x} \quad 0 \leq \nu < \frac{1}{2}$$

materiálová konstanta: ocel  $\approx 0,3$   
 $\text{beton} \approx 0,15$

( $m = \frac{1}{\nu}$  ... Poissonova konstanta I-J)

### Při působení jednotlivých složek normál. napětí

$$\underline{\sigma_x} \rightarrow \underline{\epsilon_x} = \frac{\sigma_x}{E}, \quad \underline{\epsilon_y} = -\nu \frac{\sigma_x}{E}, \quad \underline{\epsilon_z} = -\nu \frac{\sigma_x}{E}$$

$$\underline{\sigma_y} \rightarrow \underline{\epsilon_x} = -\nu \frac{\sigma_y}{E}, \quad \underline{\epsilon_y} = \frac{\sigma_y}{E}, \quad \underline{\epsilon_z} = -\nu \frac{\sigma_y}{E}$$

$$\underline{\sigma_z} \rightarrow \underline{\epsilon_x} = -\nu \frac{\sigma_z}{E}, \quad \underline{\epsilon_y} = -\nu \frac{\sigma_z}{E}, \quad \underline{\epsilon_z} = \frac{\sigma_z}{E}$$

*relat. zúžení* *relat. protažení*

## Vliv změny teploty na relativní protažení

$$\varepsilon_x^t = \varepsilon_y^t = \varepsilon_z^t = \alpha t$$

$\alpha [K^{-1}] \dots$  součinitel teplotní roztažnosti

$t [K] \dots$  změna teploty

(ocel, beton:  $\alpha = 12 \cdot 10^{-6} K^{-1}$ )

## Deformace při obecné napjatosti

$$\varepsilon_x = \frac{1}{E} [\sigma_x - \nu(\sigma_y + \sigma_z)] + \alpha t$$

$$\varepsilon_y = \frac{1}{E} [\sigma_y - \nu(\sigma_x + \sigma_z)] + \alpha t$$

$$\varepsilon_z = \frac{1}{E} [\sigma_z - \nu(\sigma_x + \sigma_y)] + \alpha t$$

$$\mu_{xy} = \frac{\tau_{xy}}{G}$$

$$\mu_{yz} = \frac{\tau_{yz}}{G}$$

$$\mu_{zx} = \frac{\tau_{zx}}{G}$$

rozšířený  
Hookeův zákon

fyzikální  
rovnice (6)

## Gr [Pa] ... modul pružnosti ve smyku

$$G = \frac{E}{2(1+\nu)}$$

ve fyz. rovnicích 3 materiálové konstanty:  $E, G, \nu$ ,  
ale pouze 2 konstanty nezávislé.

# ANALÝZA PRUTŮ

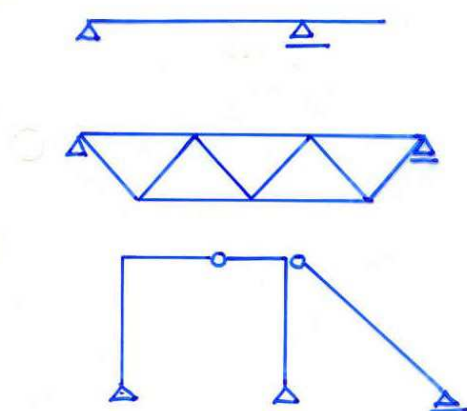
prut - těleso s jedním výrazně převládajícím rozměrem - délkou; nejjednodušší kční prvek  
*(z geometrického hlediska, i dle způsobu výpočtu)*



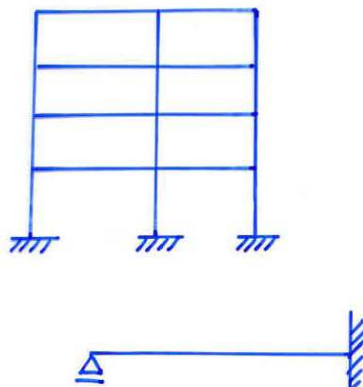
prizmatický prut - průřez se po délce nemění

## Prutorová konstrukce

staticky určitá



staticky neurčitá



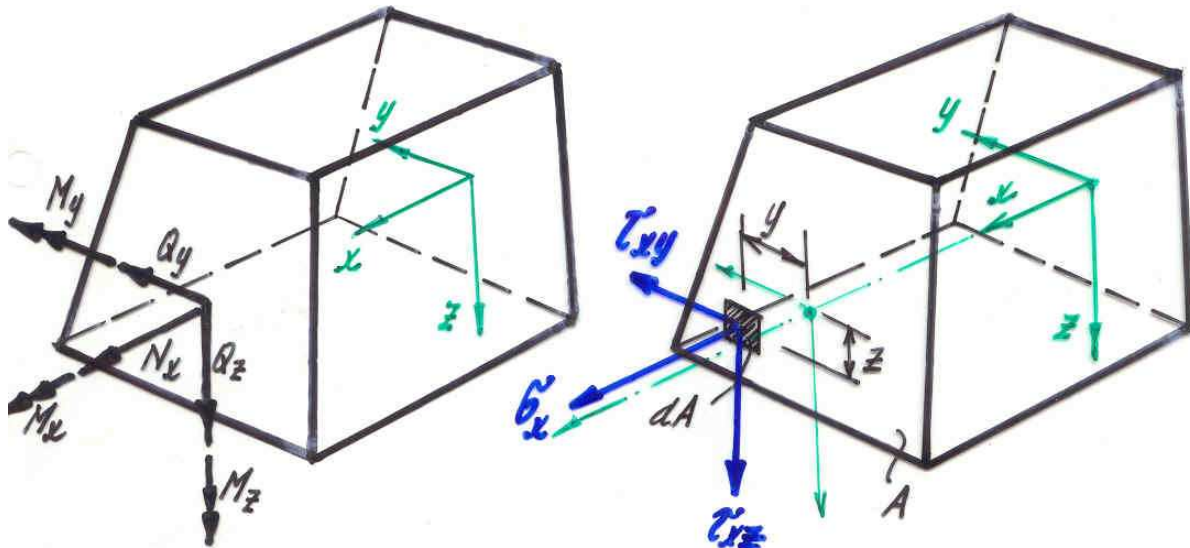
## Schéma výpočtu:

- 1) Stanovení hodnot různých sil v průřezech (stat. mech.)
- 2) Výpočet rozdělení složek napětí po průřezu (pružnost a pernost)

Zvláštnost: transformace stat. a fyz. r. k průřezu  
redukce  $D_3 \rightarrow D_1$

*„nitřní“ (průřezové) síly vznikají v důsledku zatížení konstrukce. Jsou výslednicemi složek napětí  $\sigma_x$ ,  $\tau_{xy}$ ,  $\tau_{xz}$  působících v obecném bodě průřezu.*

### Integralní definice nitřních sil:



Z podmíny ekvivalence:

$$N_x = \iint_A \sigma_x dA$$

$$Q_y = \iint_A \tau_{xy} dA$$

$$Q_z = \iint_A \tau_{xz} dA$$

$$M_x = \iint_A (\tau_{xz} \cdot y - \tau_{xy} \cdot z) dA$$

$$M_y = \iint_A \sigma_x \cdot z dA$$

$$-M_z = \iint_A \sigma_x \cdot y dA$$

## OHYB PRUTŮ

nejčastější způsob namáhání průřezu je kombinací  
 $M_y, M_z, N_x$  (tyto vnitřní síly jsou výslednicemi  $\sigma_x$ )

$$(M_x = 0, Q_y = 0, Q_z = 0)$$

prostý ohyb (při  $N_x = 0$ )

$$(M_x = 0, Q_y \neq 0, Q_z \neq 0)$$

smyk za ohybu

### Předpoklady výpočtu:

podešvová deformace  $\epsilon_x$  je řádově daleko větší, než ostatní složky deformace  $\Rightarrow$  lze je zanedbat

a)  $\epsilon_y = \epsilon_z = \gamma_{yz} = 0$  (tvář průřezu se nemění)

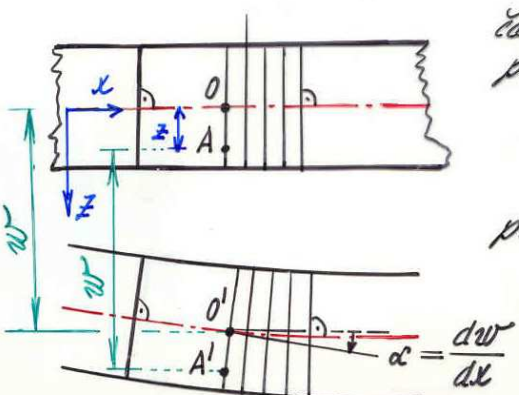
b)  $\gamma_{xz} = \gamma_{xy} = 0$  (pravé a levé „podešvové“ rovinách  $xz, xy$  zůstávají zachovány)

$\Rightarrow \boxed{\epsilon_x \neq 0}$  jediná nenulová složka deformace

Důsledek předp. a):  $\sigma = \sigma(x), w = w(x)$

předp. b): Bernoulli – Navierova hypotéza

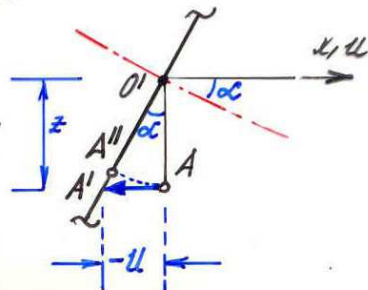
Průřezy rovinné a kolmé k ose prutu před deformací zůstávají rovinné a kolmé k ose prutu i po deformaci.



část prutu  
před deformací

po deformaci

účinek  $M_y$



$$-u = z \cdot \operatorname{tg} \alpha \approx z \cdot \alpha = z \cdot \frac{dw}{dx} = zw'$$

Uplné přemísťení průřezu je superpozicí  
translace (učinek  $u_0 \dots u_0(x)$ )  
rotace (učinek  $M_z \dots -v''(x) \cdot y$   
 $M_y \dots -w''(x) \cdot z$ )

$$\Rightarrow u(x, y, z) = u_0(x) + [-v''(x)]y + [-w''(x)]z$$

### Normalové napětí $\sigma_x$

z fyzikálních rovnic (Hookeova zákona):

$$\tilde{\sigma}_x = E \cdot \tilde{e}_x = E \frac{\partial u}{\partial x} = E \left[ u'_0 + (-v'') \cdot y + (-w'') \cdot z \right]$$

parametry deformace, určíme je  
z definičních vzorek vnitř. sil:

$$N_x = \iint_A \tilde{\sigma}_x dA = E \left[ u'_0 \iint_A dA + (-v'') \iint_A y dA + (-w'') \iint_A z dA \right]$$

$$-M_z = \iint_A y \tilde{\sigma}_x dA = E \left[ u'_0 \iint_A y dA + (-v'') \iint_A y^2 dA + (-w'') \iint_A yz dA \right]$$

$$M_y = \iint_A z \tilde{\sigma}_x dA = E \left[ u'_0 \iint_A z dA + (-v'') \iint_A yz dA + (-w'') \iint_A z^2 dA \right]$$

$$dA = dy \cdot dz$$

V maticovém tvaru (transformace fyz. vztahů k průřezu)

$$\begin{Bmatrix} N_x \\ -M_z \\ M_y \end{Bmatrix} = E \begin{bmatrix} A & S_z & S_y \\ S_z & I_z & D_{yz} \\ S_y & D_{yz} & I_y \end{bmatrix} \begin{Bmatrix} u'_o \\ (-v'') \\ (-w'') \end{Bmatrix}$$

vnitřní sily      matice tuhosti průřezu      parametry deformace

řešení parametrů def. lze zjednodušit vhodnou volbou soustavy souřadnic  $y, z$ :

a) osy  $y, z$  težištěm (centrální) - jinak orient. libovolně  
 $S_y = S_z = 0$

Rovnice pro výpočet přetvoření prutu:

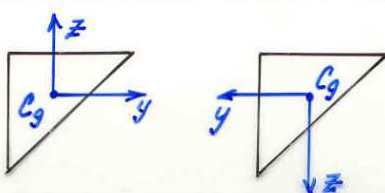
$$u'_o = \frac{N_x}{EA},$$

$$-v'' = -\frac{M_z I_y + M_y D_{yz}}{EI} \quad I = I_y I_z - D_{yz}^2$$

$$-w'' = \frac{M_y I_z + M_z D_{yz}}{EI}$$

Napětí

$$\sigma_x = \frac{N_x}{A} - \frac{M_z I_y + M_y D_{yz}}{I} y + \frac{M_y I_z + M_z D_{yz}}{I} z$$



$$S_y = S_z = 0, D_{yz} \neq 0$$

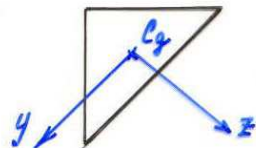
b) osy  $y, z$  hlavní centrální osy sevračnosti  
 $\sigma_{yz} = 0$

Přetvoření:

$$u' = \frac{N_x}{EA}, \quad v'' = \frac{M_z}{EI_z}, \quad w'' = -\frac{M_y}{EI_y}$$

Napětí:

$$\sigma_x = \frac{N_x}{A} - \frac{M_z}{I_z} \cdot y + \frac{M_y}{I_y} \cdot z$$



$N_x, M_y, M_z \dots$  vnitřní síly v daném průřezu konstantní  
 $\Rightarrow$  průběh napětí - rovina

Průsečnice roviny průřezu s rovinou napětí je přímka = neutralní osa  
 $\sigma_x = 0$

### Zvláštní případy namáhání

Prostý tah, tlak:  $N_x \neq 0$  ( $M_y = M_z = 0$ )

vše  
vataženo  
k hl.  
centr.  
osám

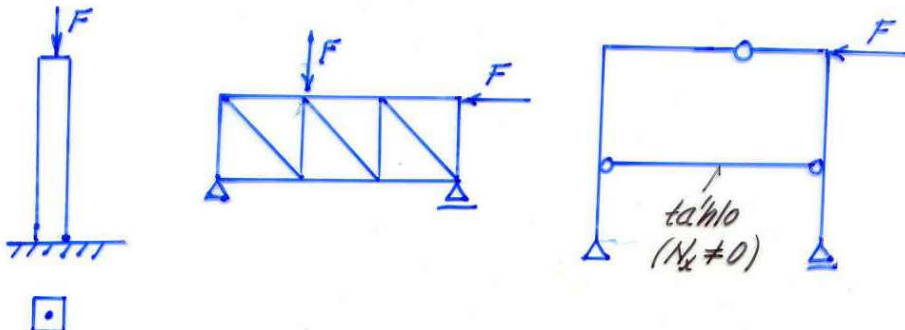
Jednoduchý ohyb:  $M_y \neq 0$  ( $M_z = N_x = 0$ )  
 nebo:  $M_z \neq 0$  ( $M_y = N_x = 0$ )

Síklmíj ohyb:  $M_y \neq 0, M_z \neq 0$  ( $N_x = 0$ )

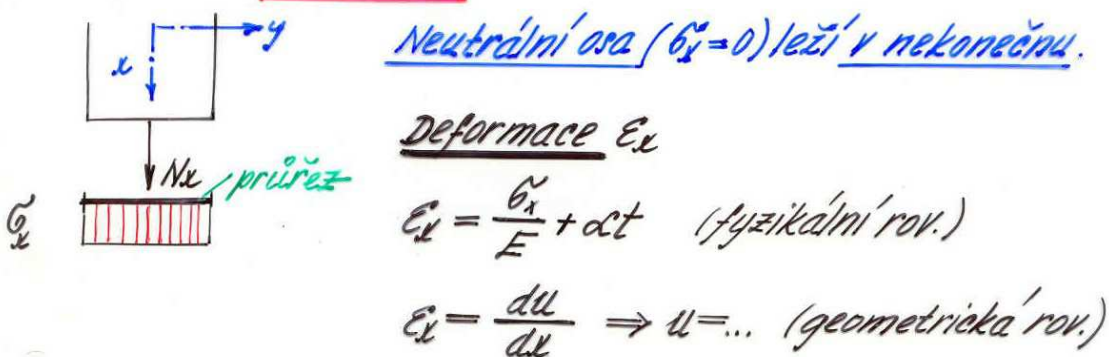
Kombinace tahu (tlaku) s ohybem:  $N_x \neq 0, M_y \neq 0, M_z \neq 0$   
 nebo:  $N_x \neq 0, M_y \neq 0, M_z = 0$   
 $N_x \neq 0, M_y = 0, M_z \neq 0$

## 1. Prostý tah, tlak

Jedinou vnitřní silou v průřezu prutu je  $N_x$



Napětí:  $\sigma_x = \frac{N_x}{A}$  ... po průřezu rozloženo rovnoměrně



Zvláštní případ:  $N_x(x), A, E, t \dots$  konstantní

$$\Delta l = u(l) - u(0) = \int_0^l \epsilon_x dx = \int_0^l \left( \frac{N_x}{EA} + \alpha t \right) dx$$

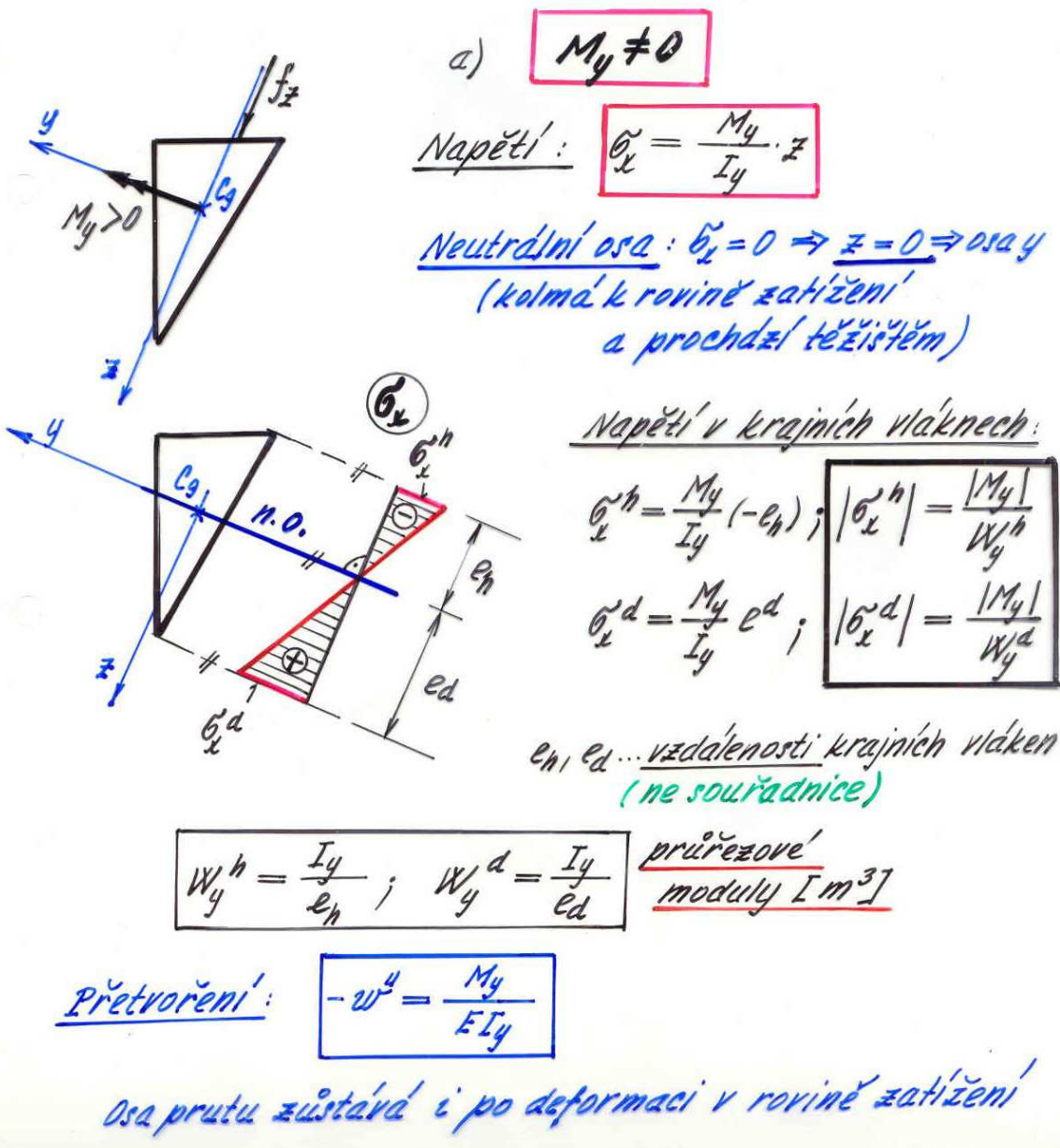
$$\boxed{\Delta l = \frac{N_x \cdot l}{EA} + \alpha t \cdot l}$$

$\frac{l}{EA}$  ... poddajnost prutu v tahu (tlaku)

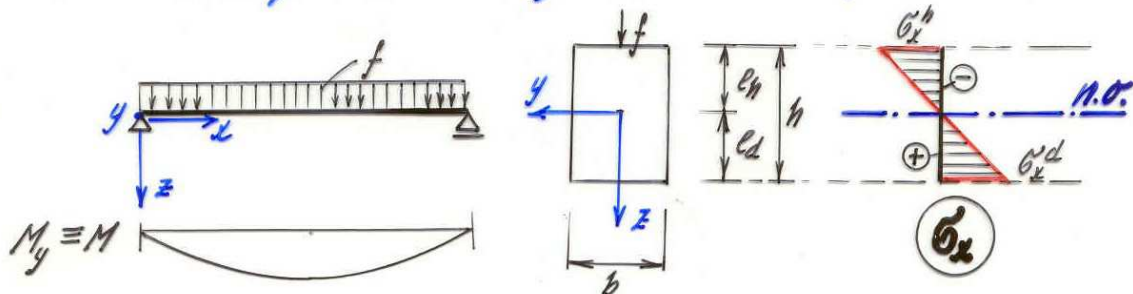
$\frac{EA}{l}$  ... tuhost prutu v tahu (tlaku)

## 2. Jednoduchý ohyb

- rovina zatížení obsahuje jednu z hlavních centrálních os setrvačnosti průřezu (např. z) a k druhé je kolma  
 $\Rightarrow M_y \neq 0, M_z = 0, N_x = 0$  nebo:  $M_y = 0, M_z \neq 0, N_x = 0$



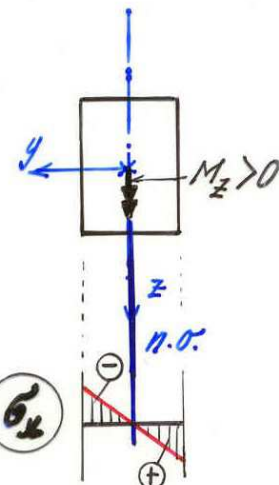
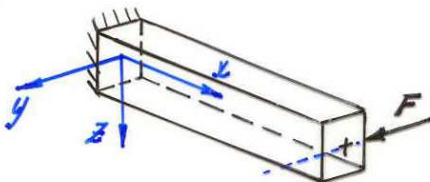
Práce: Určete průřez. moduly obdélníkového průřezu.



$$\underline{W_y^h = W_y^d = W_y} = \frac{I_y}{e_y} = \frac{\frac{1}{12}bh^3}{\frac{h}{2}} = \frac{1}{6}bh^2 \quad (\text{průřez sym. i podle osy } y) \\ \Rightarrow |\tilde{\sigma}_x^h| = |\tilde{\sigma}_x^d| \\ e_n = e_d = \frac{h}{2})$$

Analogicky:  $W_z = \frac{1}{6}hb^2$  (pro  $M_z \neq 0$ )

b)  $M_z \neq 0$



Napětí:

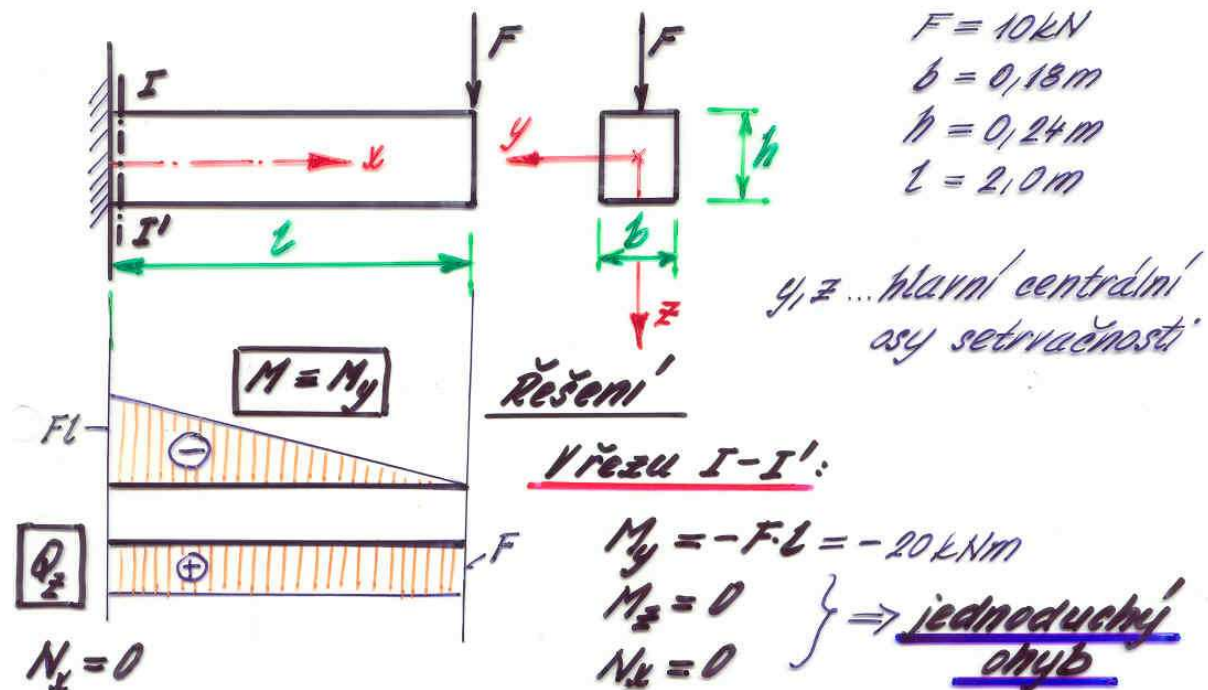
$$\tilde{\sigma}_x = -\frac{M_z}{I_z} \cdot y$$

Přetvorění:

$$y'' = -\frac{M_z}{EI_z}$$

diferenciální rovnice  
ohybové čáry

**Pr.** Hypočtěte a vykreslete průběh napětí  $\sigma_x$  v řezu I-I'!



Napětí' (v hlavních centráln. osách)

$$\sigma_x = \frac{M_y}{I_y} \cdot z = \frac{-F \cdot l}{\frac{1}{12} b h^3} \cdot z = \frac{-20 \cdot 10^{-3}}{\frac{1}{12} \cdot 0,18 \cdot 0,24^3} \cdot z \quad \left[ \frac{\text{MNm}}{\text{m}^4} \cdot \text{m} = \text{MPa} \right]$$

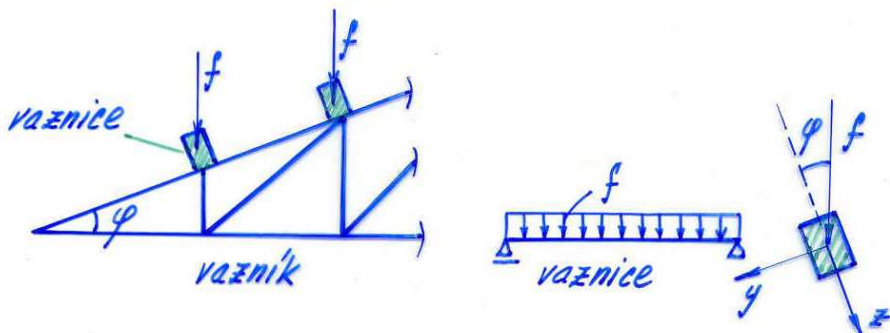
v krajních vrátknech: horních:  $z = -\frac{h}{2} \Rightarrow \sigma_x^h = 11,57 \text{ MPa}$   
dolních:  $z = +\frac{h}{2} \Rightarrow \sigma_x^d = -11,57 \text{ MPa}$



### 3. Šikmý ohyb

Rovina zatížení neobsahuje žádnou z hlavních centrál. os setrvačnosti.

$$M_y \neq 0, M_z \neq 0, N_x = 0 \text{ (vztaženo k H.c. osám)}$$



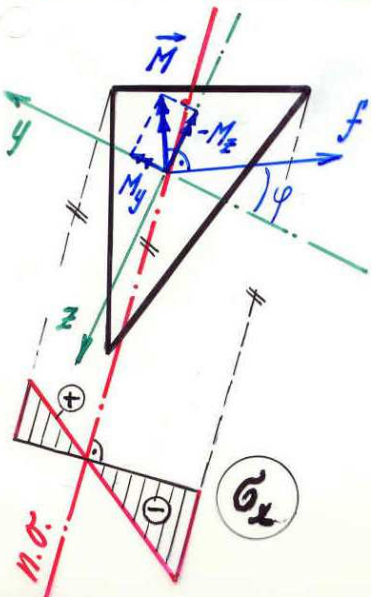
Napětí:

a) v težiště vývýhách osách ( $S_y = S_z = 0; D_{yz} \neq 0$ )

$$\tilde{\sigma}_x = -\frac{M_z I_y + M_y D_{yz}}{I} y + \frac{M_y I_z + M_z D_{yz}}{I} z$$

$$I = I_y I_z - D_{yz}^2$$

b) v hlavních centrálních osách ( $D_{yz}=0$ )



$$\tilde{\sigma}_x = -\frac{M_z}{I_z} \cdot y + \frac{M_y}{I_y} \cdot z$$

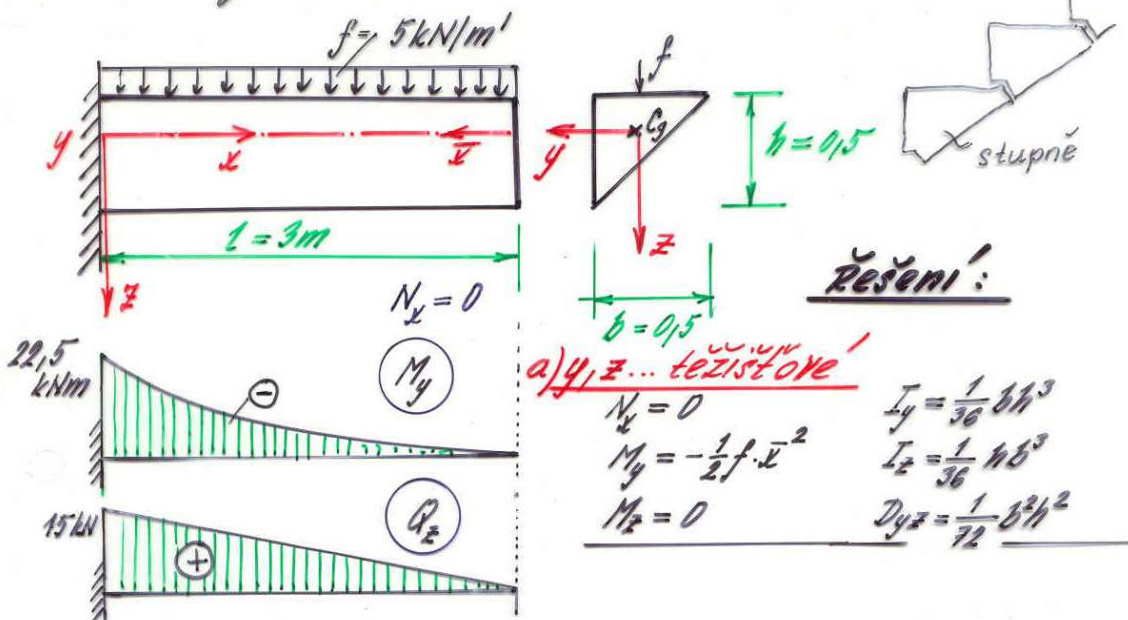
Neutralní osa:  $\tilde{\sigma}_x = 0$

- prochází težištěm průřezu ( $y=z=0$ )  
(není  $\equiv$  s žádnou hl. centr. osou)
- není kolmá k rovině zatížení
- paprsek zatížení a neutral. osa tvoří sdružené směry v hlavní centrál. elipse setrvačnosti

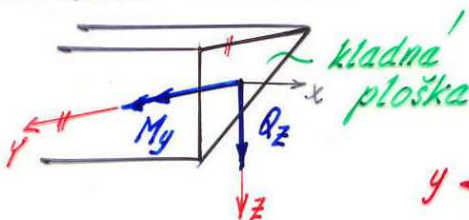
Pr.

Uřeťte polohu n.o. a průběh napětí  $\sigma_x$   
v nejvíce namáhaném řezu:

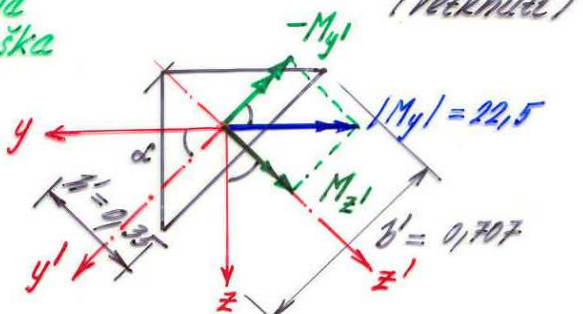
III-8



znaménková konvence:



naše skutečnost:



b)  $y', z'$  střed. cent. osy:

$$\sigma_x = \frac{M_y'}{I_y'} \cdot z' + \frac{(-M_z')}{I_z'} \cdot y'$$

$$\sigma_x = \frac{-15,91}{9,17 \cdot 10^{-4}} \cdot z' + \frac{(-15,91)}{2,58 \cdot 10^{-3}} \cdot y'$$

$$-M_y' = 22.5 \cdot \cos \alpha = +15,91 \text{ kNm}$$

$$M_z' = 22.5 \cdot \sin \alpha = +15,91 \text{ kNm}$$

$$I_y' = \frac{1}{36} b'^3 h'^3 = \frac{1}{36} \cdot 0,707 \cdot 0,35^3 = 9,17 \cdot 10^{-4} \text{ m}^4$$

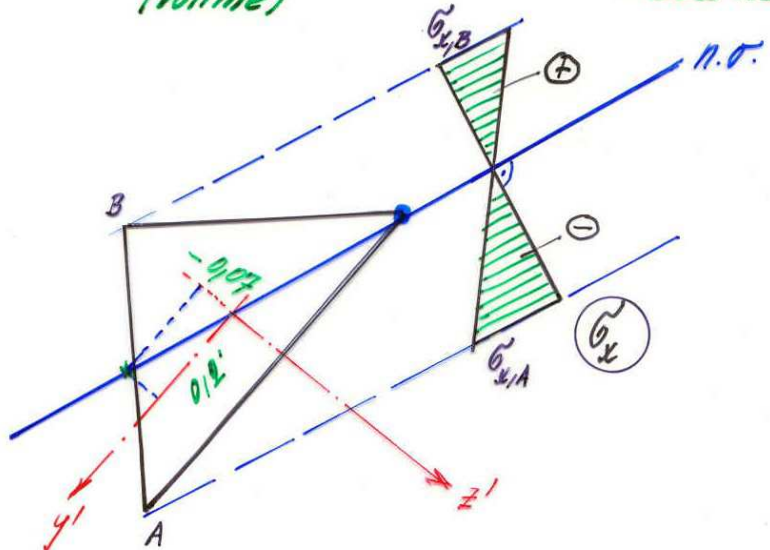
$$I_z' = \frac{1}{48} h'^3 b'^3 = 2,58 \cdot 10^{-3}$$

$$D_{y'z'} = 0$$

neutralní osa  $\sigma_x = 0$

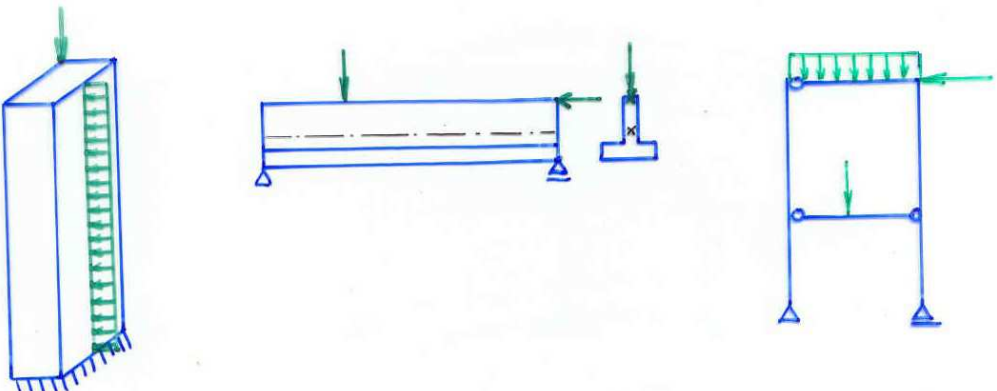
$$-17,3 \cdot 10^3 z' - 6,167 \cdot 10^3 y' = 0$$

pro  $y' = 0,2$  (volime) vychází  $z' = -0,07\text{m}$   
 $\equiv$  bod na n.o.



## 4. Ohyb s tahem (tlakem)

$$N_x \neq 0, M_y \neq 0, M_z \neq 0$$



### Napětí' (v hl. centrálních osách)

$$\tilde{\sigma}_x = \frac{N_x}{A} + \frac{M_y}{I_y} \cdot z + \frac{(-M_z)}{I_z} \cdot y$$

### Přetvorění' (v hl. centr. osách)

$$u'_0 = \frac{N_x}{EA}, \quad v'' = -\frac{M_z}{EI_z}, \quad w'' = -\frac{M_y}{EI_y}$$

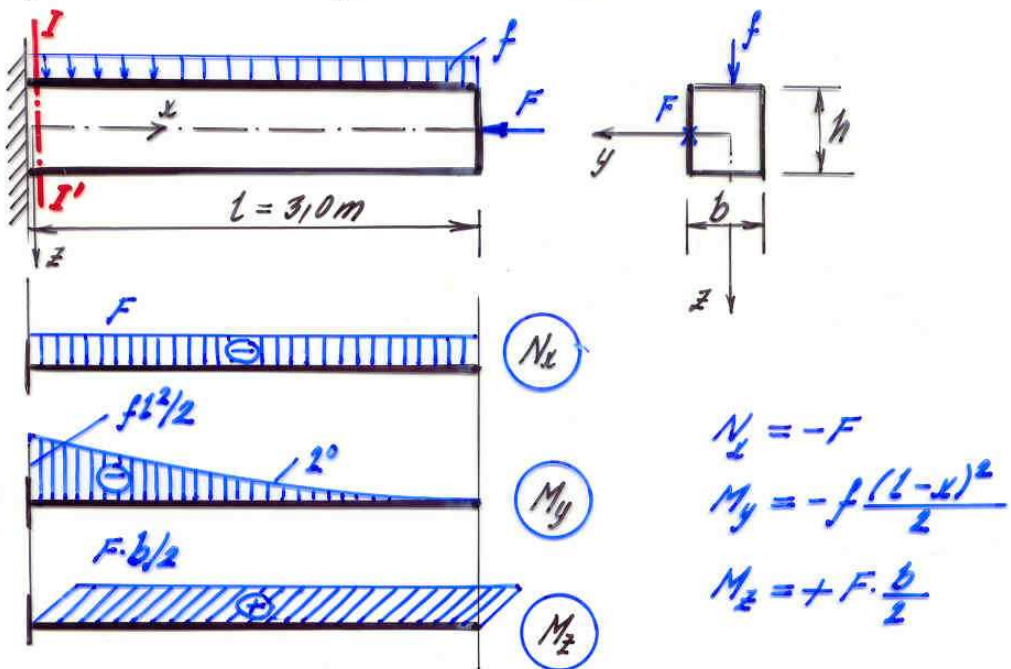
### Neutrální osa $\tilde{\sigma}_x = 0$

neprochází těžištěm průřezu, má „obecný“ směr  
Konstruujeme ji obyčejně pomocí průsečíku s osami  $y, z$   
 $y=0 \Rightarrow z_N = \dots$  růsekový trac  
 $z=0 \Rightarrow y_N = \dots$  přímky)

---

V těžisových osách - vzorce pro napětí i přetvorění  
viz předchozí přednáška

Pr. Stanovte průběh napětí  $\sigma_x$  v nejvíce namáhaném průřezu konzoly! ( $F = 30 \text{ kN}$ ,  $f = 5 \text{ kN/m}$ ,  $b = 0,3 \text{ m}$ ;  $h = 0,4 \text{ m}$ )



$\Rightarrow$  Nejvíce namáhaný průřez v řezu I-I' ( $x=0$ ).

$$N_x = -30 \text{ kN}$$

$$M_y = -5 \cdot \frac{3^2}{2} = -22,5 \text{ kNm}$$

$$M_z = +30 \cdot 0,15 = 4,5 \text{ kNm}$$

$$A = 0,3 \cdot 0,4 = 0,12 \text{ m}^2$$

$$I_y = \frac{1}{12} 0,3 \cdot 0,4^3 = 1,6 \cdot 10^{-3} \text{ m}^4$$

$$I_z = \frac{1}{12} 0,4 \cdot 0,3^3 = 0,9 \cdot 10^{-3} \text{ m}^4$$

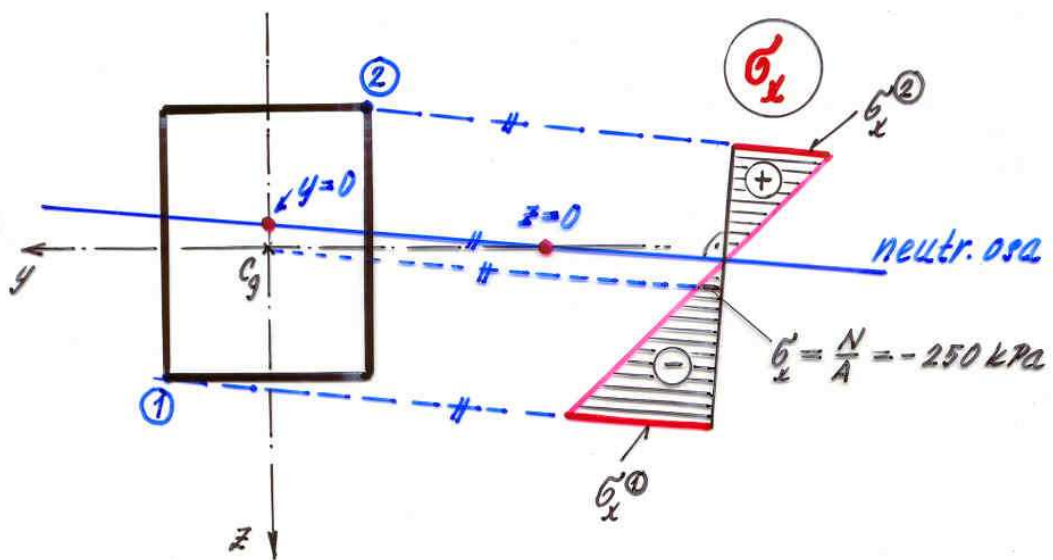
Napětí:  $\underline{\sigma_x} = -\frac{30}{0,12} + \frac{(-22,5)}{1,6 \cdot 10^{-3}} z + \frac{(-4,5)}{0,9 \cdot 10^{-3}} y$

$$= -250 - 14062,5 z - 500 y$$

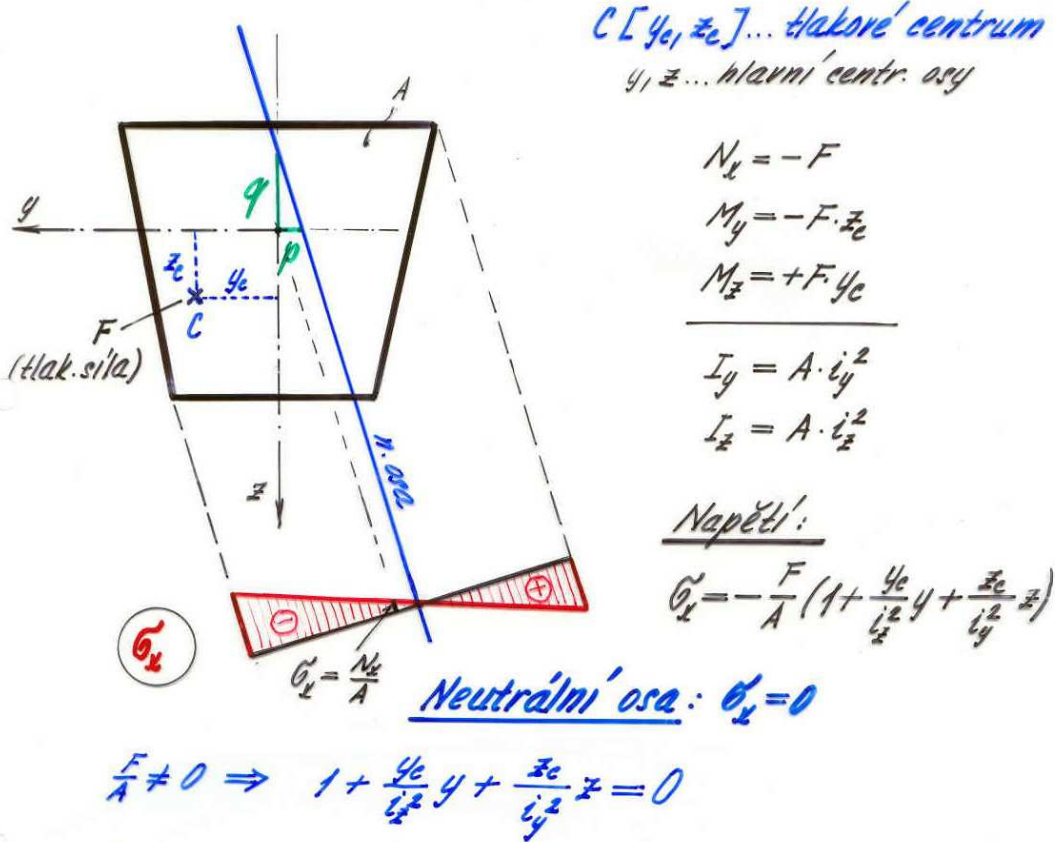
Neutralní osa:  $\tilde{\sigma}_z = 0$

Přísečník s osou y:  $z=0 \Rightarrow y=-0,5m$

Přísečník s osou z:  $y=0 \Rightarrow z=-0,0178m$



Zvláštním případem je excentrický tlak způsobený jedinou excentrickou tlakovou silou F



Useky, které n.o. vytína na hl. osách y, z :

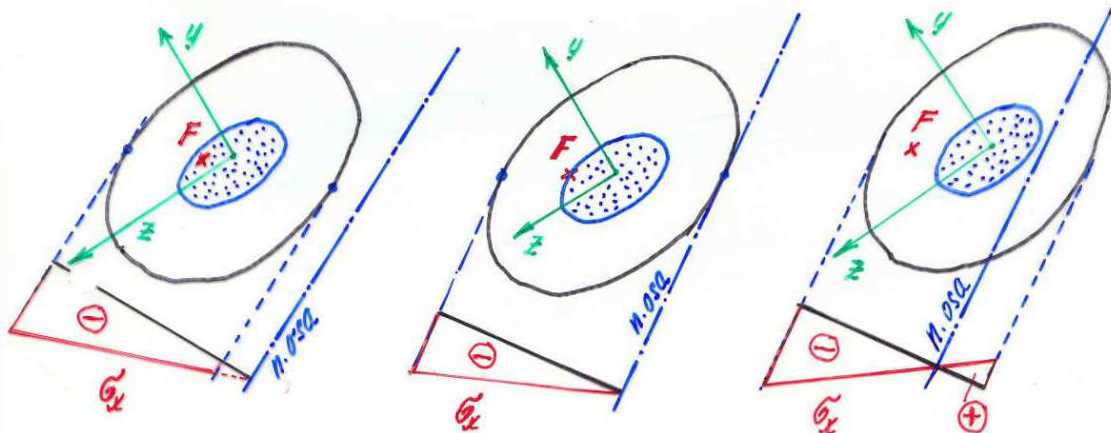
$$\begin{aligned} z=0 \dots \quad y=p &= -\frac{i_x^2}{y_e} \\ y=0 \dots \quad z=q &= -\frac{i_y^2}{z_e} \end{aligned}$$

$\Rightarrow$  N.o. leží na opačné straně od těžiště nežli je tlakové centrum.

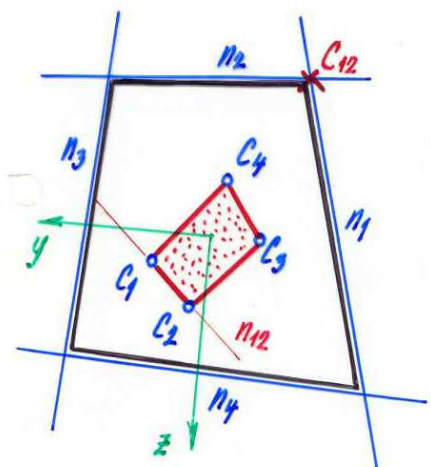
Vzorce se využívají při konstrukci tzn. jádro průřezu

## Jádro průřezu

= obrazec vymezující část průřezu, ve kterém musí ležet tlakové centrum, aby byl celý průřez namáán pouze tlakovým napětím. Obsahuje rázy těžiště průřezu.



$y, z \dots$  Marní centr. osy



### Konstrukce obrysu jádra průřezu

a) Neutr. osy se kladou postupně jako obálky průřezu (určí se úseky p, q). Vrcholy jádr. obrazce určíme jako odpovídající tlak. centra.

Z duality (bodu odpovídá přímka, přímce → bod)

b) strany jádra (tečny) lze sestrojit jako neutr. osy ( $n_{12}, \dots$ ) k tlak. centru ležícím na obrysu průřezu ( $C_{12}, \dots$ )

Při konstrukci jádra využíváme vzorce:

$$y_c = -\frac{i_z^2}{p}, \quad z_c = -\frac{i_y^2}{q}$$

nebo

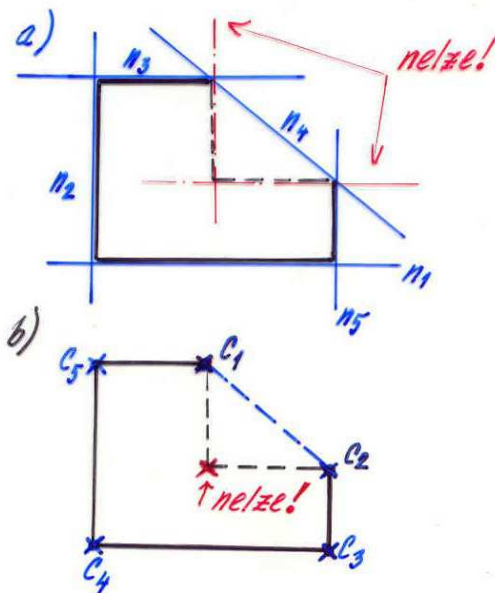
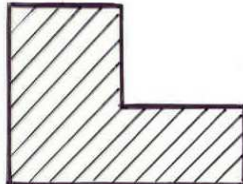
$$1 + \frac{y_c \cdot y}{i_z^2} + \frac{z_c \cdot z}{i_y^2} = 0$$

a)  $[y_c, z_c]$  ... souřadnice bodů na obrysující jádro  
 $[y, z]$  .... souřadnice bodů ležících na obrys.  
přímkách průřezu ( $n_1, n_2, \dots$ )

b) formálně zámenou významu proměnných

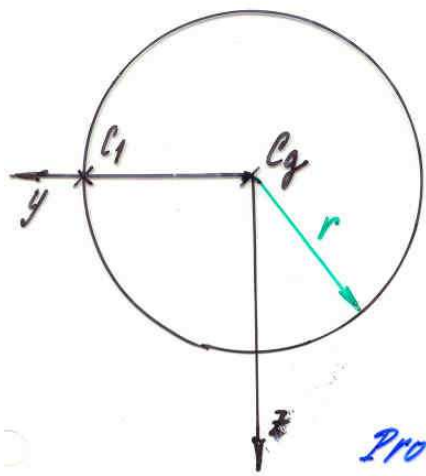
$$y_c \leftrightarrow \underline{y}, \quad z_c \leftrightarrow \underline{z}$$

Obalka průřezu musí tvorit konvexní útvar!



Použití jádra - konstrukční části z materiálu špatně  
vzdorujících tahu (např. beton) se  
snažíme zatežovat excentr. osou silou  
působící v jádře průřezu!

Ní: určete jádro průřezu!



Rешение - pomocí duality (b)

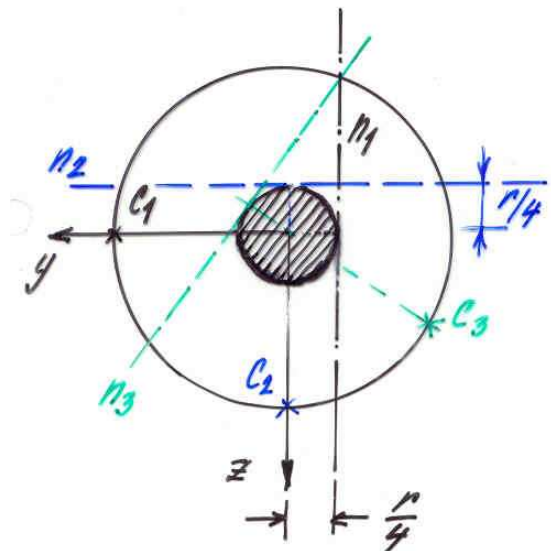
Neutralní osy k tlakovým centrám vytvoří obalku jádra průřezu:

$$1 + \frac{y_e \cdot y}{i_z^2} + \frac{z_e \cdot z}{i_y^2} = 0$$

Pro tlak. centrum  $C_1$ :  $y_e = r, z_e = 0$

$$\textcircled{2}: i_z^2 = i_y^2 = \frac{I_y}{A} = \frac{\pi r^4}{4} = \frac{\pi r^2}{4}$$

n. o.:  $1 + \frac{r \cdot y}{\frac{r^2}{4}} = 0 \Rightarrow \underline{\underline{y = -\frac{r}{4}}}$



## Přetvoření ohýbaných prutů

Rovnice pro parametry deformace  $u'$ ,  $v''$ ,  $w''$  byly odvozeny

- v libovolném težistkovém systému souřadnic
- v hlavních centrálních osách  $y, z$ .

Složky přemístění bodů ležících na středníci prutu  $u', v', w$  získáme integrací těchto diferenciálních rovnic.

V hl. centr. osách (viz př. Ohyb prutů)

$$\frac{du'(x)}{dx} = \frac{N(x)}{EA(x)}$$

$$\frac{d^2v'(x)}{dx^2} = \frac{M_z(x)}{EI_z(x)}$$

$$\frac{d^2w(x)}{dx^2} = \frac{-M_y(x)}{EI_y(x)}$$

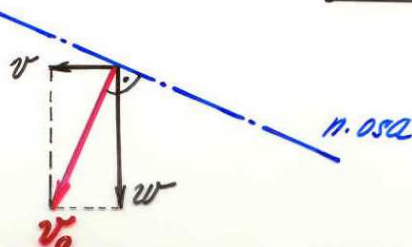
diferenciální rovnice  
ohybové čáry

Při obecném (prostorovém) zatíž. prutu  $\Rightarrow$  ohyb. čára je prostorová křivka

Při působení vnitřních sil v jedné rovině

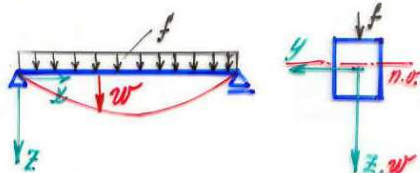
(např. jednoduchý ohyb, římkový ohyb, ...)

výsledné průhyby  $v_0 = \sqrt{v'^2 + w'^2}$  jsou kolmé k neutrální ose



Zvláštní případ: zatížení působí v rovině xz  
→ pouze průhyb  $w \neq 0$  ( $v=0$ )

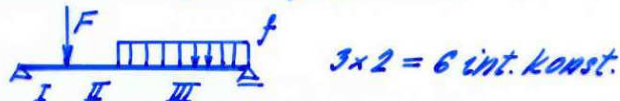
$$\Rightarrow w'' = \boxed{\frac{d^2w(x)}{dx^2} = -\frac{My(x)}{EI_y(x)}}$$



integraci:  $w' = \frac{dw(x)}{dx} = -\int \frac{My(x)}{EI_y(x)} dx + C_1$   
 v každém intervalu

$$w(x) = -\int \left[ \int \frac{My(x)}{EI_y(x)} dx \right] dx + C_1 x + C_2$$

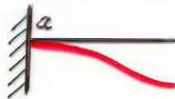
$C_1, C_2$  ... integracní konstanty  
 je-li n intervalů (např. nespojité zatíž.)  $\Rightarrow 2n$  int. konstant u kde stat. urč.



Podmínky pro řešení integracních konstant:

- okrajové podmínky (geometrické):

vetknutí



$$\begin{aligned} w_a &= 0 \\ w'_a &= \frac{dw}{dx}|_{x=a} = 0 \end{aligned}$$

pervý



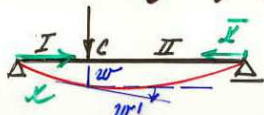
posuvný



$$w_a = 0$$

kloub

- podmínky spojitosti (na rozhraní mezi intervaly)



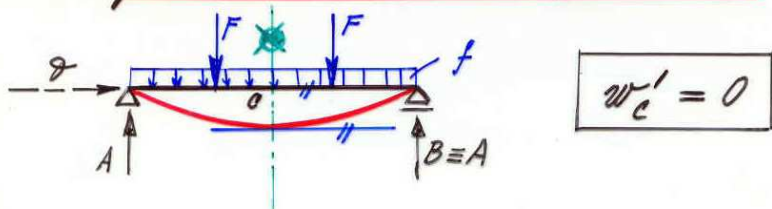
$$\begin{aligned} w_{I,c} &= w_{II,c} \\ w'_{I,c} &= w'_{II,c} \end{aligned}$$

nebo

$$\begin{aligned} w_{I,c}(x) &= w_{II,c}(x) \\ w'_{I,c}(x) &= -w'_{II,c}(x) \end{aligned}$$

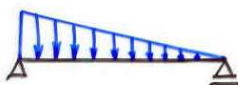
U symetrických koc' symetricky zatížených  
je ohýbová čára symetrická křivka ( $M_y$  sym.)

$\Rightarrow$  • podmínka na ose symetrie



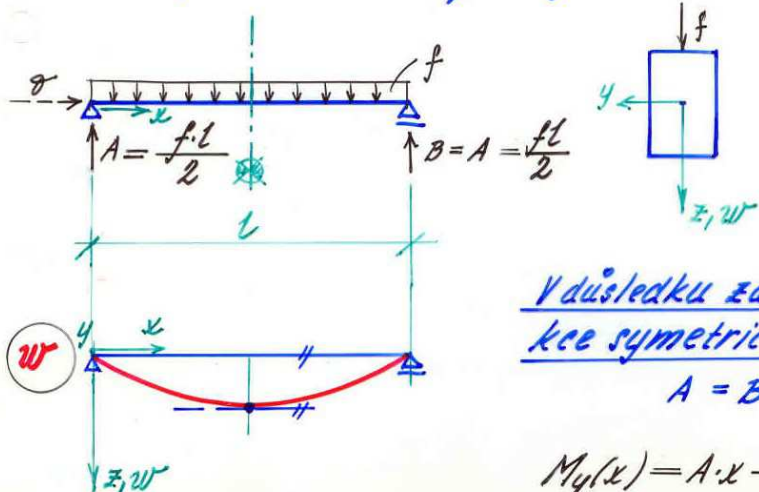
### A) soustavy staticky určité'

2 int. konst. - jedinéle



Při 2n konstantách ( $n$  intervalů) k jejich určení  
kombinujeme okr. podm. s podm. spojitosti (příp. s podm.  
na ose symetrie).

- Příklad:**
- 1) Určete ohyb. čáru prostého n. zatíž. dle obr.
  - 2) Stanovte pootočení levé podpory
  - 3) Stanovte max. průhyb.



V důsledku zatížení:  
koc' symetrická, sym. zatížená  
 $A = B$

$$\begin{aligned} M_y(x) &= A \cdot x - \frac{f \cdot l^2}{2} \\ &= \frac{f}{2} (lx - x^2) \end{aligned}$$

Alternativa I (řešíme celou délku nosníku)

dif. rovnice ohyb. čáry :

$$w''(x) = -\frac{M_y(x)}{EI_y}$$

dosazením  $M_y$ 

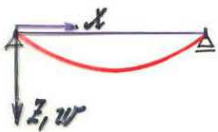
$$w''(x) = -\frac{f}{2EI_y} (lx - x^2)$$

po 1. integraci

$$w'(x) = -\frac{f}{2EI_y} \left( \frac{l}{2}x^2 - \frac{x^3}{3} \right) + C_1$$

po 2. integraci

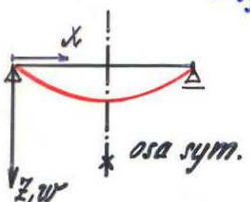
$$w(x) = -\frac{f}{2EI_y} \left( \frac{l}{2} \frac{x^3}{3} - \frac{x^4}{12} \right) + C_1 x + C_2$$

Okrrajové podmínky:

$$w(x=0) = 0 \Rightarrow C_2 = 0$$

$$w(x=l) = 0 \Rightarrow C_1 = \frac{fl^3}{24EI_y}$$

1)  $\Rightarrow w(x) = -\frac{f}{2EI_y} \left( \frac{lx^3}{6} - \frac{x^4}{12} \right) + \frac{fl^3}{24EI_y} x$  rovnice ohybové  
čáry

Alternativa II (využijeme symetrii kce a zatížení  
⇒ symetrická ohyb. čára (řešíme 1/2 nosníku))

$$w(x=0) = 0 \Rightarrow C_2 = 0$$

$$w'(x=\frac{l}{2}) = 0 \Rightarrow C_1 = \frac{1}{24} \frac{fl^3}{EI_y}$$

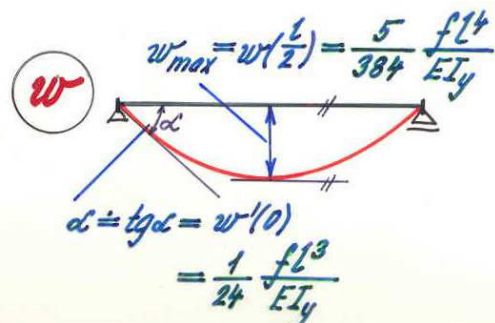
$$\Rightarrow w(x)_{\text{alt. II}} = w(x)_{\text{alt. I}}$$

2) Pootočení levé podpory:

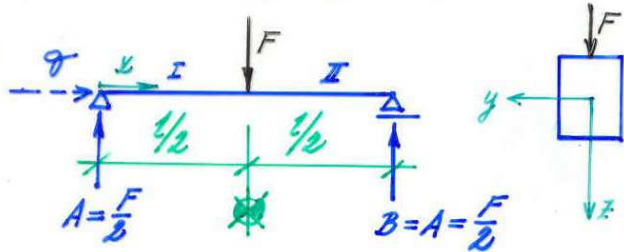
$$w'(x=0) = C_1 = \frac{1}{24} \frac{fl^3}{EI_y}$$

3) Maximální průhýb (uprostřed)

$$w(x=\frac{l}{2}) = \frac{5}{384} \frac{fl^4}{EI_y}$$



**Příklad:** Určete max. pružnob nosníku ( $EI_y = EI = \text{konst.}$ )  
Využijte symetrii.



$$\text{I.int.: } M_y(x) = \frac{F}{2}x$$

$$EI w'' = -\frac{F}{2}x$$

$$EI w' = -\frac{F}{2} \frac{x^2}{2} + C_1$$

$$EI w = -\frac{F}{4} \frac{x^3}{3} + C_1 x + C_2$$

$$1. \underline{\text{Okrajová podmínka: }} x=0 : w=0 \Rightarrow \underline{C_2=0}$$

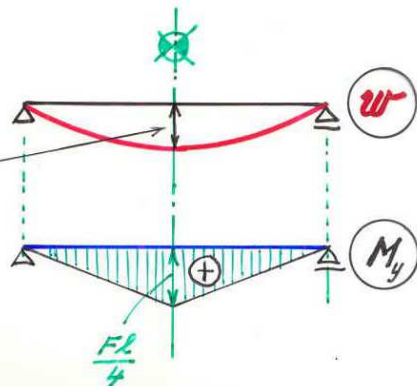
$$2. \underline{\text{Podmínka symetrie: }} x=\frac{l}{2} \quad w'=0 \Rightarrow 0 = -\frac{Fl^2}{4} + C_1$$

$$\underline{C_1 = \frac{Fl^2}{16}}$$

Rovnice ohyb. čáry:

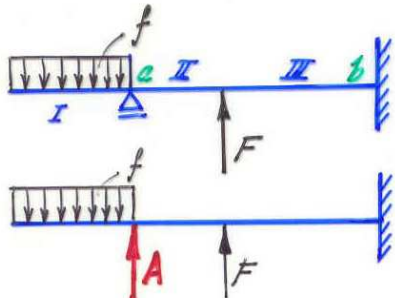
$$w(x) = \frac{1}{EI} \left( -\frac{F}{12} x^3 + \frac{Fl^2}{16} x \right)$$

$$\max w \left( x = \frac{l}{2} \right) = \underline{\underline{\frac{Fl^3}{48EI_y}}}$$



### B) Staticky neurčité nosníky

řešení „přes“ ke stat. určité



$n \dots$  počet intervalů (3)  
 $s \dots$  stupeň statické neurč. (1)

Počet neznámých:  $(2n+s)$   
 $(3 \cdot 2 + 1 = 7)$

Pro určení neznámých máme k dispozici:

$(2+s) \dots$  geometrických podmínek

$\left[ \begin{array}{l} \text{2 okrajové p.} \\ \text{s. převárné p.} \end{array} \right]$	$(w_b = 0, w'_b = 0)$ $(w_a = 0)$	$\} 3$
---	--------------------------------------	--------

$2(n-1)$  podmínek spojitosti mezi intervaly ( $2 \times 2 = 4$ )

$\Rightarrow$   $(2n+s)$  podmínek

Vhodným způsobem integrace redukujeme počet neznámých

A) u stat. urč. nosníků na 2 ( $C_1, C_2$ )

B) u stat. neurč. nosníků na  $2+s$  ( $C_1, C_2, A$ )

Clebschova metoda (vhodná pro nosníky s konst.  $EI$ )

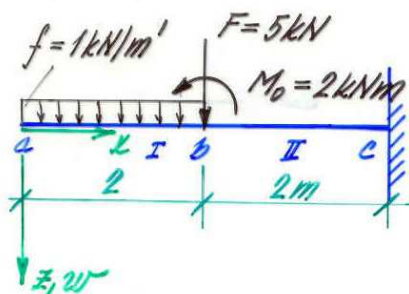
Zásady:

1. Počátek systému souradnic ( $x$ ) stále z téhož bodu ( $i M_g(x)$ )
2. Moment v int. následujícím musí být vyjádřen formálně zcela stejně jako v int. předchozím + další člen(y)
3. Integrace v uzavřeném tvaru

**Příklad**

Určete rovnici ohýb. čáry konzoly, průhyb  
a natočení jejího konce.

( $EI = \text{konst.}$ )

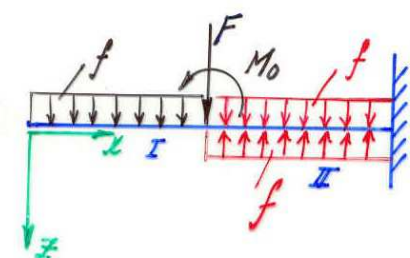


Řešení Clebschovou metodou.

$$M_I(x) = -\frac{f \cdot x^2}{2}$$

$$M_{II}(x) = -\frac{fx^2}{2} + \frac{f(x-2)^2}{2} - F(x-2) - M_0$$

f... fiktivní zatížení



I. interval:  $M = -\frac{x^2}{2}$

$$EIw'' = +\frac{x^2}{2}$$

$$EIw' = \frac{x^3}{6} + C_1$$

$$EIw = \frac{x^4}{24} + C_1x + C_2$$

II. interval:  $M = -\frac{x^2}{2} + \frac{(x-2)^2}{2} - 5(x-2) - 2$

$$EIw'' = \frac{x^2}{2} - \frac{(x-2)^2}{2} + 5(x-2) + 2$$

integrace  
v uzavřeném  
tvaru

$$EIw' = \frac{x^3}{6} - \frac{(x-2)^3}{6} + 5 \frac{(x-2)^2}{2} + 2(x-2) + C_3$$

$$EIw = \frac{x^4}{24} - \frac{(x-2)^4}{24} + 5 \frac{(x-2)^3}{6} + 2 \frac{(x-2)^2}{2} + C_3x + C_4$$

Podmínky spojitosti ( $\Rightarrow$  redukce počtu konstant)

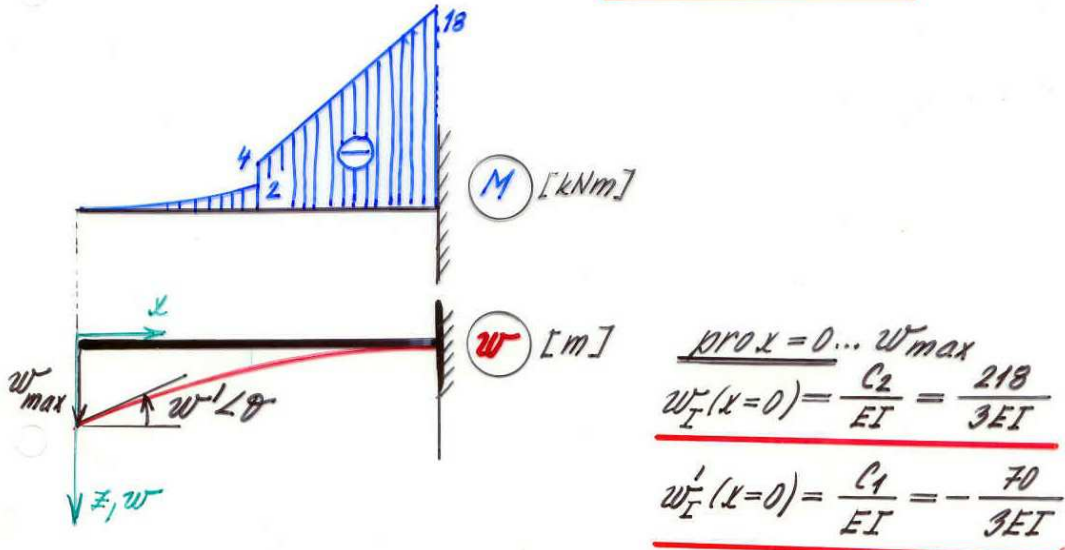
$$\text{pro } x=2 : \quad w_I'(x=2) = w_{II}'(x=2) \Rightarrow \underline{c_1 = c_3}$$

$$w_I(x=2) = w_{II}(x=2) \Rightarrow \underline{c_2 = c_4}$$

okrajové podmínky ( $\Rightarrow$  velikost konstant)

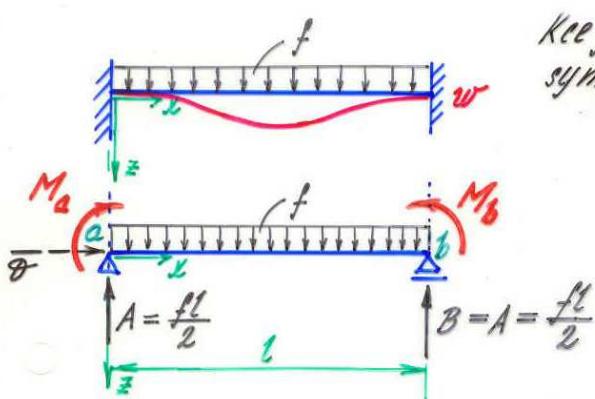
$$\text{pro } x=4 : \quad w_{II}'(x=4) = 0 \Rightarrow \underline{c_3 = c_1 = -\frac{70}{3}}$$

$$w_{II}(x=4) = 0 \Rightarrow \underline{c_4 = c_2 = \frac{218}{3}}$$



Poznámka : Pozor na jednotky ! ( $E \dots [kPa]$   
 $I \dots [m^4]$ )

**Příklad:** Vypočtěte průběh momentů a ohýbovou čáru nosníku zatíženého dle obr.  $EI = \text{konst.}$   
(Neuvážujte prodloužení střednice  $\Rightarrow N=0$ ).



Kdy je stat. neurčitá, symetrická,  
symetr. zatížená ( $\Rightarrow M(x) \sim \text{sym.}$   
 $w(x) \sim \text{průběhy}$ )

řešení'

zvolíme přípustnou kci  
stat. určitou, zavedeme  
stat. neurč. veličinu  $M_a = M_b = ?$

(s využ. sym.  $\Rightarrow$  kce 1x stat. neurč.  
neznámé:  $2 \cdot 1 + 1 = 3$ )

$$M_y(x) = \underline{M_a} + \frac{fl}{2} \cdot x - \frac{fx^2}{2}$$

$$EIw'' = -\underline{M_a} - \frac{fl}{2}x + \frac{fx^2}{2}$$

$$EIw' = -\underline{M_a}x - \frac{fl}{2}\frac{x^2}{2} + \frac{f}{2}\frac{x^3}{3} + \underline{C_1}$$

$$EIw = -\underline{M_a}\frac{x^2}{2} - \frac{fl}{4}\frac{x^3}{3} + \frac{f}{6}\frac{x^4}{4} + \underline{C_1}x + \underline{C_2}$$

neznámé (3)

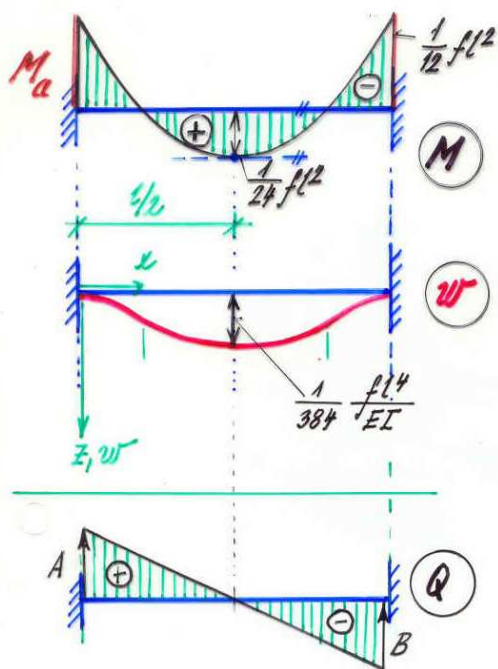
$$1. w(x=0) = 0 \Rightarrow C_2 = 0 \quad (\text{okrajová podm.})$$

$$2. w'(x=0) = 0 \Rightarrow C_1 = 0 \quad (\text{přetvárná podm.})$$

$$3. w'(x=\frac{l}{2}) = 0 \Rightarrow M_a = -\frac{fl^2}{12} \quad (\text{podm. symetrie})$$

$$\Rightarrow \boxed{M_y(x) = -\frac{fl^2}{12} + \frac{fl}{2}x - \frac{fx^2}{2}} \quad \text{průběh momentů}$$

$$\boxed{EIw(x) = +\frac{fl^2}{24}x^2 - \frac{fl}{12}x^3 + \frac{f}{24}x^4} \quad \text{ohyb. čára}$$

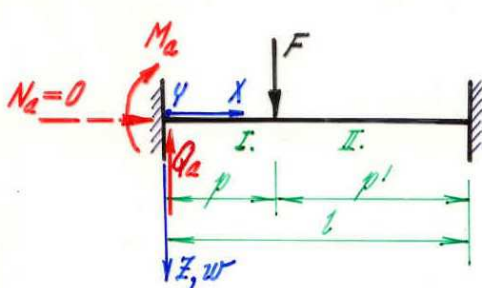


$$\text{uprostred nosníku : } x = \frac{l}{2}$$

$$M_y(x=\frac{l}{2}) = -\frac{fl^2}{24}$$

$$w(x=\frac{l}{2}) = \frac{fl^4}{384EI}$$

Příklad: Vypočtěte průběh momentů a ohýbovou čáru nosníku zatíženého dle obr. Neuvážujte prodloužení střednice.  
( $\Rightarrow$  výpočet podle teorie I. řádu).  $EI = \text{konst.}$



Rешение:

$$N_a = 0 \quad (\Leftarrow z \text{ předpokladu } \Delta l = 0)$$

stupeň stat. neurčitosti  $S = 2$   
staticky neurč. veličiny:  $M_a, Q_a$

celkový počet neznámých  $(2 \cdot 2 + 2) = 6$

$$\underbrace{C_1, C_2}_{\text{I. int.}} + \underbrace{C_3, C_4}_{\text{II. int.}} + \underbrace{M_a, Q_a}_{S=2}$$

$\Rightarrow$  potřebujeme 6 podmínek pro jejich určení

Cást I:

$$M_I(x) = M_a + Q_a x$$

$$-w_I''(x) = \frac{1}{EI} (M_a + Q_a x)$$

$$-w_I'(x) = \frac{1}{EI} (M_a x + Q_a \frac{x^2}{2}) + C_1$$

$$-w_I(x) = \frac{1}{EI} (M_a \frac{x^2}{2} + Q_a \frac{x^3}{6}) + C_1 x + C_2 \quad (a)$$

Cást II:

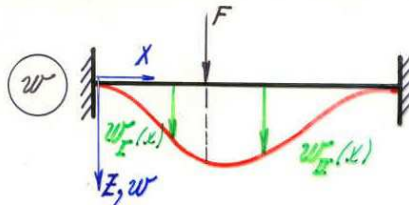
$$M_{II}(x) = M_a + Q_a x - F(x-p)$$

$$-w_{II}''(x) = \frac{1}{EI} [M_a + Q_a x - F(x-p)] \quad \text{integrace v uzavřeném tvaru}$$

$$-w_{II}'(x) = \frac{1}{EI} [M_a x + Q_a \frac{x^2}{2} - F \frac{(x-p)^2}{2}] + C_3$$

$$-w_{II}(x) = \frac{1}{EI} [M_a \frac{x^2}{2} + Q_a \frac{x^3}{6} - F \frac{(x-p)^3}{6}] + C_3 x + C_4 \quad (b)$$

## Okrrajové podmínky a podmínky spojitosti



1.  $x=0$  :  $w_I(0)=0, w_I'(0)=0$

2.  $x=p$  :  $w_I(p)=w_{II}(p)$   
 $w_I'(p)=w_{II}'(p)$

3.  $x=l$  :  $w_{II}(l)=0, w_{II}'(l)=0$

2. skupina :  $x=p$

$$-w_I'(p) = -w_{II}'(p)$$

$$\frac{1}{EI} \left[ M_a p + Q_a \frac{p^2}{2} \right] + C_1 = \frac{1}{EI} \left[ M_a p + Q_a \frac{p^2}{2} - F \frac{(p-p)^2}{2} \right] + C_2 \Rightarrow C_1 = C_2$$

$$-w_I(p) = -w_{II}(p) \Rightarrow C_2 = C_4$$

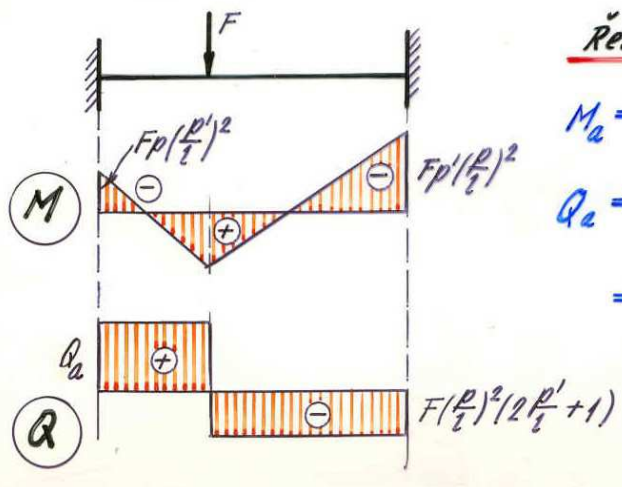
1. skupina :  $x=0$

$$w_I'(0)=0 \Rightarrow C_1 = C_3 = 0$$

$$w_I(0)=0 \Rightarrow C_2 = C_4 = 0$$

3. skupina :  $x=l$

$$\begin{aligned} -EI w_{II}'(l) &= M_a l + Q_a \frac{l^2}{2} - F \frac{(l-p)^2}{2} = 0 \\ -EI w_{II}(l) &= M_a \frac{l^2}{2} + Q_a \frac{l^3}{6} - F \frac{(l-p)^3}{6} = 0 \end{aligned} \quad \left. \begin{array}{l} \text{2 rovnice pro} \\ \text{2 neznámé} \end{array} \right\}$$



Rешenіm :

$$M_a = -Fp \left( \frac{p'}{l} \right)^2$$

$$Q_a = \frac{2Fp'}{l^2} \left( \frac{pp'}{l} + \frac{p'}{2} \right) = F \left( \frac{p'}{l} \right)^2 [2 \frac{p}{l} + 1]$$

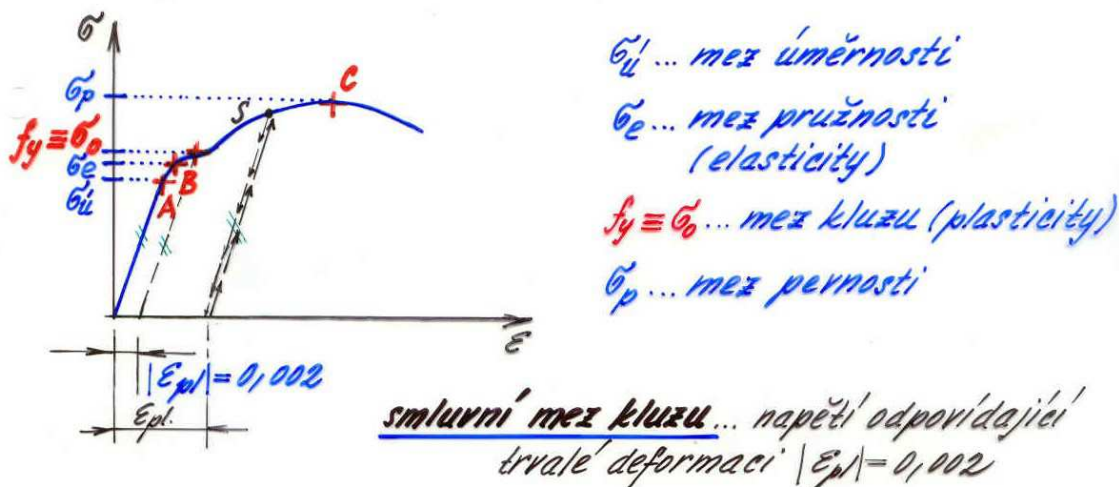
$$\Rightarrow w_I(x) \quad (a)$$

$$\Rightarrow w_{II}(x) \quad (b)$$

## Pružnoplastický a plastický stav průřezů ohýbaných prutů

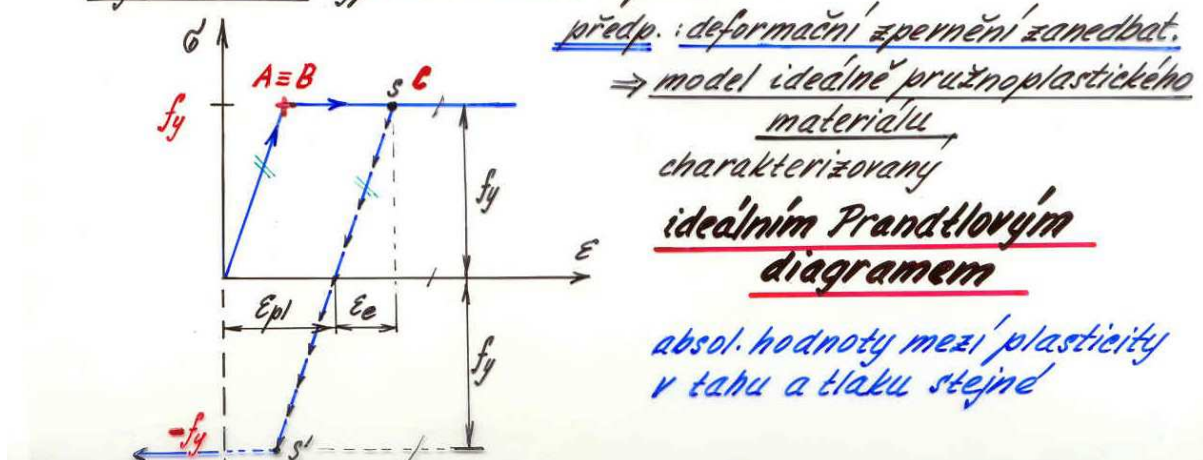
- dodatečným přidílením pružného, přetvořeného prutu normálové napětí dosáhne mez kluzu  $f_y$ 
  - ✓ v celém průřezu (tah, tlak)
  - ✓ n. jen v krajních vrácnech (ohyb)

### Skutečný pracovní diagram ( $\sigma \times \epsilon$ )

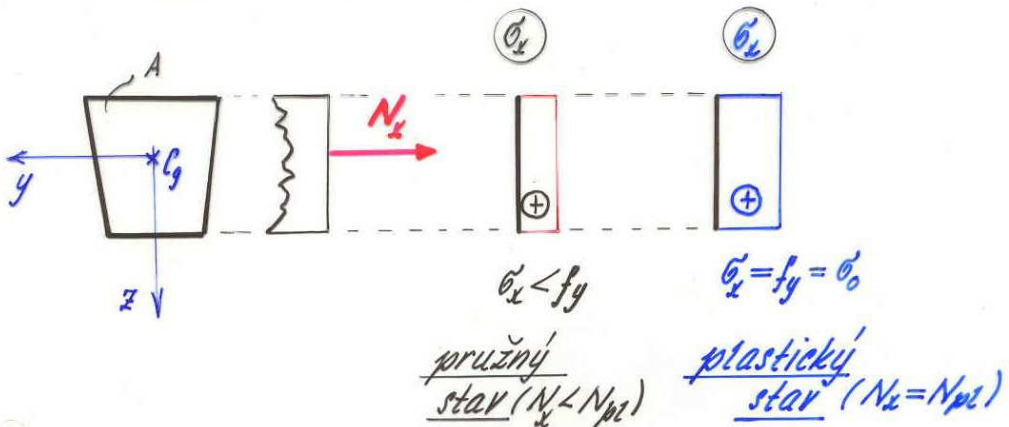


deformační zpevnění = vzrůst napětí za mezi kluzu

Zjednodušení výpočtu v oboru nepruž. E:



## Prostý tah, tlak



$\sigma'_x$  ... konstantní  $\Rightarrow$  průřez z izotropního materiálu  
přechází z pružného do plastického stavu  
celý, najednou, když  $|\sigma'_x| = f_y$

(nedochází k postupnému zplastizování průřezu  
x jednoduchý ohyb)

podmínka ekvivalence:

$$N_x = \iint_A \sigma'_x dA$$

plastický stav .....  $N_x = N_{pl}$

Plastická normátová síla:

$$N_{pl} = f_y \cdot A$$

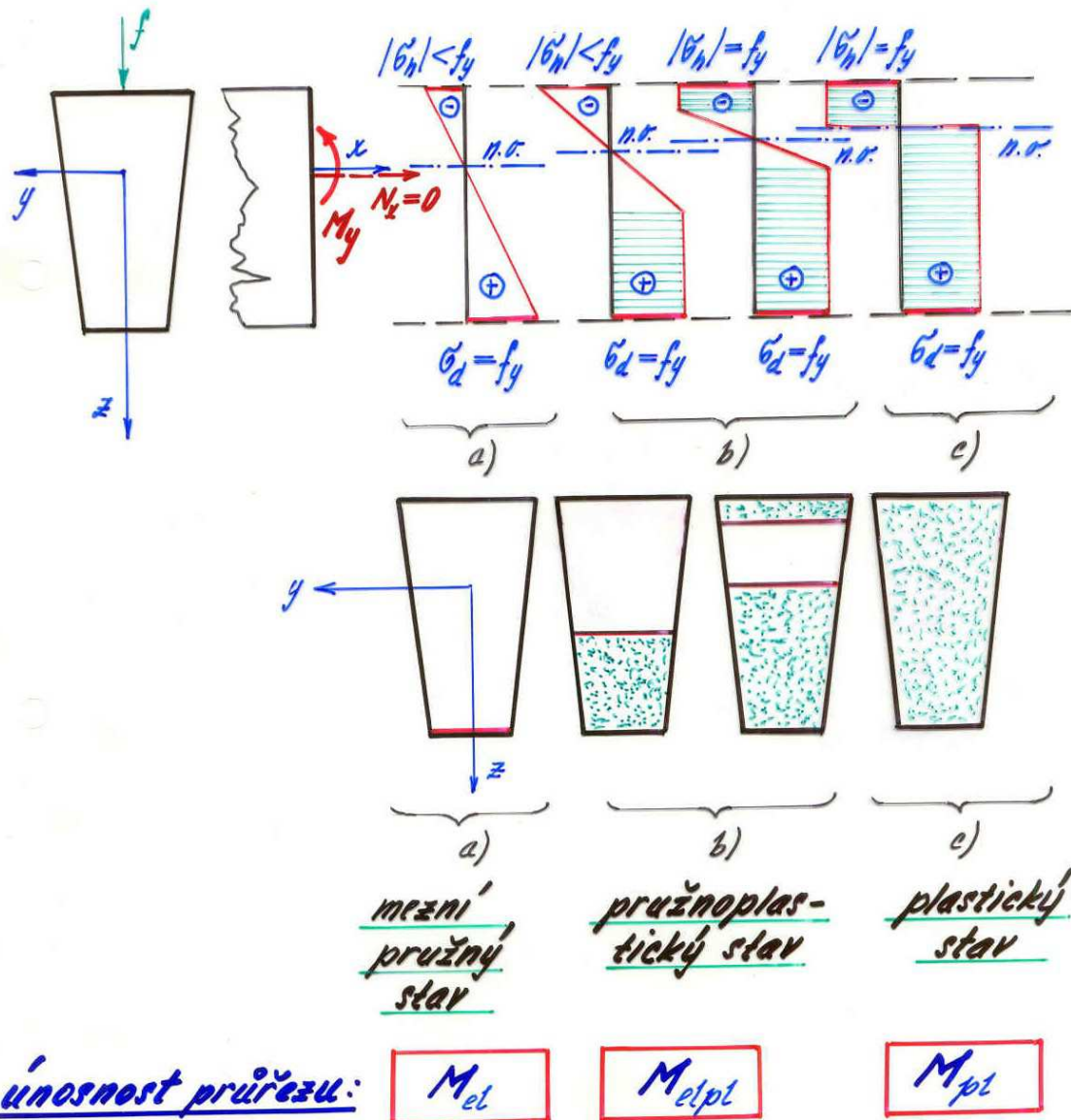
Heterogenní průřez - složený z  $i=1, 2, \dots, n$  materiálů  
s různými mezeními plasticity  $f_{yi}$ :

$$N_{pl} = \sum_{i=1}^n f_{yi} A_i$$

## Jednoduchý ohýb ( $M_y \neq 0, N_z = 0$ )

předp.: stejné meze kruhu v tahu a tlaku ...  $f_y$  (např. ocel)

Postupné zplastizování průřezu (probíhá ve třech fázích)



a) Mezní pružný stav - průřez je v oboru pružného namáhání, pokud je splněna podmínka mezního pružného stavu:

$$M_{el} = W_{min} \cdot f_y$$

$W_{min}$  ... průřezový modul ke vzdálenějším krajním vlákňům od osy y

(Využití vztahů z jednoduchého ohýbu:

$$\tilde{\sigma}_d = \frac{M_y}{W_d}, \quad M_y = M_{el}, \quad \tilde{\sigma}_d = f_y$$

### b) Pružnoplastický stav

K dispozici máme 2 podmínky ekvivalence sil v průřezu:

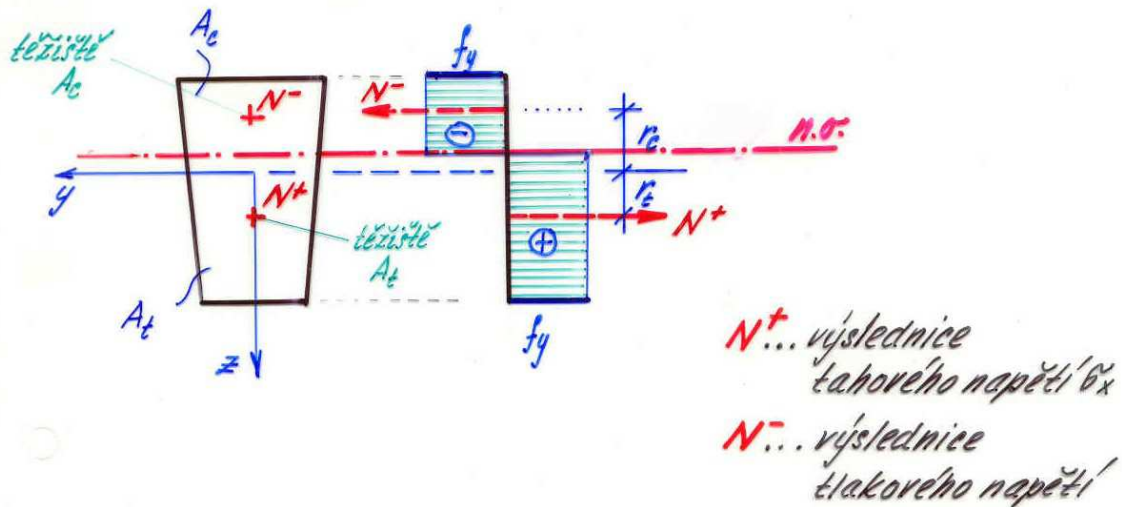
1)  $N_x = 0$  ....  $\iint_A \tilde{\sigma}_x dA = 0$

2)  $M_y = M_{elpl}$  ....  $M_{elpl} = \iint_A \tilde{\sigma}_x \cdot z dA$

pro 2 neznámé:

- poloha neutralní osy (obecně neprochází těžistem průřezu; x průřez dvojose sym.)
- moment únosnosti průřezu  $M_y = M_{elpl}$

### c) Plastický stav (průřez plně zplastizován)



2 podmínky ekvivalence sil v průřezu:

$$1. \quad N^+ + N^- = 0$$

$$f_y \cdot A_t + (-f_y) \cdot A_c = 0 \Rightarrow A_t = A_c = \frac{A}{2}$$

$\Rightarrow$  neutralní osa dělí průřez na dvě části o stejně ploše

$$2. \quad M_y = M_{pl}$$

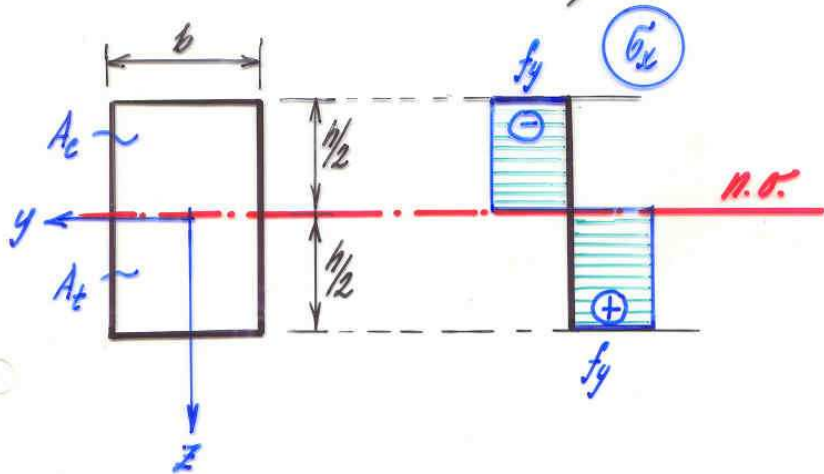
$$f_y \cdot A_t \cdot r_t + f_y \cdot A_c \cdot r_c = M_{pl}$$

$$f_y \cdot (S_{yt} - S_{yc}) = M_{pl}$$

$$\underline{W_{pl} = |S_{yt}| + |S_{yc}|} \dots \text{průřezový modul v plastickém stavu}$$

$$\boxed{M_{pl} = f_y \cdot W_{pl}}$$

**Příklad:** Určete průřezový plastický modul obdélníkového průřezu.



**Rешение:** U dvojose symetrických průřezů prochází neutr. osa ve všech fazích namáhání težiskem průřezu (tedy i v c)

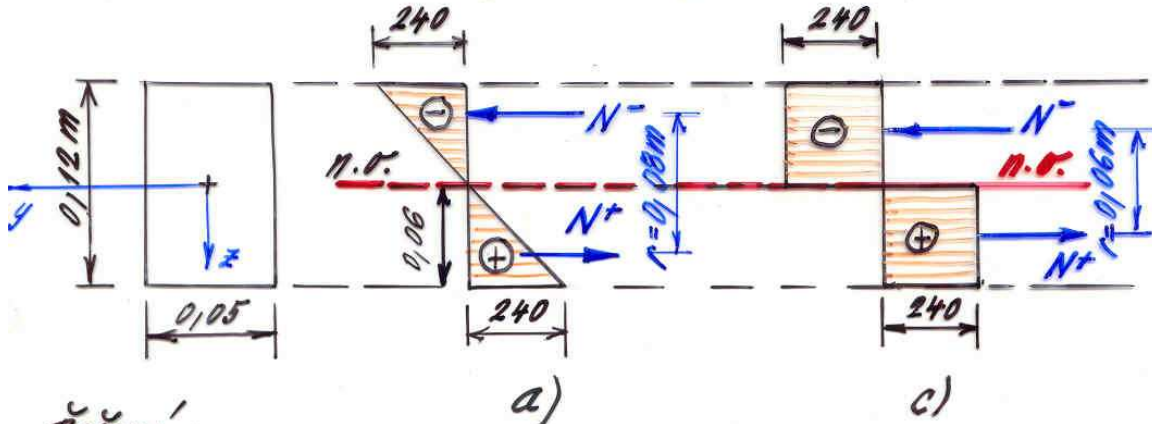
$$W_{pl} = |S_{y,t}| + |S_{y,c}| = \frac{bh}{2} \cdot \frac{h}{4} \cdot 2 = \underline{\underline{\frac{bh^2}{4}}}$$

$$\left( \times W_{el} = \frac{I_y}{\frac{h}{2}} = \frac{\frac{1}{12}bh^3}{\frac{h}{2}} = \frac{bh^2}{6} \right)$$

↓ použijeme při odtežování!

Pr.

Obdélníkový průřez je namáhaný ohyb. momentem  $M_y = 36,8 \text{ kNm}$ . Zjistěte, zda je průřez v pružném, pružnoplastickém nebo plastickém stavu. Mez kluzu je  $\sigma_0 = f_y = 240 \text{ MPa}$ .



Řešení:

a) Nejdříve určíme velikost momentu v mezním pružném stavu:

$$N^t = \frac{1}{2} \cdot 240 \cdot 0,06 \cdot 0,05 = 0,36 \text{ MN}$$

$$M_{el} = 0,36 \cdot 0,08 = \underline{\underline{0,0288 \text{ MNm}}} < 0,0368 \text{ MNm}$$

⇒ zadaný moment přestoupil  
moment v mezním elastickém stavu

c) Určíme velikost momentu při plně zplastizovaném průřezu:

$$N^t = 240 \cdot 0,06 \cdot 0,05 = 0,72 \text{ MN}$$

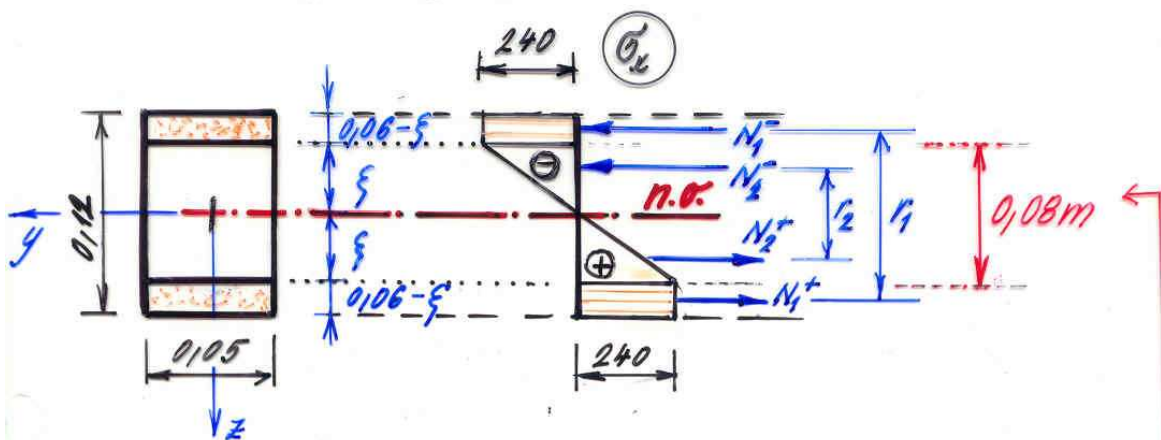
$$M_{pl.} = 0,72 \cdot 0,08 = \underline{\underline{0,0432 \text{ MNm}}} > 0,0368 \text{ MNm}$$

⇒ zadaný moment nedosáhl hodnoty  $M_{pl.}$

⇒ průřez je v pružnoplastickém stavu

Pr.

Pro průřez i namáhání z předchozího př. vypočtejte výšku pružné oblasti!



Výslednice napětí v plně zplastizovaných oblastech průřezu  $N_1^+$ ,  $N_1^-$  trojí silovou dvojicí;

podobně jako výslednice napětí v pružné oblasti průřezu  $N_2^+$ ,  $N_2^-$

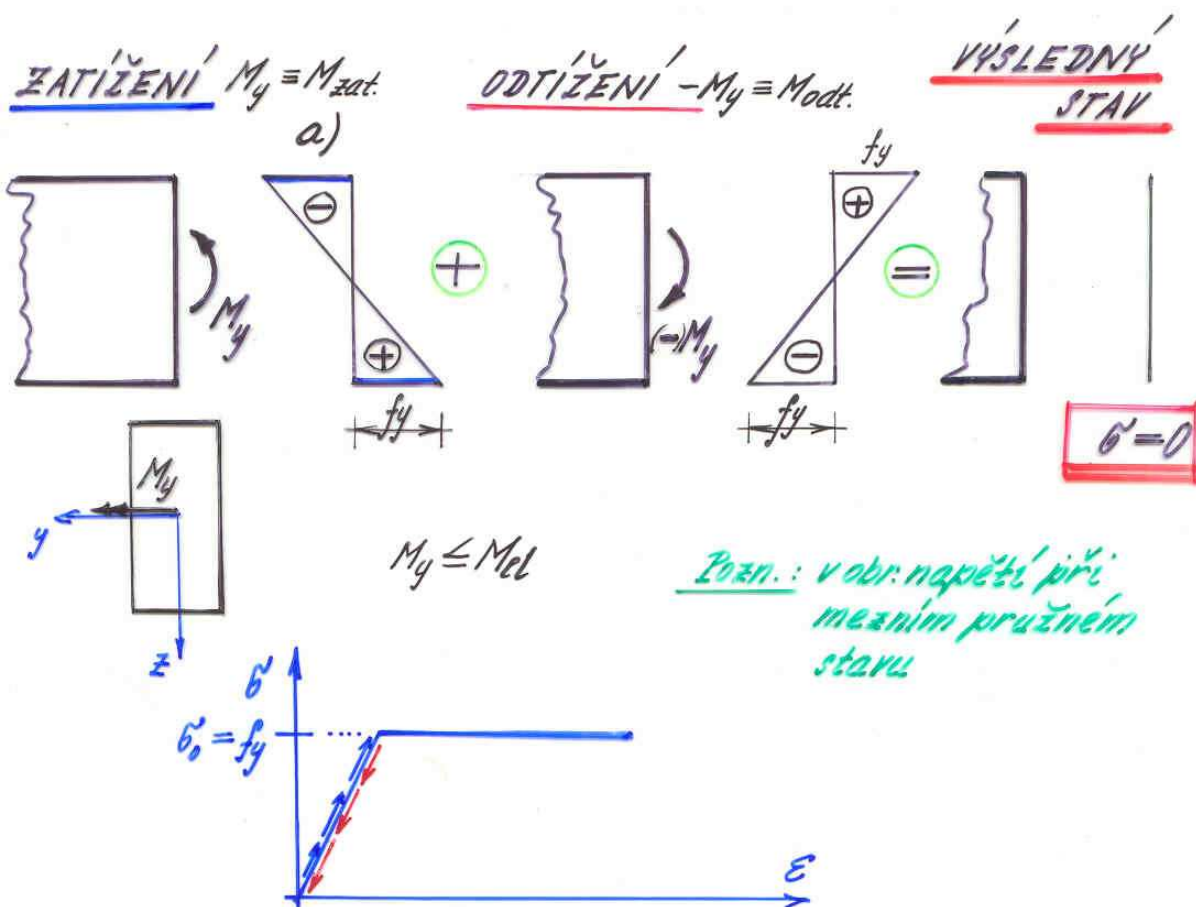
$$M_{el\text{ pl}} = 0,0368 = N_1^+ \cdot r_1 + N_2^+ \cdot r_2$$

$$\Rightarrow \xi = 0,04 \text{ m.}$$

Celková výška pružné oblasti je 0,08 m.

## Odtížení při ohýbu

- a) nosník namáhaný ohýbem v pružném stavu  
 (v žádném bodě nerznikají plastické deformace)  
po odtížení: vrátí se do původního, t.j.  
nedeforrovánoho, nenapjatého stavu



Při zatěžování i při odtěžování se materiál chová lineárně pružně  $\Rightarrow$  nerznikají žádna zbytková napětí

### b) c) Odtížení z pružnoplastického (plastickeho) stavu

- Při odtížování se materiál chová lineárně pružně.
- Po odtížení zbudou zbytková (residuální) napětí

⇒ určí se jako součet napětí v pružnoplastickém (resp. plastickém) stavu a napětí fiktivního odtěžujícího pružného stavu vyvolaného momentem  $M_{odt}$ .

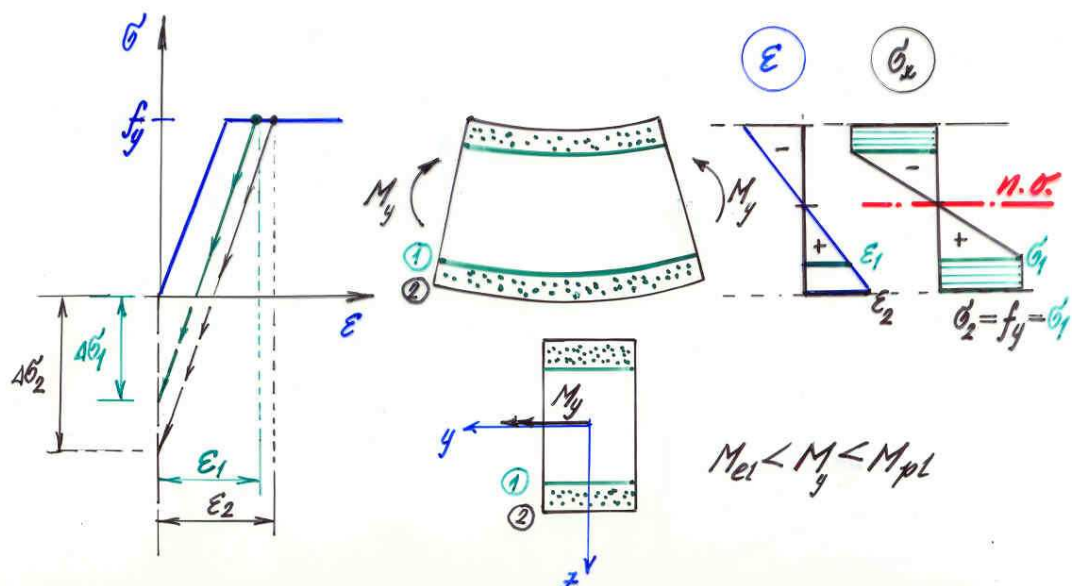
$$b) \underline{M_{odt} = -M_{el,pl}} \quad \text{resp.} \quad c) \underline{M_{odt} = -M_{pl}}$$

$$\sigma'_{rez} = \sigma'_x + \frac{M_{odt}}{I_y} \cdot z$$

$$|\sigma'_{rez}| \leq f_y$$

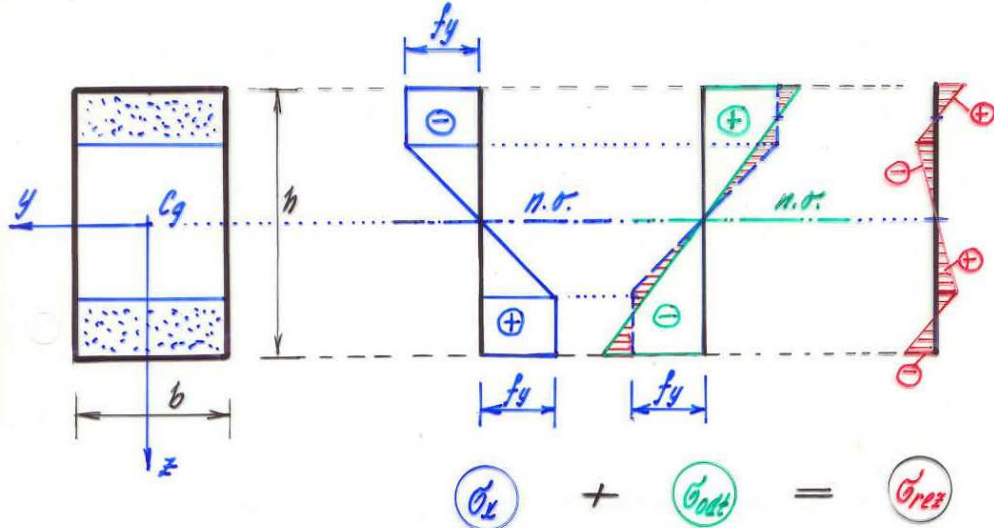
Důvod existence reziduálních napětí:

V různých bodech průřezu (po výšce) dosáhla plastická deformace různé hodnoty



## Residuální napětí - obdélníkový průřez (drojose symetrický průřez)

$$\text{pružnoplastický stav} \quad \boxed{\int M_y < M_{pl}} + \boxed{\int (-M_y)} = \boxed{\int \sigma}$$

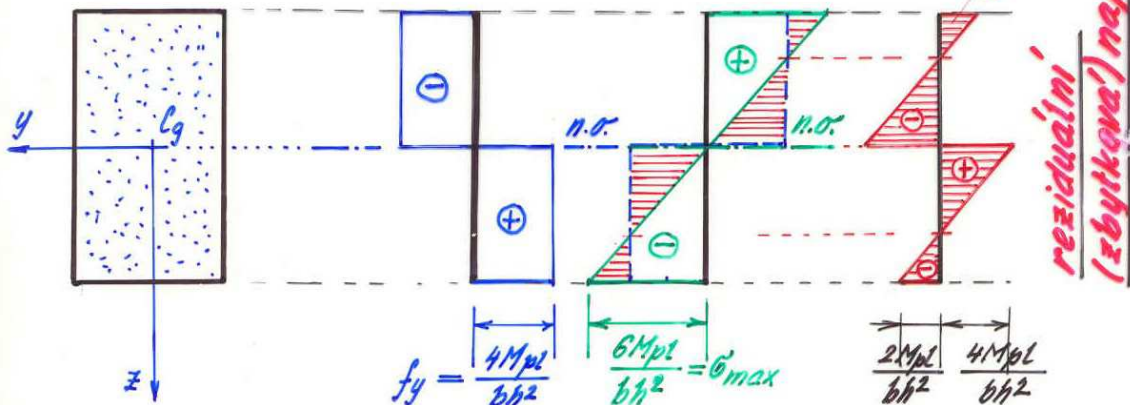


n.o. ... neutralní osa při zatežování i odtežování prochází těžištěm průřezu

### plastický stav

$$f_y = \frac{M_{pl}}{W_{pl}}$$

$$\sigma_{\text{max}} = \frac{M_{pl}}{W_{el}}$$

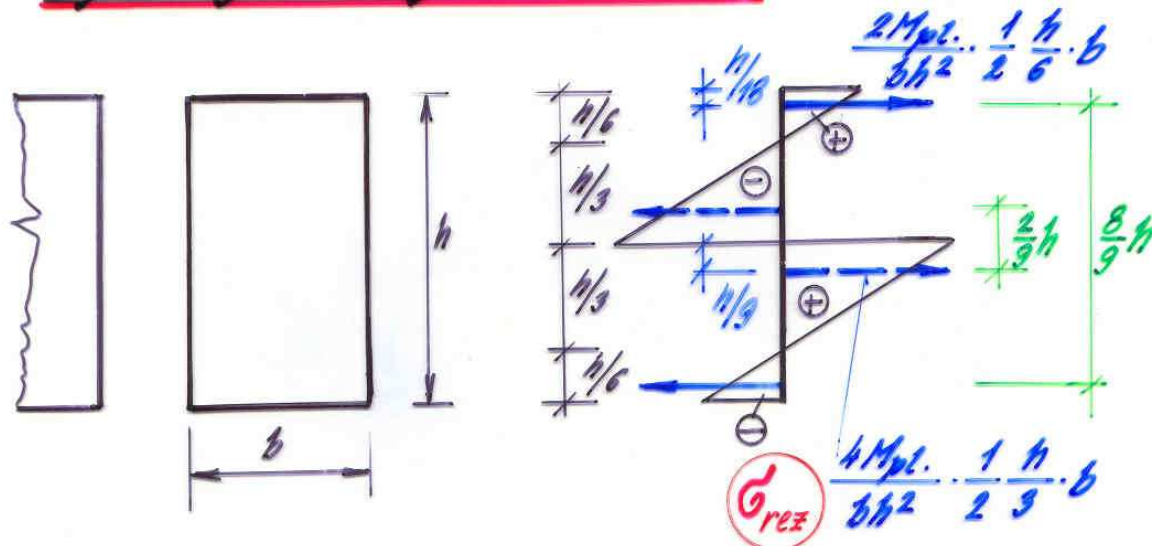


$$W_{pl} = \frac{bh^2}{4}$$

$$W_{el} = \frac{bh^2}{6}$$

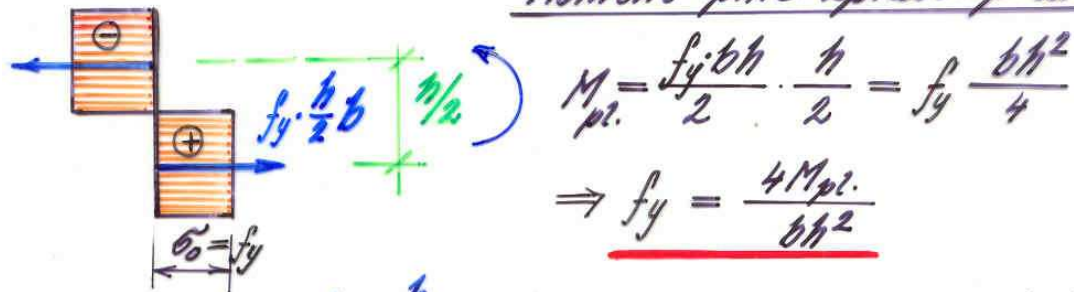
$$\boxed{\int M_{pl}} + \boxed{\int (-M_{pl})} = \boxed{\int \sigma}$$

Zbytková ('residualní') napětí dají 'výsledný nulový' moment:

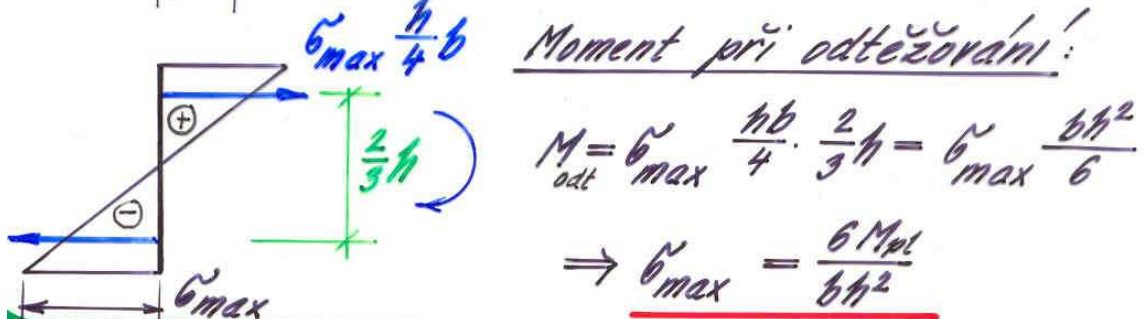


$$\frac{M_{pl.}}{bh} \cdot \frac{8}{9}h - \frac{2}{3} \frac{M_{pl.}}{bh} \cdot \frac{2}{9}h = 0$$

Moment plného zplast. průřezu:



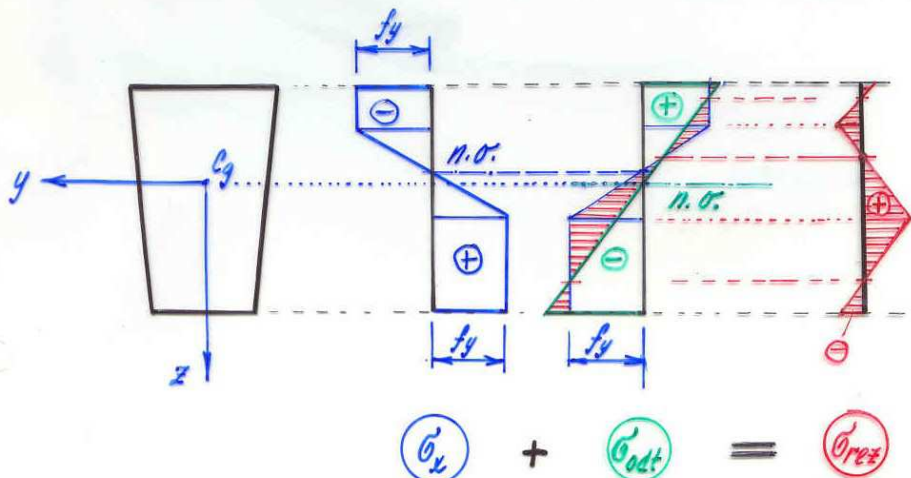
Moment při odtežování:



$$M = \sigma_{max} \cdot \frac{h}{4} \cdot \frac{2}{3}h = \sigma_{max} \cdot \frac{bh^2}{6}$$

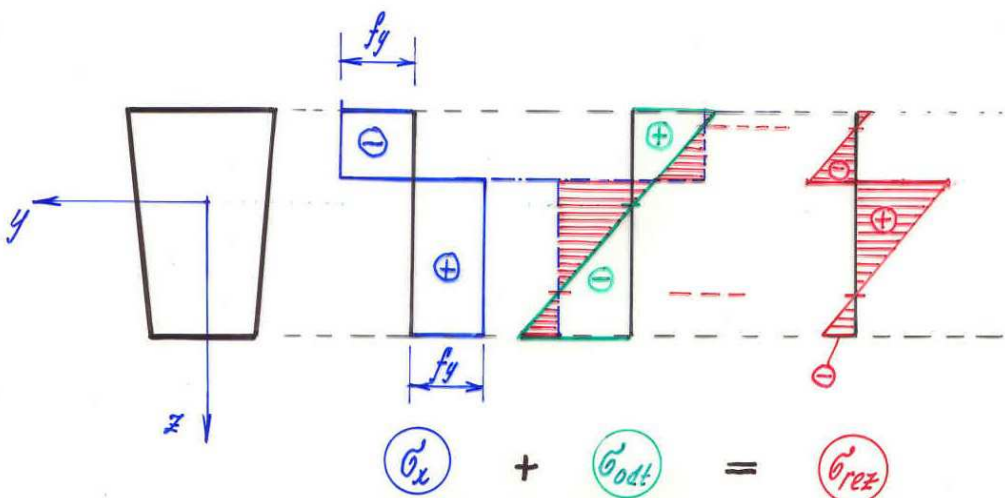
$$\Rightarrow \sigma_{max} = \frac{6M_{pl.}}{bh^2}$$

Residualní napětí - jednoosé symetrický průřez  
proužnoplastický stav



n.o. ... neutr. osa při zatěžování ( $M > M_{el}$ ) ... neprochází těžištěm  
 n.o. ... neutr. osa při odtežování ... prochází těžištěm

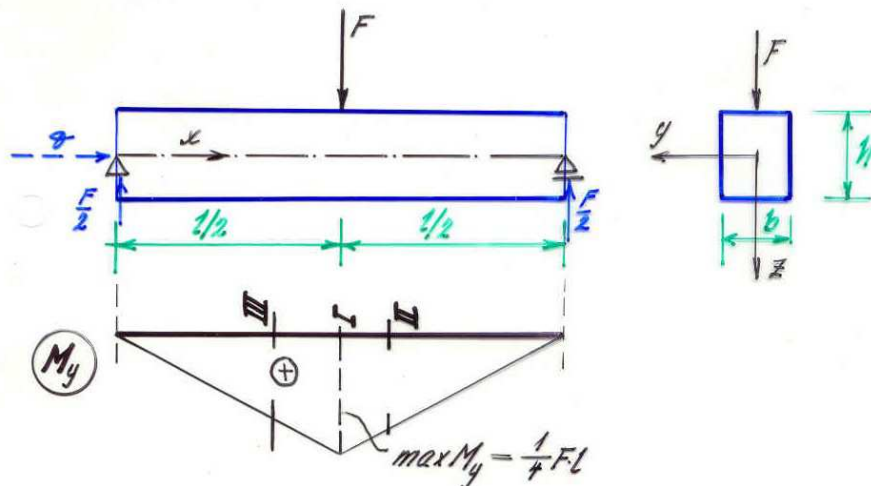
plastický stav



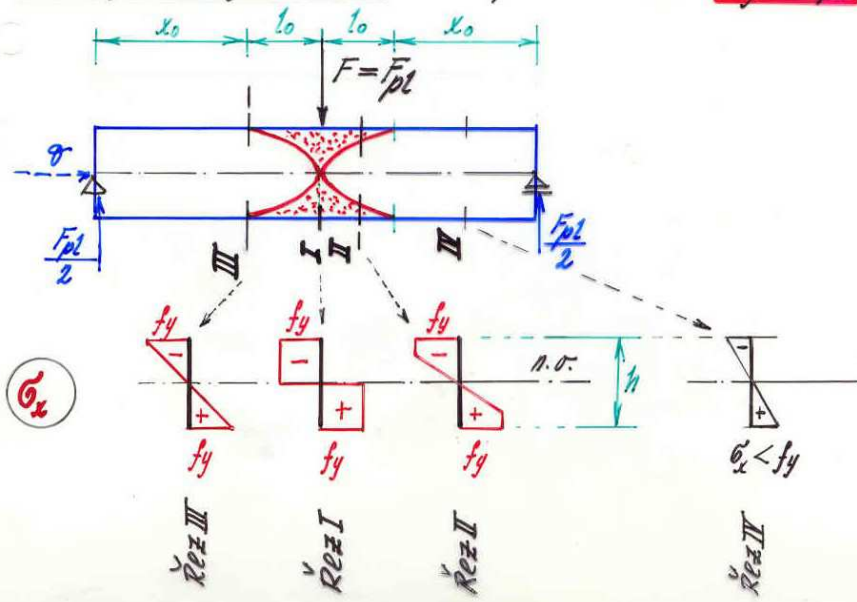
## Tvar plastické oblasti (plastického klobouku)

- vyjadřuje chování nosníku na přechodu z pružného do plastického stavu

### Příklad



Plastické oblasti se začnou vytvářet, když  $M_y > M_{pl}$   $\Rightarrow F > F_{pl}$ , úplný plastický klobub vznikne při zatížení ( $M_y = M_{pl}$ ) ...  $F = F_{pl}$ .



Zatížení, při kterém průřez pod těženemem úplně zplastizuje (průřez I)

$$\text{dorážme-li } \underline{\max M_y = M_{pl}} \quad (F = F_{pl})$$

$$\frac{1}{4} F_{pl} \cdot l = f_y \cdot W_{pl} \quad (W_{pl} = \frac{1}{4} b h^2)$$

$$\Rightarrow \underline{F_{pl} = f_y \frac{b h^2}{l}}$$

Délka plastického kloubu:

$$l_0 = \frac{l}{2} - x_0$$

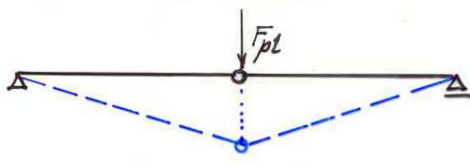
průřez III:  $M_y(x=x_0) = \frac{F_{pl}}{2} \cdot x_0 = f_y \frac{b h^2}{2l} \cdot x_0$

$$M_{el} = f_y \cdot \frac{1}{6} b h^2$$

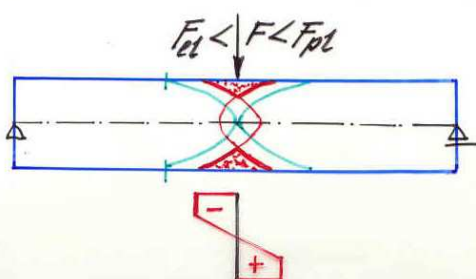
$$M_y(x=x_0) = M_{el} \Rightarrow x_0 = \frac{l}{3} \quad \dots \text{začátek plast. kloubu}$$

$$\underline{l_0 = \frac{l}{6}}$$

Plastickej kloub funguje podobně jako vložený kloub:



staticky přeurešitá,  
tvarem neurčitá kce  
⇒ pohyblivý mechanismus

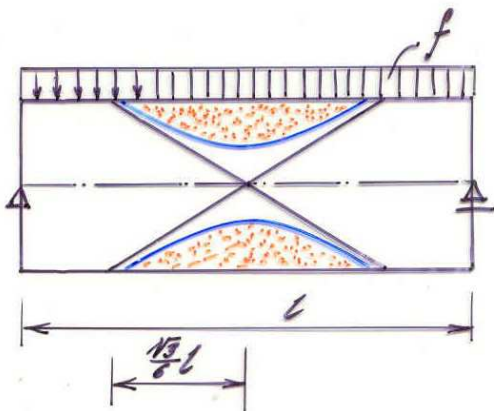
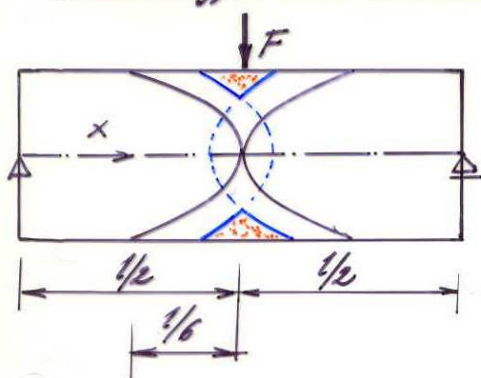


začáteční fáze plastifikace

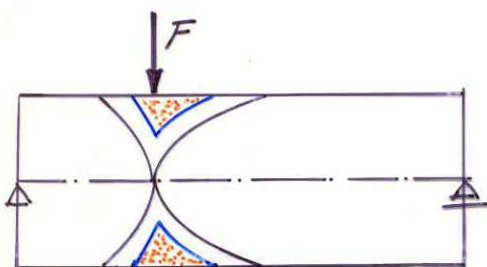
$$\Rightarrow M_{el} < \max M_y < M_{pl}$$

## Tvar plastického klobouku závisí

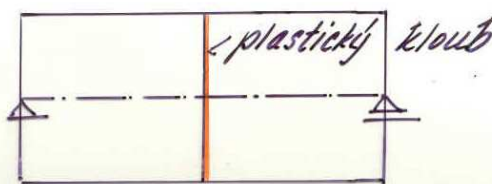
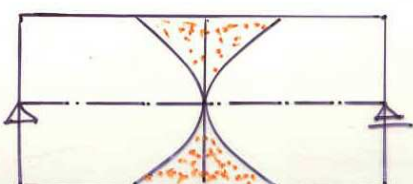
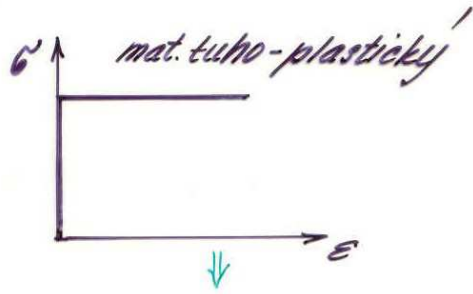
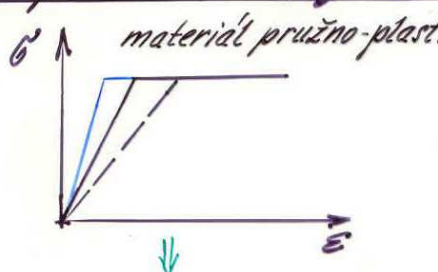
### a) na typu zatížení



### b) na poloze břemene



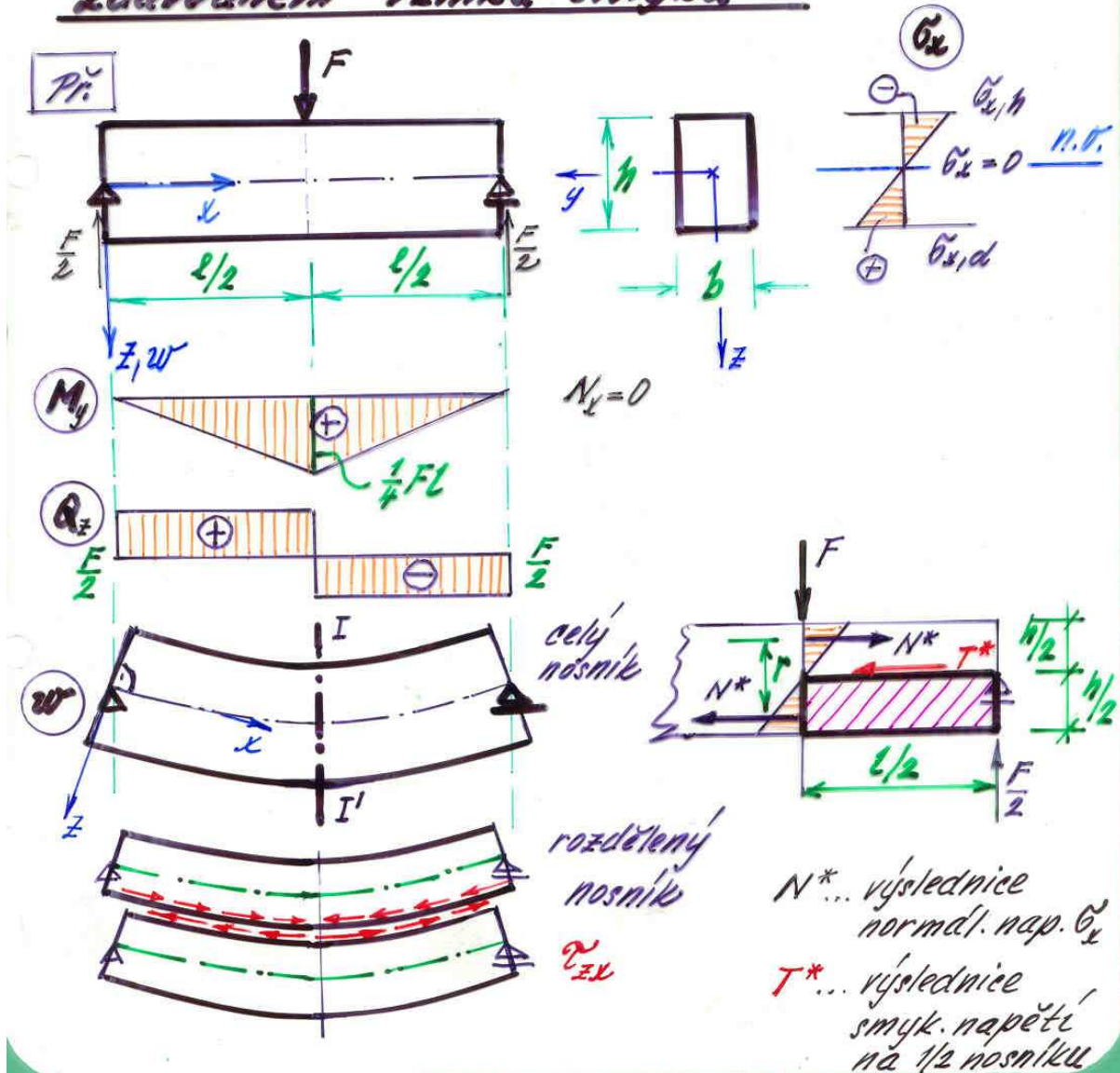
### c) na pracovním diagramu



## Smyková (tečná) napětí při ohýbu (smyk za ohýbu)

→ vznikají, působí-li na průřez kromě  $M_y$  (resp.  $M_z$ ) též  $\alpha_y$  a  $\alpha_z$

Zdrojodnění vzniku snyku:



U rozděleného nosníku by došlo k deformaci každé části samostatně  
 $\Rightarrow$  narušení spojitosti tělesa v kontaktní ploše  $z=0$ .

$\Rightarrow$  V této ploše musí působit smyková napětí  $\tau_{zx}$ , která spodní vlákna horní části zkracuje, horní vlákna spodní o prodlužuje.

### Výpočet smykové síly $T^*$

- z podm. rovnoráhy na vyšrafovovaném dílu:

$$\leftarrow: N^* + T^* = 0 \Rightarrow \boxed{T^* = -N^*}$$

$$N^* = \frac{M_y}{r} = \frac{\frac{1}{4}F \cdot L}{\frac{2}{3}h} = \frac{3}{4} \cdot \frac{F}{2} \cdot \frac{L}{h}$$

$$\underline{T^* = \frac{3}{4} Q_z \cdot \frac{L}{h}}$$

1. Výslednice  $T^*$  smykových napětí  $\tau_{zx}$  ve vodorovném řezu je úměrná momentu  $M_y$ .  
 $\times$  Nemíme, jak jsou smykové napětí  $\tau_{zx}$  rozdělena po délce prutu!

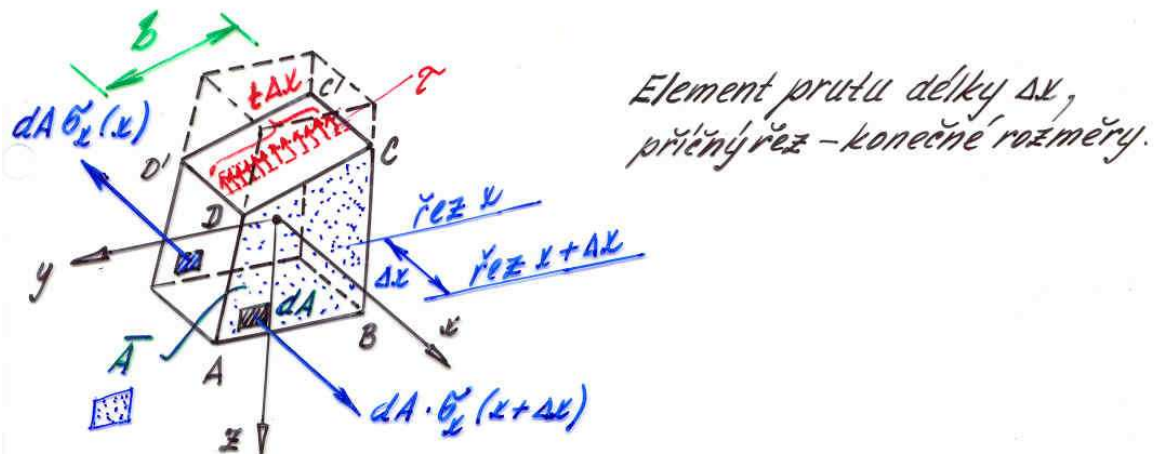
"Průměrné napětí" ve spáře:  $\tau_{zx} = \frac{T^*}{b \cdot \frac{L}{2}} = \frac{3}{2} \frac{Q_z}{b \cdot h}$

2. Tečné napětí je úměrné posouvající síle  $Q_z$ .

## obecný vzorec pro výpočet smykových napětí:

odvodíme pro jednoduchost pro nosník založený pouze příčními silami; t.j. :

- 1)  $f_x = m_y = m_z = 0 ; f_y \neq 0 ; f_z \neq 0 (N_x = 0)$
- 2) výpočet v klarménových centrálních osách.



odvození - z podmínky rovnoráhy sil působících ve směru x na část elementu prutu pod řezem DCDC'!

Zjednodušení:  $\tau$  rovnoměrně rozloženo podél úsečky CD

$$\boxed{\tau = Q \cdot b} \quad [N/m] \dots \underline{\text{smykový tok}}$$

výslednice smykových napětí  $\tau$   
podél úsečky CD

## Podmínka rovnováhy (ve směru x)

$$\rightarrow \iint_A [\tilde{\sigma}_x(x+\Delta x) - \tilde{\sigma}_x(x)] dA - t \Delta x = 0 \quad | \cdot \frac{1}{\Delta x}, \Delta x \rightarrow 0$$

Smykový tok vzniká  
jako důsledek změny  
normálových napětí  
po délce prutu!

$$\iint_A \frac{\partial \tilde{\sigma}_x}{\partial x} dA = t$$

$$\tilde{\sigma}_x = -\frac{M_z}{I_z} \cdot y + \frac{M_y}{I_y} \cdot z$$

$$\frac{\partial \tilde{\sigma}_x}{\partial x} = -\frac{y}{I_z} \frac{dM_z}{dx} + \frac{z}{I_y} \frac{dM_y}{dx}$$

$$\frac{1}{I_z} \boxed{\frac{d(-M_z)}{dx}} \iint_A y dA + \frac{1}{I_y} \boxed{\frac{dM_y}{dx}} \iint_A z dA = t$$

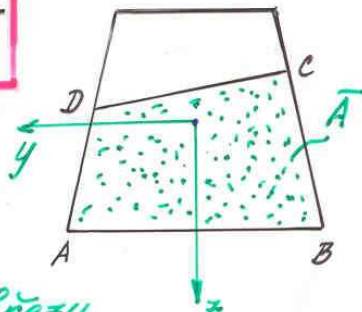
$$Q_y \quad \bar{s}_z$$

$\bar{s}_y, \bar{s}_z \dots$  statické momenty  
dolní odkládací části  
 $ABCD \perp$  hl. centrální osám

S uvažením Schröderovy věty:

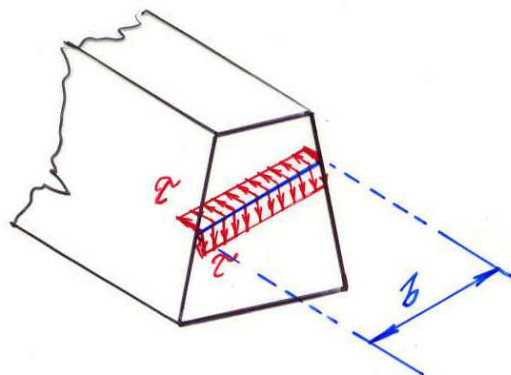
$$t = \sigma \cdot b = -\frac{Q_y \cdot \bar{s}_z}{I_z} + \frac{Q_z \cdot \bar{s}_y}{I_y}$$

$$\sigma = \frac{Q_y \cdot \bar{s}_z}{b \cdot I_z} + \frac{Q_z \cdot \bar{s}_y}{b \cdot I_y}$$

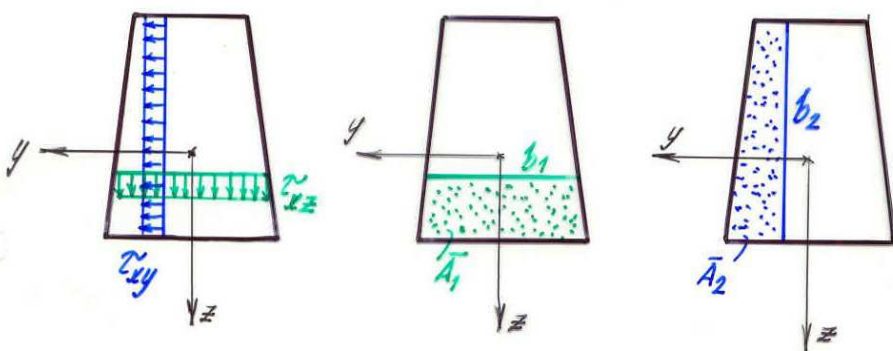


$I_y, I_z \dots$  momenty retracnosti celého průřezu

- Z věty o vzájemnosti smykových napětí plyně, že stejné smykové napětí  $\tau$  (jako v rovině  $DCD'C'$ ) vznikají i v rovině průřezu.



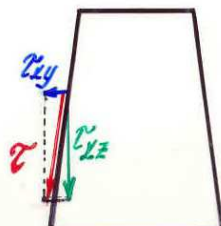
- Polohu vlákna šířky  $b$  volime tak, abychom vystihli průběhy složek  $\tau_{xz}$ ,  $\tau_{xy}$  v průřezu:



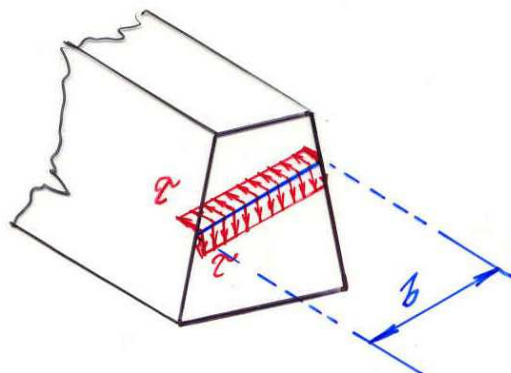
$$\tilde{\tau}_{xz} = \frac{Q_y \cdot \bar{S}_z}{I_z \cdot b_1} + \frac{Q_z \cdot \bar{S}_y}{I_y \cdot b_1}$$

$$\tilde{\tau}_{xy} = \frac{Q_y \cdot \bar{S}_z}{I_z \cdot b_2} + \frac{Q_z \cdot \bar{S}_y}{I_y \cdot b_2}$$

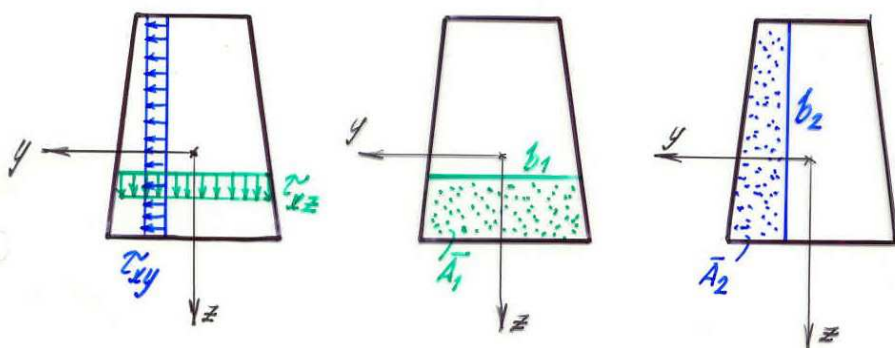
- Výsledné smykové napětí  $\tau$  má na okraji průřezu směr tečný k obrysům:



- Z věty o vzájemnosti smykových napětí plyne, že stejné smykové napětí  $\tau$  (jako v rovině  $DCD'C'$ ) vznikají i v rovině průřezu.



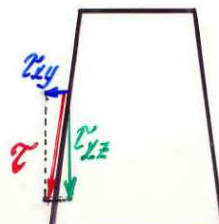
- Polohu vlákna šířky  $b$  volime tak, abychom vystihli průběhy složek  $\tau_{xz}$ ,  $\tau_{xy}$  v průřezu:



$$\tilde{\tau}_{xz} = \frac{Q_y \cdot \bar{S}_z}{I_z \cdot b_1} + \frac{Q_z \cdot \bar{S}_y}{I_y \cdot b_1}$$

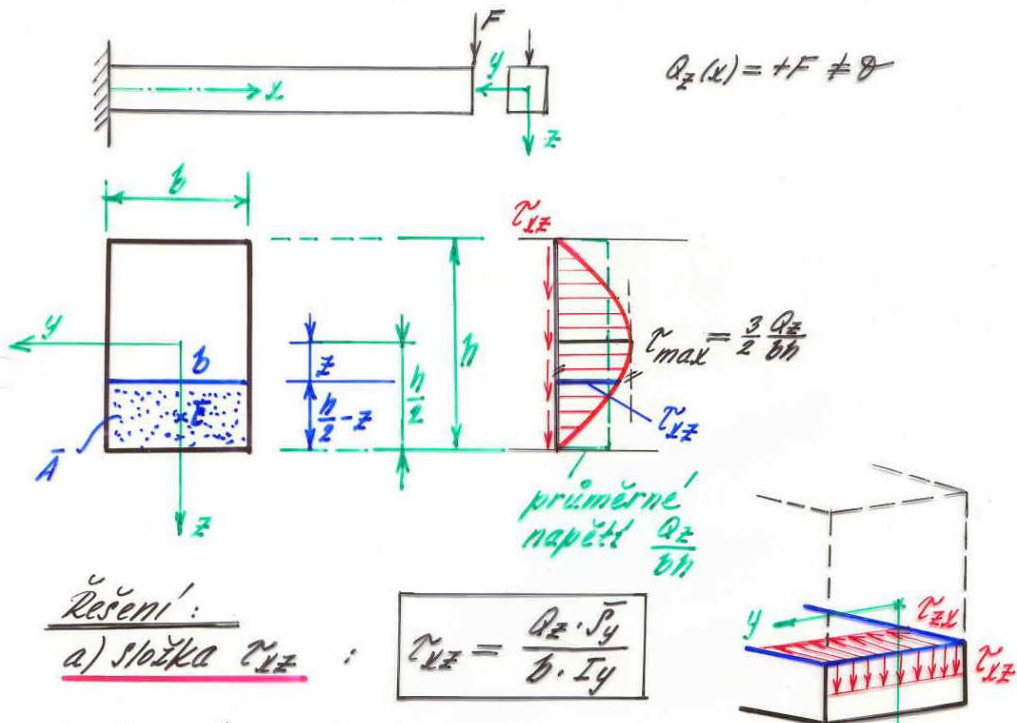
$$\tilde{\tau}_{xy} = \frac{Q_y \cdot \bar{S}_z}{I_z \cdot b_2} + \frac{Q_z \cdot \bar{S}_y}{I_y \cdot b_2}$$

- Výsledné smykové napětí  $\tau$  má na okraji průřezu směr tečný k obrysům:

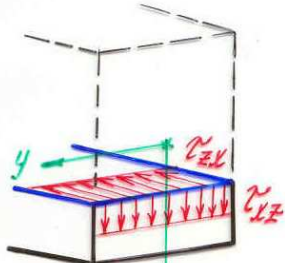


Práce

Hypoštěte rozdělení smykových napětí v obdélníkovém průřezu, který je zatížen posuvnou silou  $Q_z \neq 0$  ( $\delta_y = 0$ ).

Rешение:a) Složka  $\sigma_{xz}$ :

$$\sigma_{xz} = \frac{Q_z \cdot \bar{S}_y}{b \cdot I_y}$$

Průřezové charakteristiky:

$$\text{moment setr. } I_y \text{ celého průřezu: } I_y = \frac{1}{12} b h^3$$

$$\bar{A} = b \left( \frac{h}{2} - z \right); \quad z_c = \frac{1}{2} \left( \frac{h}{2} + z \right)$$

$$\text{statický moment odňaté části: } \bar{S}_y = \bar{A} \cdot z_c = \frac{b}{2} \left[ \left( \frac{h}{2} \right)^2 - z^2 \right]$$

Napětí:

$$\sigma_{xz} = \frac{Q_z \cdot \frac{b}{2} \left[ \left( \frac{h}{2} \right)^2 - z^2 \right]}{b \cdot \frac{1}{12} b h^3} = \frac{3}{2} \frac{Q_z}{b h^3} (h^2 - 4z^2) = \sigma_{xz,z}$$

↑ parabola 2. st.

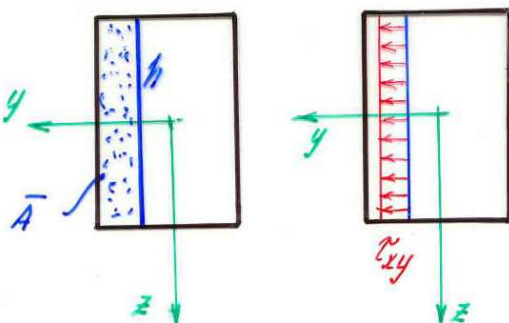
$$\sigma_{xz, \text{max}}: \frac{d\sigma_{xz}}{dz} = 0 \Rightarrow \frac{3}{2} \frac{Q_z}{b h^3} (2z - h^2) = 0$$

$\downarrow \neq 0 \quad = 0 \Rightarrow z = 0$

$$\sigma_{xz, \text{max}} = \frac{3}{2} \frac{Q_z}{b h}$$

b) Složka  $\tau_{xy}$ :

$$\tau_{xy} = \frac{\rho_x \cdot \bar{s}_y}{h \cdot I_y}$$

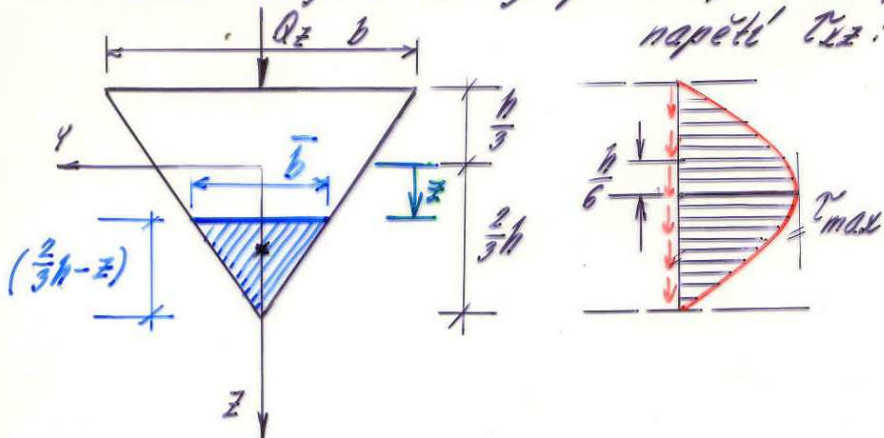


$\bar{s}_y = 0$  .... plocha  je sym. vzhledem k y!  
 $\Rightarrow \underline{\underline{\tau_{xy} = 0}}$

Poznámka:

- Výjde-li smykové napětí kladné, směřuje do plochy,  
**! z níž počítáme  $\bar{s}$ !**

Příklad: Trojúhelníkový průřez, určete průběh napětí  $\sigma_{xz}$ !



$$\sigma_{xz} = \frac{\rho_z \cdot \bar{S}_y(z)}{I_y \cdot \bar{E}(z)}$$

$$\begin{aligned}\bar{S}_y &= \frac{1}{2} \bar{b} \left( \frac{2}{3}h - z \right) \left[ \frac{1}{3} \left( \frac{2}{3}h - z \right) + z \right] \\ &= \frac{1}{2} \bar{b} \left[ \frac{1}{3} \left( \frac{2}{3}h - z \right)^2 + \left( \frac{2}{3}hz - z^2 \right) \right]\end{aligned}$$

$$I_y = \frac{1}{36} bh^3$$

$$\sigma_{xz} = \frac{\rho_z \cdot \frac{1}{2} \bar{b} \left[ \frac{1}{3} \left( \frac{2}{3}h - z \right)^2 + \left( \frac{2}{3}hz - z^2 \right) \right]}{18 \frac{1}{36} bh^3 \cdot \bar{b}}$$

$$\begin{aligned}\sigma_{xz} \Big|_{z=\frac{2}{3}h} &= 0 \\ \sigma_{xz} \Big|_{z=-\frac{1}{3}h} &= 0\end{aligned}$$

Místo extrému:

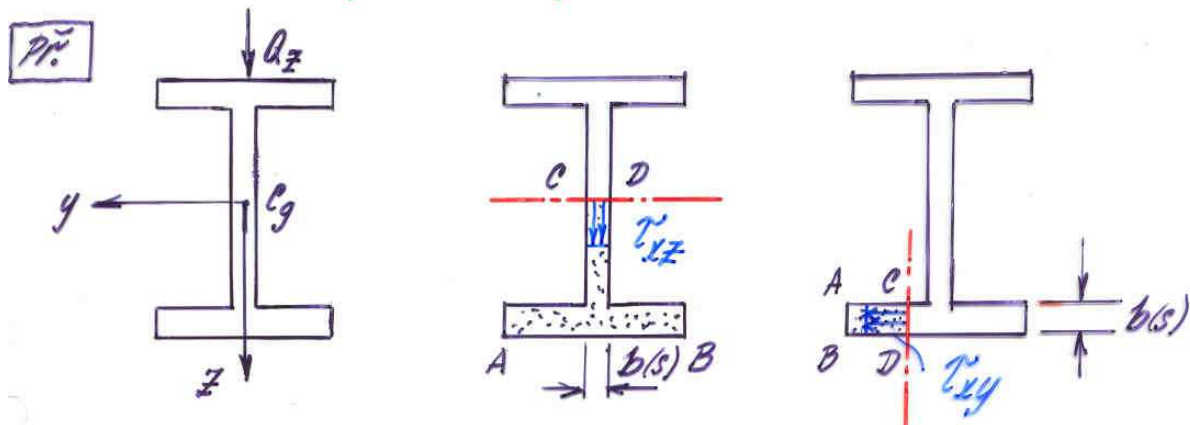
$$\begin{aligned}\frac{d\sigma_{xz}}{dz} &= \frac{\rho_z}{18 bh^3} \left[ -\frac{2}{3} \left( \frac{2}{3}h - z \right) + \frac{2}{3}h - 2z \right] = 0 \\ z &= \frac{1}{6}h\end{aligned}$$

## Smyková napětí v nosnících s členěným průřezem

dosud: průřezy bez náhlých změn

Tuhost nosníku v ohybu roste s momentem setrvacnosti

⇒ optimalizované průřezy mají podstatnou část průřez. plochy co nejdále od težiště  
(⇒ snížení hodnot  $\sigma_y$  při ohybu,  
× pozor na přenesení smyku zúženými částmi průřezu)



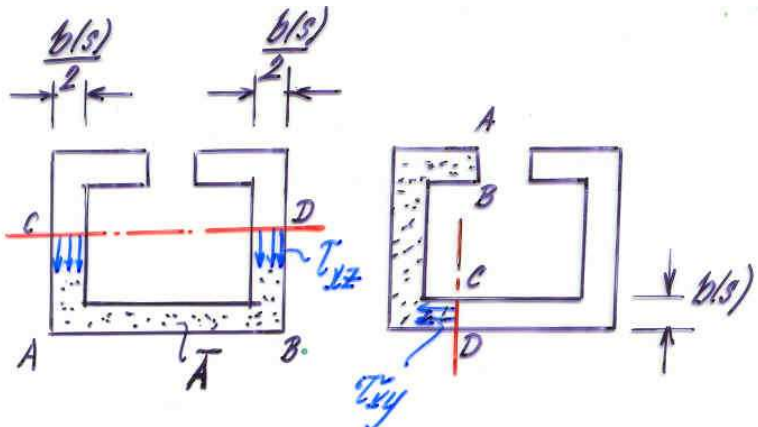
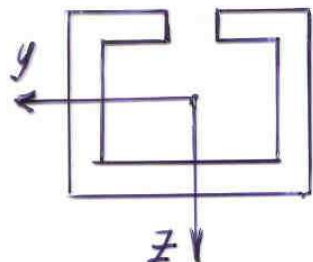
Pozn.: při odvozování vzorce pro  $\tau$  resp.  $\tau'$ , sklon podél. řezu CD byl libovolný,  
⇒ platí i pro průřezy členěné

Při zatížení  $Q_z \neq 0, Q_y = 0$ :

Smykové napětí působící  $\perp$  k CD:

$$\tau_{xs} = \frac{Q_z \cdot S_y(s)}{I_y \cdot b(s)}$$

Pr.

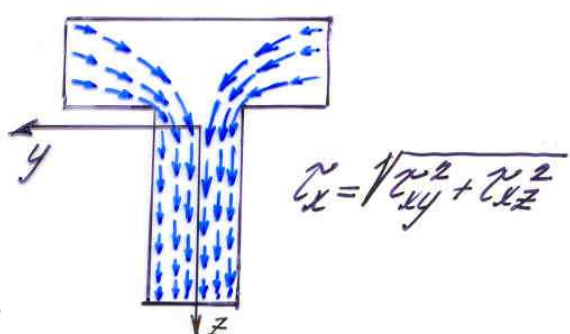
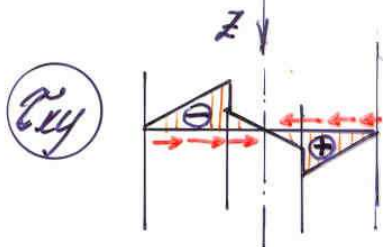
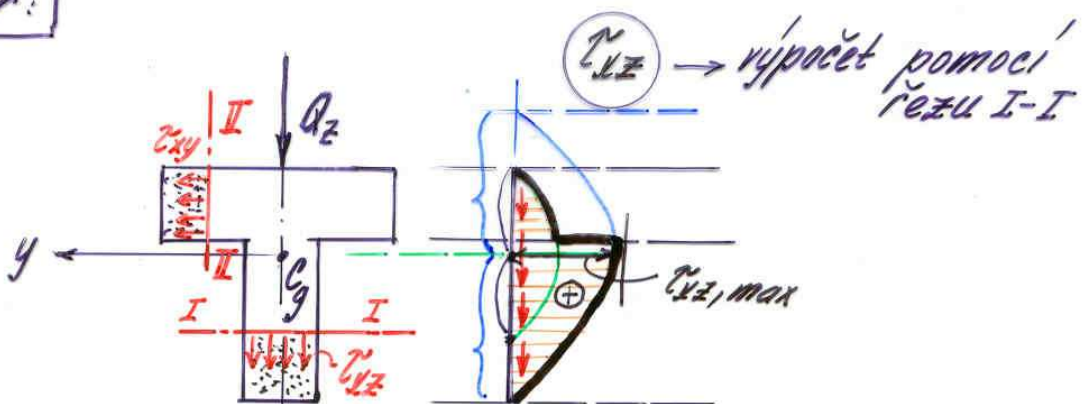


= obr. je vidět:

u vodorovných řezů:  $\sigma_{xs} = \sigma_{xz}$

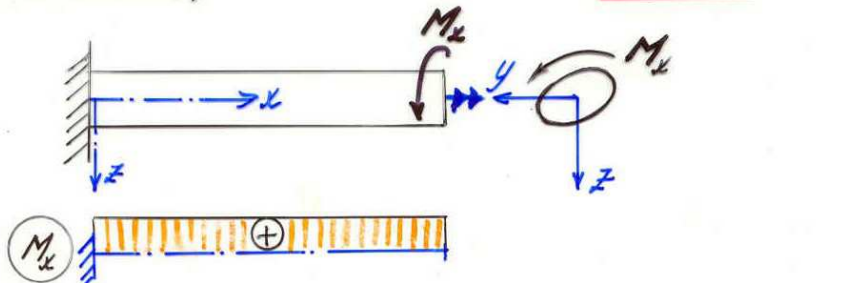
u svislých řezů:  $\sigma_{xs} = \sigma_{xy}$

Pr.



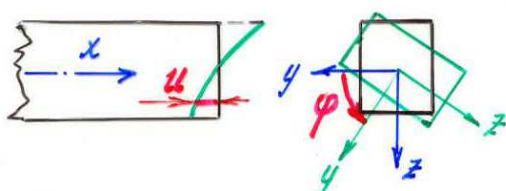
## Volné kroucení prutů

nastává, působí-li na průřez  $M_x \neq 0$

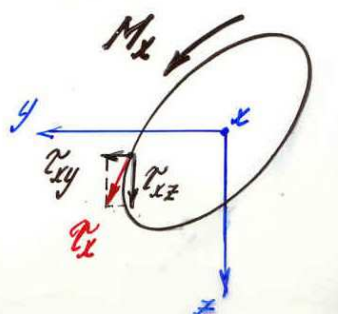


sou-ti ostatní vnitřní síly ( $M_y, M_z, Q_y, Q_z, N_x$ ) nulové  
⇒ prosté kroucení

účinek  $M_x$       průřezy se natáčejí kolem x ( $\varphi$ )  
                                ve směru osy x se zprohýbají  
                                = deplanují ( $u$ )

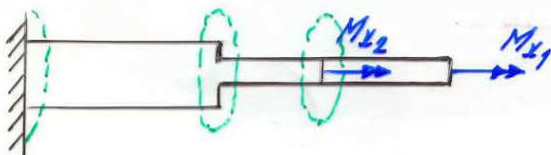


- Pokud deplanace probíhá volně ⇒ volné kroucení  
(Saint-Venantovo)  
vznikají pouze smyk. napětí  $\tau_{xy}, \tau_{xz}$



$\tau_x$  na hraniči průřezu má'  
směrtečný k obrysové  
křivce

- Volná deplanace obyčejně omezena  $\Rightarrow$  ohybové, kroucení  
 (např. veknutím, změnou průřezu, změnou  $M_L \dots$ )  
 v průřezu vzniká:  $\varepsilon_y, \varepsilon_z, \tilde{\varepsilon}_x$



- Rozdíl mezi masivními a tenkostěrnými průřezy:
- masivní - deplanuje málo (nebo vůbec)  $\Rightarrow \tilde{\varepsilon}_x \ll \varepsilon \Rightarrow \tilde{\varepsilon}_x \doteq 0$  ( $\tilde{\varepsilon}_x$  lze zanedbat)

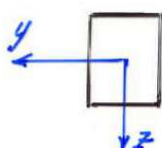
tenkostěrné (zejména otevřené) deplanuje znacně, omezení deplanace je výrazné  
 $\Rightarrow \tilde{\varepsilon}_x \dots$  významné!

$\rightarrow$  kroucení se počítá jako volné

## 1. Volné kroucení prutu s průřezem masivním

- Předpoklady výpočtu:  $\bar{G}_x = \bar{G}_y = \bar{G}_z = \bar{\epsilon}_{yz} = 0$

a) Průřez nemění svou tvaru velikost

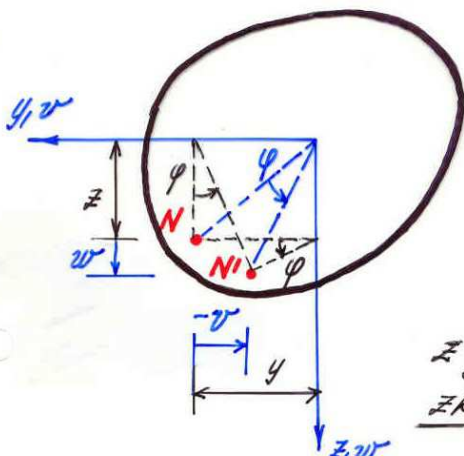


$$\underline{\epsilon_y = \epsilon_z = \gamma_{yz} = 0} \quad (\bar{G}_y = \bar{G}_z = \bar{\epsilon}_{yz} = 0)$$

b)  $\epsilon_x = 0$  ( $\bar{\epsilon}_x = 0$ )

- Kinematika pohybu průřezu (jako tuhé deska v rovině)

$N[y, z]$  ... sledovaný bod



$$\begin{aligned} u &= u(x, y, z) \\ -v &= z \cdot \varphi(x) \\ w &= y \cdot \varphi(x) \end{aligned}$$

z geometrických rovnic  
z kosení v podélných rovinách:

$$\begin{aligned} \kappa_{xy} &= \frac{\partial u}{\partial y} + \frac{\partial v}{\partial x} = \frac{\partial u}{\partial y} - z \cdot \boxed{\frac{d\varphi(x)}{dx}} = \frac{\partial u}{\partial y} - z \theta(x) \\ \kappa_{xz} &= \frac{\partial u}{\partial z} + \frac{\partial w}{\partial x} = \frac{\partial u}{\partial z} + y \cdot \boxed{\frac{d\varphi(x)}{dx}} = \frac{\partial u}{\partial z} + y \theta(x) \end{aligned}$$

$$\boxed{\theta(x) = \frac{d\varphi(x)}{dx}} \dots \text{relativní } \neq \text{zkroucení}$$

$\varphi(x)$  ... skutečný  $\neq$  zkroucení

$u(x, y, z)$  ... volí se jako součin dvou funkcí:

$$\underline{u(x, y, z) = \theta(x) \cdot \psi(y, z)}$$

$\psi(y, z)$  ... deplanacní funkce

Poznámka:

Předpoklad b):  $E_x = 0$  ( $\frac{\partial u}{\partial x} = 0$ ) je splněn, když budou

$\theta(x) = \text{konst.} \Rightarrow \theta' = 0$

nebo:  $\psi(y, z) = 0$  (t.j. průřezy, které nedeplanují)

### • Napětí' z fyzikálních rovnic

$$\tilde{\epsilon}_{xy} = G \cdot \mu_{xy} = G \left( \frac{\partial u}{\partial y} - x \theta'(x) \right) = G \theta' \left( \frac{\partial \psi}{\partial y} - x \right)$$

$$\tilde{\epsilon}_{xz} = G \cdot \mu_{xz} = G \left( \frac{\partial u}{\partial z} + y \theta'(x) \right) = G \theta' \left( \frac{\partial \psi}{\partial z} + y \right)$$

Statické rovnice (objemové síly  $x, y, z$  jsou nulové)

$$\cancel{\frac{\partial \tilde{\epsilon}_x}{\partial x}} + \cancel{\frac{\partial \tilde{\epsilon}_{xy}}{\partial y}} + \cancel{\frac{\partial \tilde{\epsilon}_{xz}}{\partial z}} + \cancel{x} = 0 \quad \tilde{\epsilon}_x = 0, \quad x = 0$$

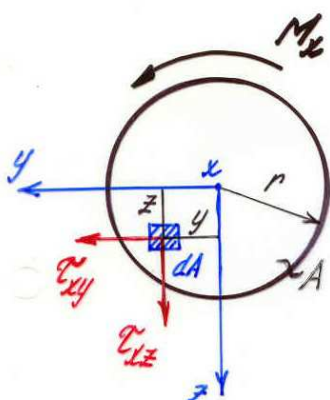
$$\cancel{\frac{\partial \tilde{\epsilon}_{xy}}{\partial x}} + \cancel{\frac{\partial \tilde{\epsilon}_y}{\partial y}} + \cancel{\frac{\partial \tilde{\epsilon}_{yz}}{\partial y}} + \cancel{y} = 0 \quad \tilde{\epsilon}_y = \tilde{\epsilon}_{zy} = y = 0$$

$$\cancel{\frac{\partial \tilde{\epsilon}_{xz}}{\partial x}} + \cancel{\frac{\partial \tilde{\epsilon}_{yz}}{\partial y}} + \cancel{\frac{\partial \tilde{\epsilon}_z}{\partial z}} + \cancel{z} = 0 \quad \tilde{\epsilon}_{yz} = \tilde{\epsilon}_z = z = 0$$

## 1a) Kroucení prutu s kruhovým průřezem

Průřezy kruhové a mezikruhové nedoplňují ( $\alpha = 0$ )

$$\psi(y_1, z) = 0$$



$$I_p = I_y + I_z = \frac{\pi r^4}{2}$$

$$\tilde{\epsilon}_{xy} = -G\partial_z z$$

$$\tilde{\epsilon}_{xz} = G\partial_y z$$

$\alpha$  lze vyjádřit pomocí  $M_z$

Podmínka ekvivalence:

$$M_z = \iint_A (\tilde{\epsilon}_{xz} \cdot y - \tilde{\epsilon}_{xy} \cdot z) dA$$

$$= G\partial_z \iint_A (y^2 + z^2) dA$$

$I_p \dots$  polární moment  
retrovačnosti

$$= G\partial_z(k) I_p$$

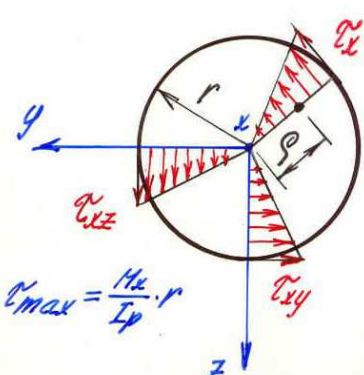
$$\Rightarrow \alpha = \frac{M_z}{G I_p} = \frac{dy}{dx}$$

diferenciáln. rov. volného kroucení  
(získáme integraci dif. r.)

Napětí:

$$\tilde{\epsilon}_{xy} = -\frac{M_z}{I_p} \cdot z$$

$$\tilde{\epsilon}_{xz} = +\frac{M_z}{I_p} \cdot y$$

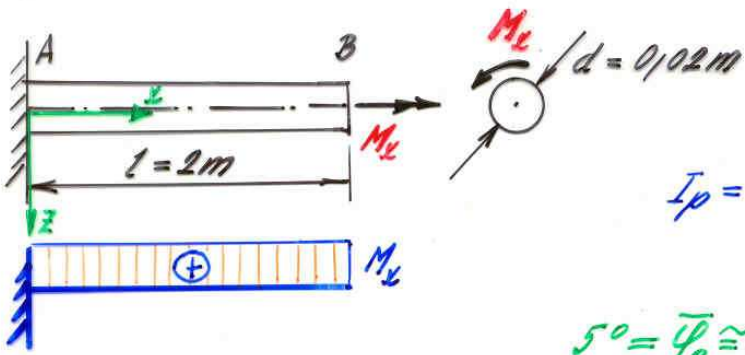


$$\epsilon_{max} = \frac{M_z}{I_p} \cdot r$$

$$\text{Výsledné smyk. napětí } \tilde{\epsilon}_x = \sqrt{\tilde{\epsilon}_{xy}^2 + \tilde{\epsilon}_{xz}^2}$$

$$\Rightarrow \tilde{\epsilon}_x = \frac{M_z}{I_p} \cdot \rho$$

Príklad: Jak veľkým kroužecím momentom je možno namáhať tyč s  $\phi = 20\text{ mm}$ , nemať li smykoré napäť prekročiť  $\bar{\sigma} = 50 \text{ MPa}$  a nemať li byť pootočení v B väčšie než  $5^\circ$  ( $G = 0,8 \cdot 10^5 \text{ MPa}$ )



$$I_p = 2 \cdot I_x = 2 \cdot \frac{\pi r^4}{4}$$

$$5^\circ = \bar{\varphi}_B \approx \tan \bar{\varphi}_B = 0,0874$$

Riešenie

a) pernosťná podmínka:

$$\begin{aligned} \bar{\sigma}_x &= \frac{M_x}{I_p} \cdot r \leq \bar{\sigma} \\ \Rightarrow M_x &\leq \frac{\bar{\sigma} \cdot I_p}{r} = \frac{50 \cdot 1,57 \cdot 10^{-8}}{0,01} = \underline{\underline{7,854 \cdot 10^5 \text{ MNm}}} \end{aligned}$$

b) deformačná podmínka:

$$\alpha = \frac{d\varphi}{dx} = \frac{M_x}{G I_p}$$

$$\text{integraci} \quad \varphi(x) - \varphi_A = \frac{M_x \cdot x}{G I_p}$$

$$\text{v prúreze B (}x=l\text{)}: \quad \varphi_B = \frac{M_x \cdot l}{G I_p} \leq \bar{\varphi}_B$$

$$\Rightarrow M_x \leq \bar{\varphi}_B \frac{G I_p}{l} = 0,0874 \cdot \frac{0,8 \cdot 10^5 \cdot 1,57 \cdot 10^{-8}}{2} = \underline{\underline{5,492 \cdot 10^{-5} \text{ MNm}}}$$

## 1b) Prut s nekruhovým maximálním průřezem

Elementární výpočet jako pro kruh nelze použít.

### Výsledky přibližného řešení:

- Přetvarení:

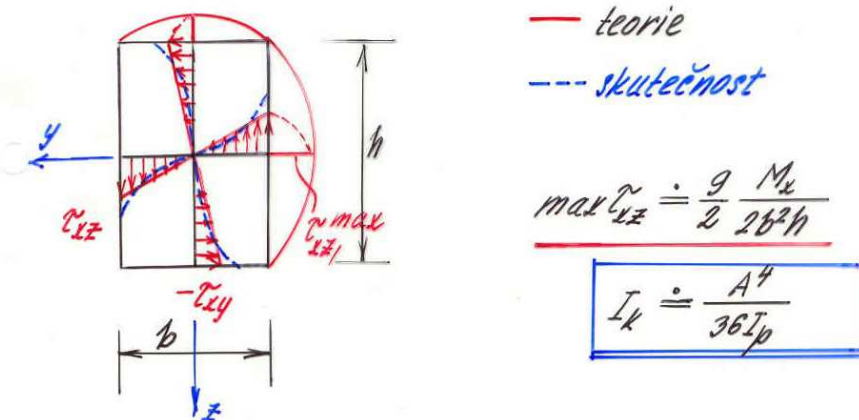
$$\alpha = \frac{M_x}{G I_k}$$

$I_k$  ( $I_t$ ) ... moment tuhosti průřezu ve volném kroucení  
např. přibližný Saint Venantův vzorec

$$I_k \doteq \frac{A^4}{40 I_p}$$

$A$  ... plocha průřezu  
 $I_p = I_y + I_z$  ... polární moment  
ztrávačnosti

- Napětí v obdélníkovém průřezu



$$\max \sigma_{xz} \doteq \frac{g}{2} \frac{M_x}{2b^2 h}$$

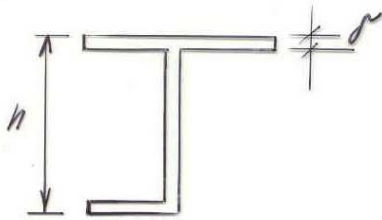
$$I_k \doteq \frac{A^4}{36 I_p}$$

- Úzký obdélník:  $h \gg b \Rightarrow \frac{b}{h} \ll 1$



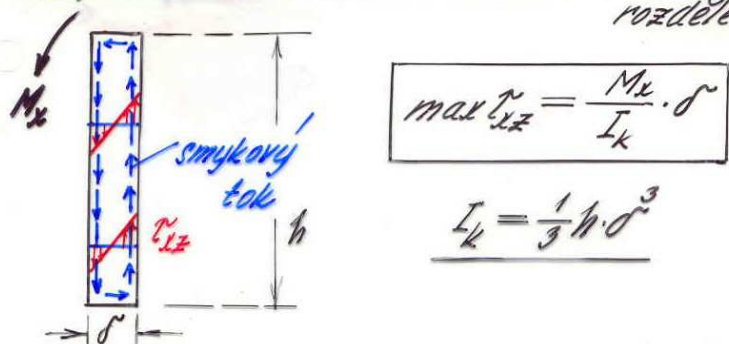
$$I_k \doteq \frac{1}{3} h \cdot b^3$$

## 2. Volné kroucení prutů s tenkostěnným otevřeným průřezem (orientačně: $\delta : h : l = 1 : 10 : 100$ )

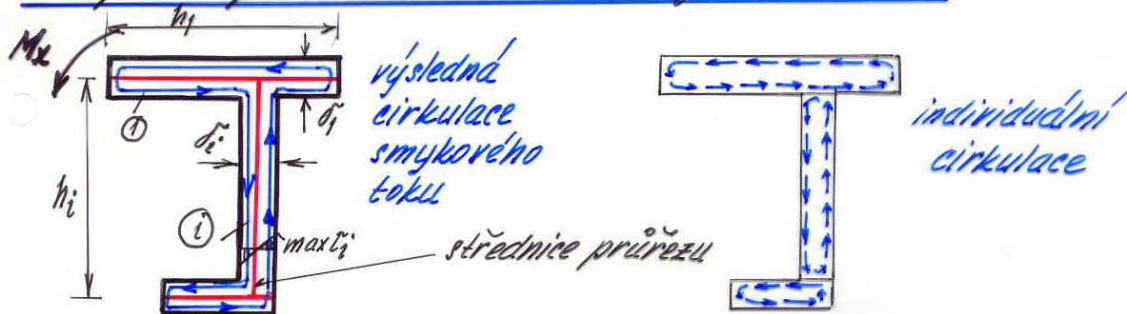


- Volné kroucení vzniká jako složka kroucení ohybového.
- Základem řešení - úzké obdélníky.

- Napětí v úzkém obdélníku - smyk. napětí nerovnoměrně rozdělena po tloušťce



- Napětí v průřezu složeném z úzkých obdélníků



Přetvoření:  $\theta = \frac{d\phi}{dx} = \frac{M_x}{G I_k}$        $I_k = \frac{1}{3} \sum_i h_i \cdot \delta_i^3$

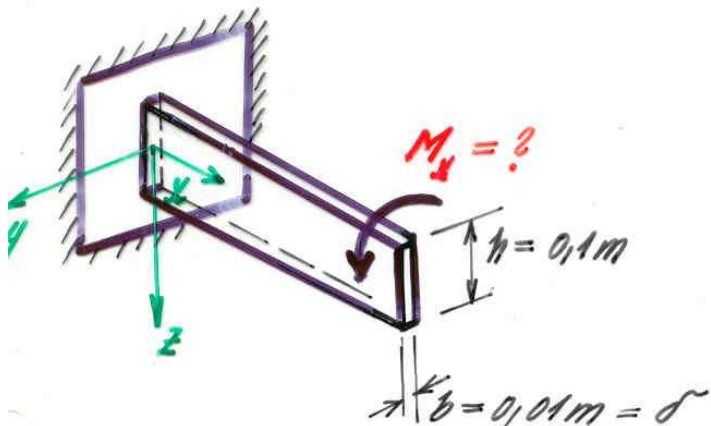
Celý průřez přenese moment:  $M_x = \sum_i M_{x,i} = G \theta \frac{1}{3} \sum_i h_i \cdot \delta_i^3$

Napětí v i-te rámci

(max. hodnota  $\tau_i$  jen na okraji):  $\max \tau_i = \frac{M_x}{I_k} \cdot \delta_i$

**Pr.**

Jak velkým kroužicím momentem  $M_x$  je možno namáhat prut na obr., nemá-li  $\tau_{max}$  překročit  $50 \text{ MPa}$ . ( $G = 0,8 \cdot 10^5 \text{ MPa}$ )



$$\tau_{max} = \frac{M_x}{I_k} \cdot \frac{r}{b}$$

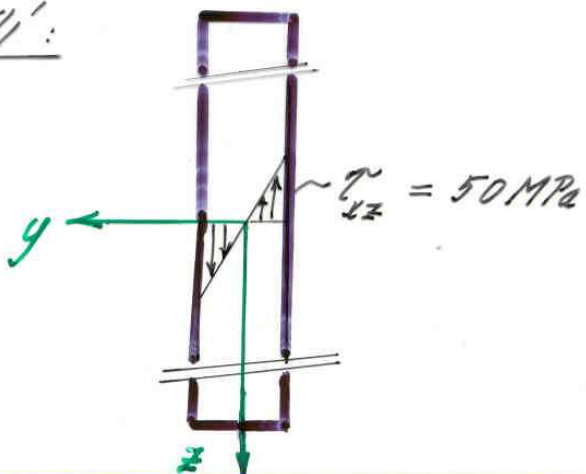
Rешение:  $M_x \leq \frac{\tau_{max} I_k}{b}$

$$I_k = \frac{1}{3} b^3 \cdot h = \frac{1}{3} \cdot 0,01^3 \cdot 0,1 = 3,33 \cdot 10^{-8} \text{ m}^4$$

$$M_x \leq \frac{50 \cdot 3,33 \cdot 10^{-8}}{0,01} = 1,666 \cdot 10^7 \text{ MNm}$$

$$= \underline{\underline{0,167 \text{ kNm}}}$$

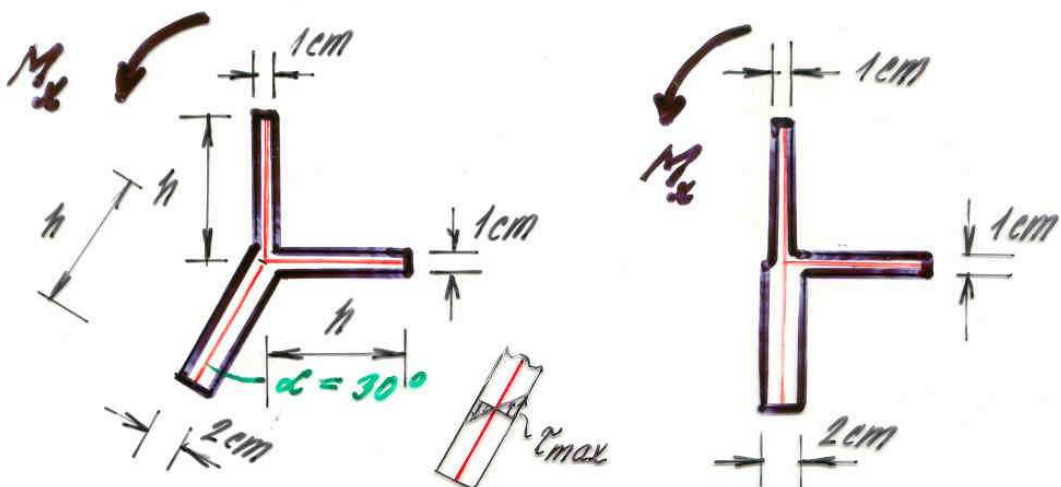
Průběh napětí:



**Pr.**

Posudte, který z průřezů na obr. má větší tuhost v kroucení a který bude mít největší namáhaní, bude-li přenášet kroucicí moment  $M_x = 0,5 \text{ kNm}$ .

Všechny větve jsou dlouhé  $h = 0,1 \text{ m}$ .



**Řešení:**

Z hlediska kroucení jsou oba průřezu ekvivalentní.

Moment tuhosti stejný:

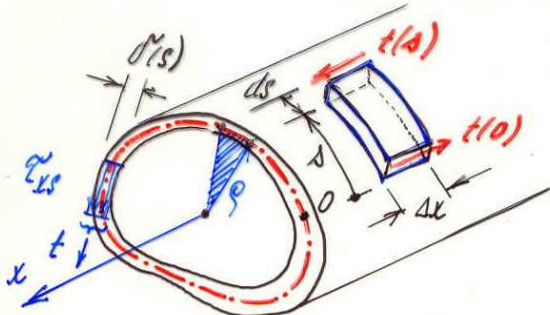
$$I_K \doteq \frac{1}{3} \sum h_i \cdot \delta_i^3 = \frac{1}{3} \cdot 0,1 (0,01^3 + 0,01^3 + 0,02^3) = \\ = \underline{\underline{3,333 \cdot 10^{-7} \text{ m}^4}}$$

Nejvíce namáhaná nejsilnější větve ( $\delta = 0,02 \text{ m}$ )

$$\sigma_{\max} = \frac{0,5 \cdot 10^{-3}}{3,33 \cdot 10^{-7}} \cdot 0,02 = \underline{\underline{30 \text{ MPa}}}$$

$$\sigma(\delta=0,01) = -" \cdot 0,01 = 15 \text{ MPa}$$

### 3. Volné kroucení prutu s tenkostěnným průřezem uzavřeným.



Podmínka rovnováhy sil působících na element délky  $\Delta x$  ( $\sum_t = 0$ )

$$\begin{aligned} \sum_t : t(s) - t(0) &= 0 \\ \Rightarrow t(s) &= t(0) = \text{konst.} \end{aligned}$$

Předpoklad:  $t_{es}$  je po tloušťce průřezu konstantní,  
(podobně smyk za chybu)  
ma směr tečny ke střednici průřezu

$$\underline{t = t_{es}(s) \cdot \delta(s) = \text{konst.}} \quad \underline{\text{Smykoryž tak v průřezu je konstantní}}$$

Moment od elementární smyk. síly  $t \cdot ds$  kolem x :

$$\sum_x : dM_x = t \boxed{ds \cdot r} = t \cdot ds$$

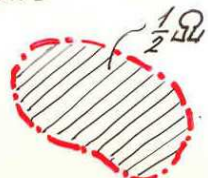
$ds \dots \text{dvojnásobek plochy výseče } \frac{1}{2} \Omega_s \quad \frac{1}{2} ds$

1. výpočetní vzorec (pro výsl. moment přenásený průřezem)

$$\boxed{M_x = t \cdot S_R} = t \cdot \oint ds$$

$$\underline{S_R = \oint s \cdot ds} \dots \text{dvojnásobek plochy opsané střednicí průřezu}$$

$s \dots \text{průvodic}$



## 2. Bredtův vzorec (pro relativní zkroucení $\alpha$ )

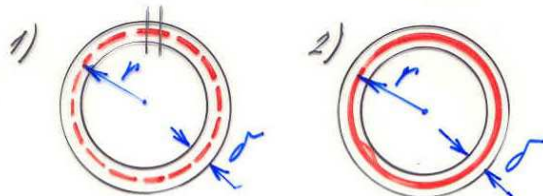
$$\alpha = \frac{M_x}{G I_k}$$

$$I_k = \frac{\rho^2}{\oint \frac{ds}{J(s)}}$$

moment tuhosti ve volném  
kroucení

! Torzní tuhost  $G I_k$  je u uzavřených průřezů  
mnohonásobně vyšší nežli u průřezů otevřených.

Příklad: Porovnejte torzní tuhost dule trubky související a rozříznuté



1) otevřený průřez



$$\underline{I_k^{(1)}} = \frac{1}{3} \cdot 2\pi r \cdot \delta^3 = \frac{2}{3} \pi r \delta^3$$

$$(Použit vz.: I_k = \frac{1}{3} l \cdot \delta^3)$$

2) uzavřený průřez:

$$\underline{I_k^{(2)}} = \frac{\cancel{\phi} \frac{\delta^2}{\delta}}{\cancel{\phi} \frac{ds}{\delta}} = \frac{(2 \cdot \pi r^2)^2}{2\pi r} = \frac{2\pi r^3 \delta}{\delta}$$

Pro tenkostěnné průřezy platí kriterium

$$\frac{2r}{\delta} > 10 \Rightarrow \underline{\frac{r}{\delta} > 5}$$

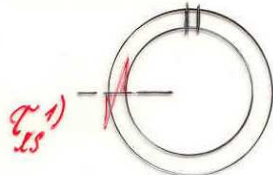
Porovnání tuhostí  $I_k^{(2)}$ ,  $I_k^{(1)}$ :

$$\underline{\frac{I_k^{(2)}}{I_k^{(1)}}} \geq \frac{2\pi r^3 \delta}{\frac{2}{3} \pi r \delta^3} = 3 \cdot \frac{r^2}{\delta^2} = 3 \cdot 5^2 = \underline{\underline{75}}$$

## Porovnání max $\tau_{xs}$ :

### 1) otevřený průřez:

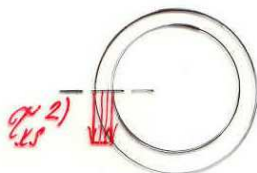
$$\underline{\max \tau_{xs}^{(1)}} = \frac{M_x}{I_k^{(1)}} \delta^* = \frac{M_x \cdot \delta^*}{\frac{2}{3} \pi r^3} = \frac{3}{2} \frac{M_x}{\pi r \delta^*}$$



### 2) uzavřený průřez:

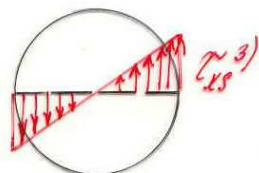
$$\underline{\max \tau_{xs}^{(2)}} = \frac{M_x}{2(\pi r^2) \cdot \delta^*}$$

$$M_x = t \cdot \Delta Q = \tau_{xs}^{(2)} \cdot \delta^* \cdot 2(\pi r^2)$$



### 3) plný kruhový průřez:

$$\underline{\max \tau_{xs}^{(3)}} = \frac{M_x}{I_p} \cdot r = \frac{M_x \cdot r}{\frac{\pi r^4}{2}} = \frac{2M_x}{\pi r^3}$$



## Porovnání napětí

$$\frac{\max \tau_{xs}^{(3)}}{\max \tau_{xs}^{(2)}} = \frac{\frac{2M_x}{\pi r^3}}{\frac{M_x}{2\pi r^2 \cdot \delta^*}} = \frac{4\delta^*}{r} \leq \frac{4}{5}$$

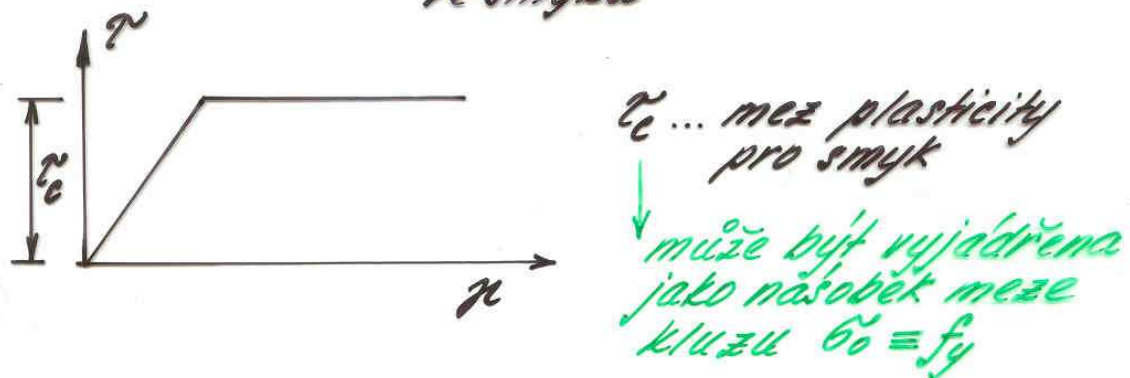
Napětí v průřezu masivním a tenkostěnném uzavřeném  
jsou rádově srovnatelná,  
ale v průřezu otevřeném tenkostěnném  
jsou napětí o rád vyšší!

$$\frac{\max \tau_{xs}^{(2)}}{\max \tau_{xs}^{(1)}} = \frac{1}{3} \frac{\delta^*}{r} \leq \frac{1}{15} \Rightarrow \underline{\max \tau_{xs}^{(1)} \geq 15 \cdot \tau_{xs}^{(2)}}$$

$\hat{r} \geq 5$

Kroucení prutů s kruhovým průřezem  
v pružnoplasticickém stavu:

Třípokládáme: pružnoplasticický materiál ve smyku



Působi-li v průřezu jak  $\tilde{\sigma}_x$ , tak  $\tilde{\tau}_{xy}$ ,  $\tilde{\tau}_{xz}$ , rozhoduje o přechodu z pružného do plastického stavu v bodě „jista“ kombinace těchto napětí, tzn. podmínka plasticity.

Pro kory: podmínka H-M-H  
(Huber-Hisres-Hencky)

$$\tilde{\sigma}_s = \sqrt{\tilde{\sigma}_x^2 + 3\tilde{\tau}_{xy}^2} = \sigma_0 = f_y$$

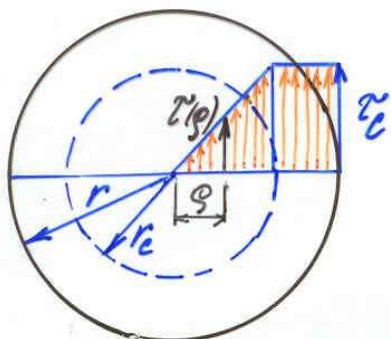
↓ srovnávací napětí

$$\tilde{\tau}_x = \sqrt{\tilde{\tau}_{xy}^2 + \tilde{\tau}_{xz}^2}$$

působi-li v průřezu pouze  $M_x = T$  ( $\tilde{\sigma}_x = 0$ ):

$$\tilde{\tau}_c \sqrt{3} = \sigma_0 \Rightarrow \tilde{\tau}_c = \frac{\sigma_0}{\sqrt{3}}$$

Rozdělení snykorič napětí po průřezu při pružnoplastickém namáhání:



$$\frac{\sigma(\rho)}{\sigma} = \frac{r_e}{\rho} \Rightarrow \sigma(\rho) = \frac{r_e \sigma}{\rho}$$

$$dA = 2\pi\rho \cdot d\rho$$

Podmínka ekvivalence:

$$M_x = T = \int_{\rho \leq r_e} \sigma(\rho) \rho dA + \int_{\rho \geq r_e} \sigma_c \rho dA$$

$\underbrace{\rho \leq r_e}_{\text{"pružná" část průřezu}}$        $\underbrace{\rho \geq r_e}_{\text{"zplastizovaná" část průřezu}}$

$$M_x = \frac{\sigma_c \pi}{6} (4r^3 - r_e^3)$$

2mezni hodnoty:

a) kroucici moment na mezi pružného (elastického) namáhání ( $r_e = r$ ):

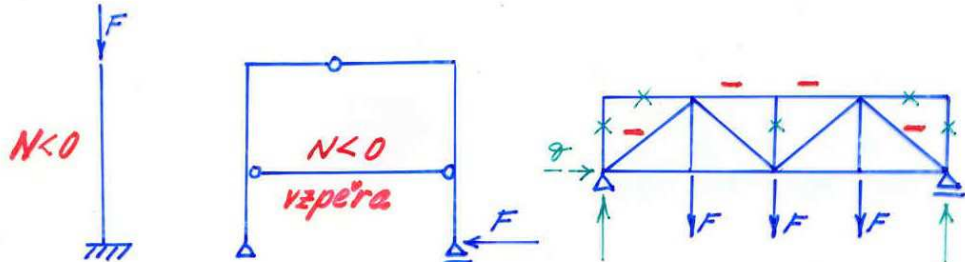
$$M_{x,e} = \frac{\pi r^3}{2} \sigma_c$$

b) plně zplastizovaný průřez ( $r_e = 0$ )

$$M_{x,pl} = \frac{2 \pi r^3}{3} \sigma_c$$

## Stabilita přímých prutů

- štíhlé pruty namáhané tlakovou osovou silou jsou ohroženy ztrátou stability  
(vybočení takto namáhaných prutů je jedna z nejčastějších příčin porušení mostních konstrukcí i kci' poz. sítavitele)



### Charakteristika porušení konstrukce při ztrátě stability:

- 1) Ke zůstává neporušená, pokud tlakové osové sily v prutech nedosáhnou jisté, pro daný prut zcela specifické hodnoty ( $F_k$ ).
- 2) Po překročení této hodnoty se prut zřetelně prohne (vybočí) (vzhledem k velikosti příhybu prut není schopen plnit statickou funkci v konstrukci) nastává zkroutení, kolaps
- 3) Při zkroutení (ztrátě stability) krajje značnou úlohu faktor času.

Problém namáhaní štíhlých prutů tlakovou osovou silou se označuje jako vzpěr.

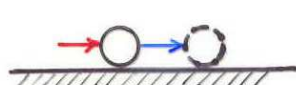
## Definice pojmu stabilita

↳ znamená kvalitu rovnováhy

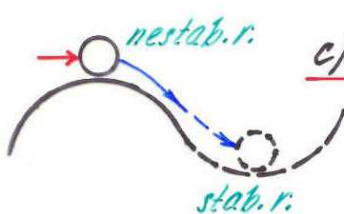
### • Stabilita těch jich objektů



a) stabilní rovnováha

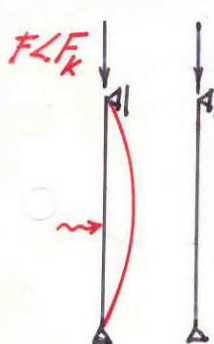


b) indiferentní rovnováha

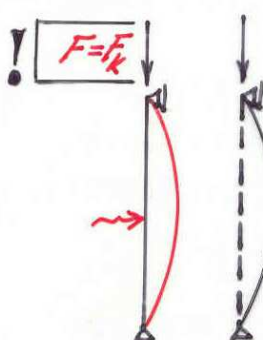


c) labilní rovnováha

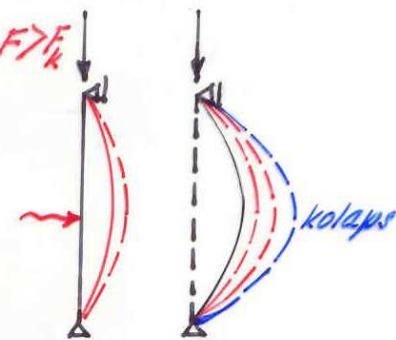
### • Stabilita pružných soustav - ideální prut



a) stabilní rovnováha



b) indiferentní rov.



c) labilní rov.

### Řešení stability skutečného prutu

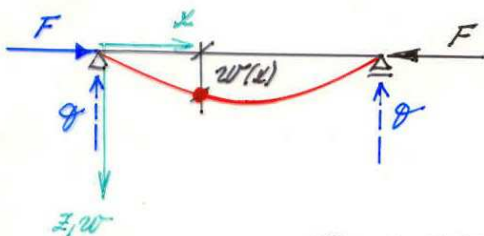
Nutno rozlišovat mezi původní a deformovanou krí.  
Stabilitní výpočty - podle teorie II. řádu.

### Teorie II. řádu:

Posuny u ve směru střednice  $\zeta$  a rotace  $\varphi_y$   
zůstávají malé, pruhyby  $w$  jsou velké

↓  
nejsou zanedbatelné vzhledem  
k základním rozmerům kce

⇒ Podmínky rovnováhy je nutno sestavovat  
na deformované konstrukci!



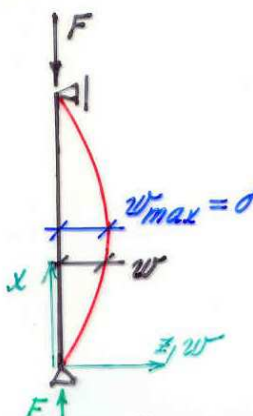
Teorie I. řádu :  $M(x) = \theta$

Teorie II. řádu :  $M(x) = F \cdot w(x)$

↓  
restaveno k bodu  
na deformované střednici

## Matematický model:

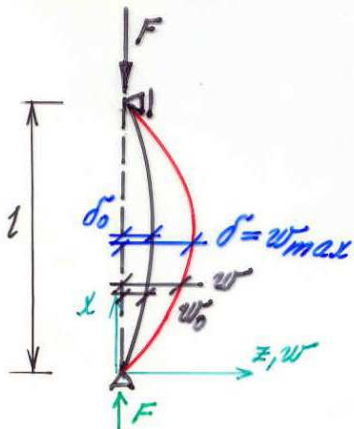
### Ideální prut



- dokonale přímý
- dokonale centricky zatížený a uložený
- slouží k určení tzv. kritického břemene  $F_k$
- k vybočení je třeba přičného impulu (přičná síla, nerovnoměrná teplota)

$$\frac{1}{\rho} \doteq -w'' = \frac{M_y}{EI_y} \quad [M_y = F \cdot w]$$

### Skutečný prut



- má jisté odchylyky (imperfekce)  $w_0$  od ideálního geometrického tvaru (mají náhodný charakter)
- odchylyky  $\delta$  jsou malé  
 $(\frac{1}{500} \div \frac{1}{1000}) t$   
odlišná kvalita namáhaní  
→ kombinace tlaku s ohybem

$w_0(\delta_0)$  ... počáteční průhýb (amplituda průhýbu)

$w(\delta)$  ... konečný průhýb (amplituda průhýbu)

$\frac{1}{\rho_0}$  ... počáteční křivost

$\frac{1}{\rho}$  ... konečná křivost

$\frac{1}{\rho} - \frac{1}{\rho_0}$  ... změna křivosti vytvořená ohyb. momentem

$$M_y = F \cdot w$$

dif. rovnice  
ohyb. čáry :

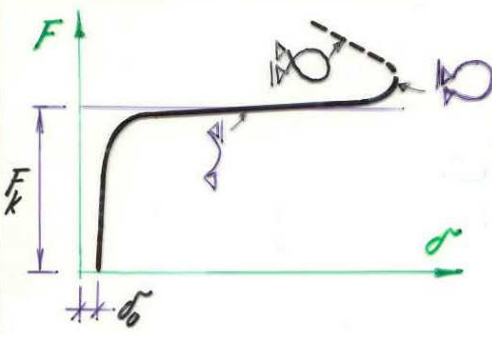
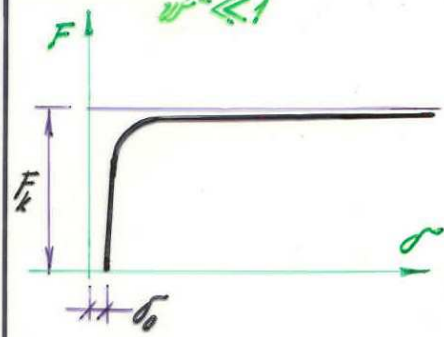
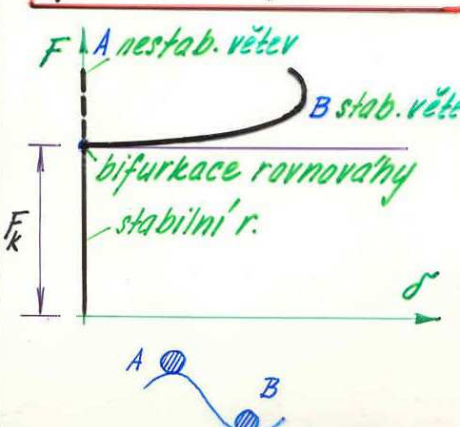
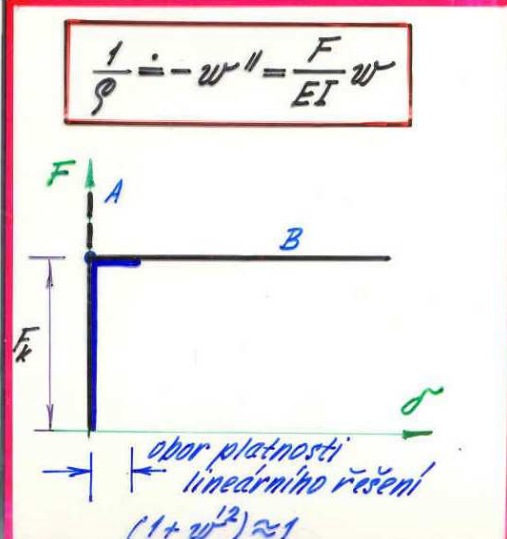
$$\frac{1}{\rho} - \frac{1}{\rho_0} = \frac{F \cdot w}{EI_y}$$

Poznatky o chování tláčených štíhlých prutů  
lze získat:

a) z teorie geometricky nelineární  
(nelineární závislost mezi silami a posuny)

b) z teorie geometricky lineární (zjednodušené)

### Přehled základních výsledků teorie stability

	nelineární teorie	lineární teorie
prut imperfektní	$\frac{1}{\theta} - \frac{1}{\theta_0} = \frac{M}{EI}$ $-\frac{w'''}{(1+w'^2)^{3/2}} + w''' = \frac{F}{EI} w$ 	$\frac{1}{\theta} - \frac{1}{\theta_0} = \frac{M}{EI}$ $\frac{1}{\theta_0} = -w'''$ $-(w''' - w'''_0) = \frac{F}{EI} w$ 
prut ideální	$\frac{1}{\theta} = -\frac{w'''}{(1+w'^2)^{3/2}} = \frac{F}{EI} w$ 	$\frac{1}{\theta} = -w''' = \frac{F}{EI} w$ 

nelineární řešení  $\Rightarrow$  velké deformace

$$\frac{1}{\rho} = - \frac{w''}{(1+w'^2)^{3/2}}$$

nutno použít pro zakřivené pruty (oblouky)

lineární řešení  $\Rightarrow$  malé deformace  
(t.j. teorie 1. řádu)

$$\frac{1}{\rho} \approx -w'' \text{ nebo } 1 + w'^2 \approx 1$$

$$(w'' - w_0'') + \frac{F}{E\delta} w = 0 \Rightarrow | \delta = \frac{\delta_0}{1 - \frac{F}{E\delta_0}}$$

lze použít pro přímé pruty  
a prutové soustavy tvorící ortogonální  
systém (rdmové konstrukce)

## Výpočet kritických sil při různých způsobech podepření ideálního prutu

Při různých způsobech podepření prutu → změní se hodnota kritického břemene  $F_k$

Přidáním podpor (vazeb) zvýší se tuhost prutu  
⇒ vzroste hodnota  $F_k$

### 2 základní metody výpočtu $F_k$

#### 1) Geometrická (Eulerova) metoda → přesná

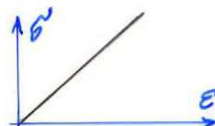
Vyžaduje sestavení a řešení diferenciální rovnice ohybové čáry.

#### 2) Energetická (Ritzova) metoda → přibližná

Založena na porovnání energie vnitřních a vnějších sil.

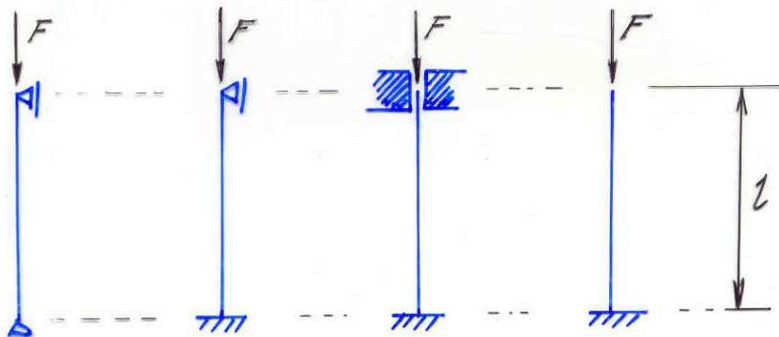
#### základní předpoklady (obou metod)

- lineárně pružný materiál
- deformace  $\epsilon$  jsou dostatečně malé (nikoliv průhyby  $w$ )
- rovnováha na deformovaném prutu



## 1. Geometrická (Eulerova metoda)

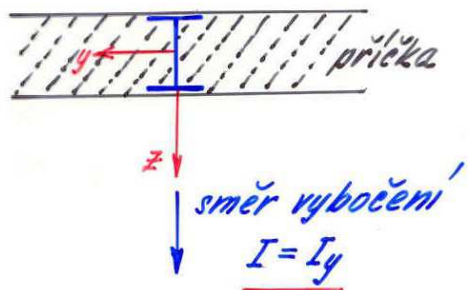
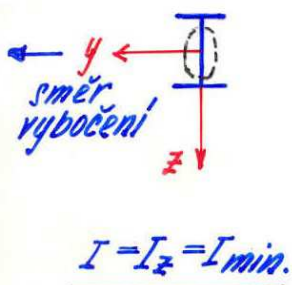
Euler odvodil výrazy pro kritické břemeno ve čtyřech tzv. základních Eulerových případech (t.j. pruty s konstantním průřezem a konstantní normálovou silou):



Obecně používaný vzorec:

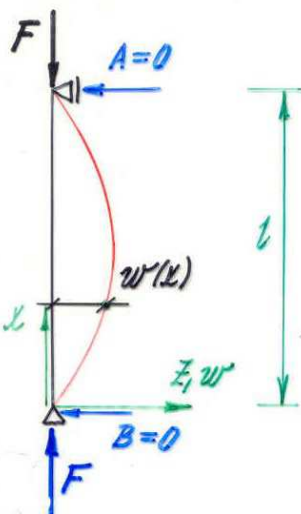
$$F_k = EI \frac{\pi^2}{L^2}$$

$I$  ... moment setrvačnosti k ose kolmé na směr vybočení  
(jsou-li podmínky vybočení stejné ve všech směrech,  
pak  $I = I_{\min}$ )



$L$  ... vzpěrna délka

## 1. případ - nosník prostě podepřený



$$M_y(x) = F \cdot w(x)$$

$$w''(x) = -\frac{F}{EI} w(x) \quad \frac{F}{EI} = \alpha^2$$

$$w''(x) + \alpha^2 w(x) = 0$$

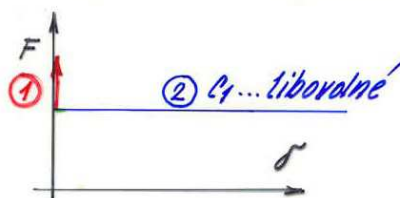
Řešení:  $w(x) = C_1 \sin \alpha x + C_2 \cos \alpha x$

Pootočení:  $w'(x) = C_1 \alpha \cos \alpha x - C_2 \alpha \sin \alpha x$   
 $w''(x) = -C_1 \alpha^2 \sin \alpha x - C_2 \alpha^2 \cos \alpha x$   
 $= -w(x)\alpha^2$

Okrrajové podmínky:

$$x=0 : w(0) = 0 \Rightarrow C_2 = 0$$

$$x=l : w(l) = 0 \Rightarrow C_1 \sin \alpha l = 0 \Rightarrow \begin{cases} \textcircled{2} \sin \alpha l = 0 \\ \textcircled{1} C_1 = 0 \text{ (prut nevybočí)} \end{cases}$$



charakteristická rovnice

$$\sin \alpha l = 0$$

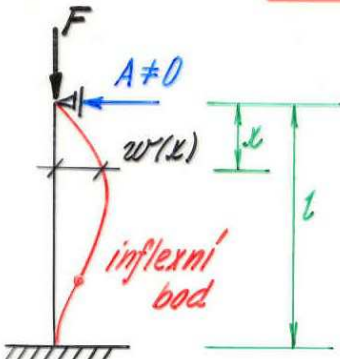
$$\Rightarrow \alpha l = \pi, 2\pi, 3\pi, \dots$$

$$(\alpha l)_{\min.} = \pi \dots \text{hodnota kritická} \Rightarrow \alpha = \alpha_k$$

$$\alpha_k^2 = \frac{\pi^2}{l^2} \quad \alpha_k^2 = \frac{F_k}{EI}$$

Eulerův vzorec:  $F_k = EI \frac{\pi^2}{l^2}$  kritické břemeno

2. případ - nosník na jedné straně vrtknutý, na druhé straně kroubově podepřený



$$M_y(x) = Fw(x) + A \cdot x$$

$$w'' = -\frac{M}{EI} = -\frac{1}{EI}(F \cdot w + A \cdot x)$$

$$= -\frac{F}{EI}(w + \frac{A}{F}x)$$

$$w''(x) + \alpha^2 w(x) = -\alpha^2 \frac{A}{F} x$$

diferenciální rov. 2. řádu nehomogenní

Rешení:  $w(x) = w_{\text{homog.}} + w_{\text{partik.}}$

$$w(x) = \underbrace{C_1 \sin \alpha x + C_2 \cos \alpha x}_{\text{homog. řeš.}} + \underbrace{\left(-\frac{A}{F}x\right)}_{\text{part. řeš.}}$$

Pootočení:  $w'(x) = C_1 \alpha \cos \alpha x - C_2 \alpha \sin \alpha x - \frac{A}{F}$

3 neznámé:  
 $C_1, C_2, \frac{A}{F}$

okrajové podmínky:

$$x=0 : w(0)=0 \Rightarrow C_2=0$$

$$\begin{aligned} x=l : w'(l)=0 &\Rightarrow C_1 \alpha \cos \alpha l - \frac{A}{F} = 0 \\ w(l)=0 &\Rightarrow C_1 \sin \alpha l - \frac{A}{F} l = 0 \end{aligned} \quad \left. \begin{array}{l} \text{z rovnice pro 2 neznámé} \\ [C_1, \frac{A}{F}] \end{array} \right.$$

matricový zápis:

$$\left[ \begin{array}{c|c} \cos \alpha l & -1 \\ \sin \alpha l & -l \end{array} \right] \left\{ \begin{array}{l} C_1 \\ \frac{A}{F} \end{array} \right\} = \left\{ \begin{array}{l} 0 \\ 0 \end{array} \right\}$$

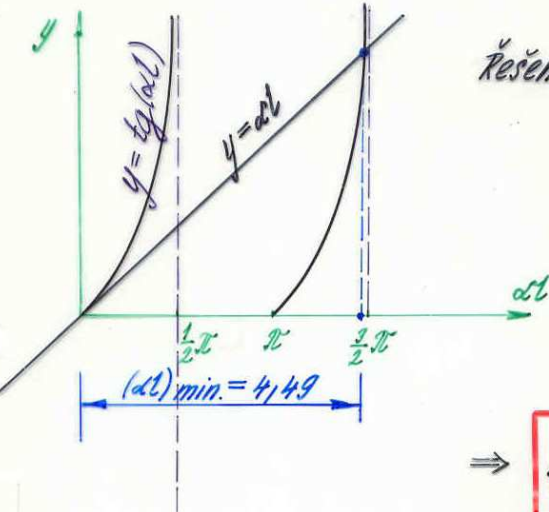
Soustava má dvojí řešení: 1) trivitální,  $C_1=0; A/F=0$   
2) netrivialní,  $C_1 \neq 0, A/F \neq 0$

Homogenní soustava má netrivialní řešení jedině tehdy, je-li její determinant nulový.

Charakteristická rovnice:

$$\det \begin{bmatrix} \cdot & \cdot \\ \cdot & \cdot \end{bmatrix} = \sin \alpha l - \alpha l \cos \alpha l = 0 \Rightarrow \tan \alpha l = \alpha l$$

transcendentní rovnice



řešení pouze přibližné:

$$y = \tan(\alpha l)$$

$$y = (\alpha l)$$

$$(\alpha l)^2 = \frac{F}{EI} l^2 = 4,49^2$$

$$(\alpha l)_{\min} = (\alpha l)_k$$

$$\Rightarrow F_k = 4,49^2 \frac{EI}{l^2} = \frac{EI \pi^2}{(0,707l)^2}$$

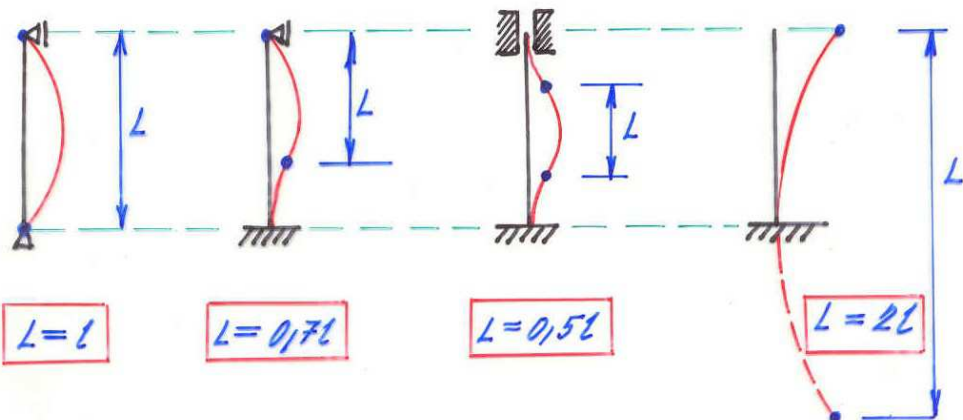
$L = 0,7l$  ... vzpěrná délka  
 $l$  ... skutečná délka

Vzpěrnatá délka  $L$  = vzdálenost dvou sousedních inflexních bodů na vybořené středovici prutu

Různé způsoby podepření prutu  $\rightarrow$  různé  $L$ .  
Určí se ze vz.:

$$\frac{F}{k} = \frac{EI\pi^2}{L^2}$$

Základní Eulerovy případy:



Pozn. : Čím větší vzpěrnatá délka  $L$   
 $\Rightarrow$  tím menší hodnota  $\frac{F}{k}$

V obecnějších případech (proměnné  $EI, N$ ) je nutno vzpěrnou délku stanovit z řešení  $\frac{F}{k}$ .

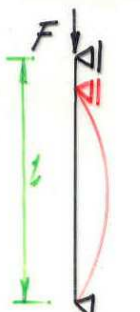
## 2.) Energetická metoda

- při řešení porovnáváme energii vnejsích sil s energií vnitřních sil

Potenciální energie vnejsích sil ( $E_e$ ) je měrou (měřítkem) sil budicích, které se snaží prut ohnout

Potenciální energie vnitřních sil ( $E_i$ ) je měřítkem sil, které kladou vybočení odpor

Rovnoráha je



stabilní'       $E_i > E_e$       ( $F < F_k$ )

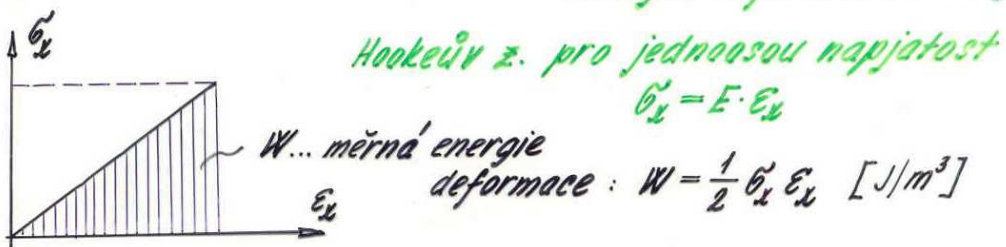
indiferentní'     $E_i = E_e$       ( $F = F_k$ )

labilní'         $E_i < E_e$       ( $F > F_k$ )

t.j. tzv. energetické kriterium

■ ~ A

a) Energie vnitřních sil = práce vnitřních sil, energie deformace =  $E_i$



$$E_i = \iiint_V W dV = \frac{1}{2} \iiint_V \sigma_x \cdot \epsilon_x dV = \frac{E}{2} \iiint_V \epsilon_x^2 dV$$

(objem prutu)

Při ohýbu:  $E_I = -z \frac{d^3 w(z)}{dx^3} = -z w''''$

↓  
vzdálenost vrakem od n.o.

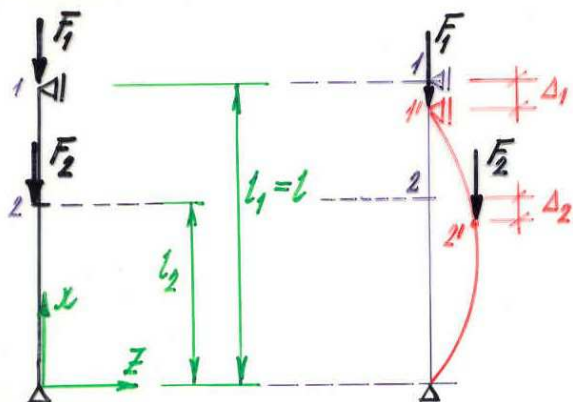
$$E_I = \frac{E}{2} \iint_A z^2 dA \int_0^l (w'')^2 dx$$

$\iint_A z^2 dA = I_y(z)$  ... může být proměn.

$$E_I = \frac{E}{2} \int_0^l I_y (w'')^2 dx$$

Energie vnitřní sil  
- růždy z celé konstrukce

b) Energie vnejších sil = práce vnejších sil =  $E_e$



prut se nejprve stlačuje, pak vybočí

V okamžiku vybočení má síla  $F$  již konečnou hodnotu.

$\Delta_1, \Delta_2$  ... posuny počítané vznikly vybočením prutu

$$E_e = F_1 \Delta_1 + F_2 \Delta_2$$

obecně

$$E_e = \sum_i F_i \Delta_i, \quad \Delta_i = \frac{1}{2} \int_0^{l_i} (w'')^2 dx$$

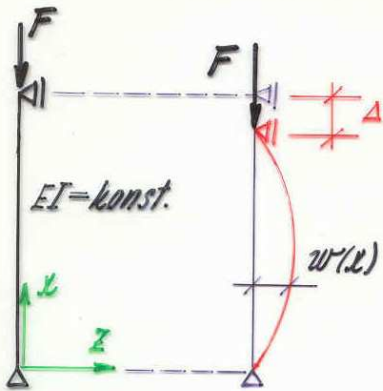
c) Kritické břemeno se počítá ze vztahu

$$E_e = E_I \quad (\text{indiferentní rovnováha})$$

$$\sum_i F_i \Delta_i = \frac{E}{2} \int_0^l I_y (w'')^2 dx$$

**Příklad**

Vypočtěte hodnotu kritického břemene pro první Eulerův případ pomocí energetické metody. Tvar vybočení uvažujte z řešení geometrickou metodou (sinusovka):



$$w(x) = a \sin \frac{\pi x}{l}$$

$$w'(x) = a \frac{\pi}{l} \cos \frac{\pi x}{l}$$

$$w''(x) = -a \frac{\pi^2}{l^2} \sin \frac{\pi x}{l}$$

$$a \dots \text{koeficient} \quad a = \delta = w(l/2)$$

Rешение:

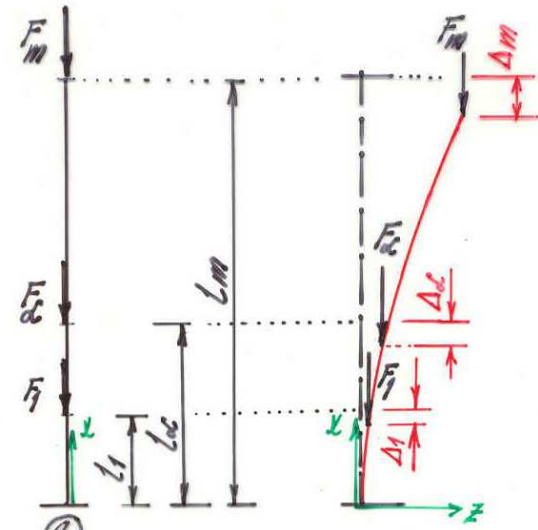
$$\underline{E_i} = \frac{1}{2} EI \int_0^l (w'')^2 dx = \frac{1}{2} EI a^2 \left(\frac{\pi}{l}\right)^4 \int_0^l \overbrace{\sin^2 \frac{\pi x}{l}}^{1/2} dx \\ = \frac{1}{2} EI a^2 \frac{\pi^4}{l^4} \cdot \frac{l}{2}$$

$$\underline{\Delta} = \frac{1}{2} \int_0^l (w')^2 dx = \frac{1}{2} a^2 \frac{\pi^2}{l^2} \int_0^l \cos^2 \frac{\pi x}{l} dx = \underline{\frac{1}{2} a^2 \frac{\pi^2}{l^2} \cdot \frac{l}{2}}$$

Podmínka indiferentní rovnováhy

$$F \cdot \frac{1}{2} a^2 \frac{\pi^2}{l^2} \cdot \frac{l}{2} = \frac{1}{2} EI a^2 \frac{\pi^4}{l^4} \cdot \frac{l}{2}$$

$$\underline{\underline{F_k = \frac{EI\pi^2}{l^2}}} \quad \equiv \text{s řešením geometrickou metodou}$$



$$\Delta_d = \frac{1}{2} \int_0^{l_d} (w')^2 dx$$

$$F_d = \lambda_d F$$

$F$  ... srovnávací hodnota  
zatížení  
 $\lambda_d$  ... koeficient zatížení

bod nepoužívané podpůrný  
ve směru x (počátek osy x!)

$$E_e = \sum_{d=1}^m F_d \cdot \Delta_d = F \sum_{d=1}^m \lambda_d \cdot \Delta_d = F \sum_{d=1}^m \lambda_d \frac{1}{2} \int_0^{l_d} (w')^2 dx$$

$$E_i = \frac{1}{2} \int_0^L EI(x) (w'')^2 dx$$

Podmínka indiferentní rovnováhy ( $F = F_k$ )

$E_e = E_i \Rightarrow$  vzorec pro kritické břemeno  $F_k$

$$F_k = \frac{\int_0^L EI(x) (w'')^2 dx}{\sum_{d=1}^m \lambda_d \int_0^{l_d} (w')^2 dx}$$

Přesný vzorec za předpokladu, že je známý  
přesný tvar ohýb. čáry  $w$ .

## Přibližné řešení z energetické metody

- použijeme-li přesný tvar vybocení, výjde z podmínky  $E_i = E_e$  přesná hodnota  $\tilde{F}_k$ ;
  - zvolíme-li přibližný tvar vybocení  $\tilde{w}$ , výjde z podmínky  $\tilde{E}_i = \tilde{E}_e$
- $\boxed{\tilde{F}_k > F_k} \Rightarrow \underline{\text{energetické řešení není na straně bezpečnosti}}$

### Postup výpočtu

#### 1) ohybovou čáru volíme ve tvaru řady

$$\tilde{w}(x) = a_1 \varphi_1(x) + a_2 \varphi_2(x) + \dots + a_n \varphi_n(x)$$

$\varphi_1(x), \varphi_2(x), \dots, \varphi_n(x)$  ... známé, zvolené funkce, které splňují geometrické okrajové podmínky (alespoň)!

$a_1, a_2, \dots, a_n$  ... neznámé koeficienty

#### 2) sestavíme podmínu energetické rovnováhy

$$\tilde{E}_i - \tilde{E}_e \Rightarrow \tilde{F}_k = f(a_1, a_2, \dots, a_n)$$

Konstanty  $a_1, a_2, \dots, a_n$  určíme z podmínky minima:

$$\left. \begin{array}{l} \frac{\partial \tilde{F}_k}{\partial a_1} = 0 \\ \frac{\partial \tilde{F}_k}{\partial a_2} = 0 \\ \vdots \end{array} \right\} \text{dostaneme homogenní soustavu lineárních algebraických rovnic}$$

Z podmínky: determinant soustavy = 0  $\Rightarrow \tilde{F}_k, \min.$   
 (vyhovuje nenuleovému řešení)  
 (koeficienty  $a_i$  nelze určit)

Pro  $n=1$ : Energetická metoda v uzším smyslu

$$\tilde{w}(x) = a_1 \varphi_1(x)$$

$$\tilde{w}'(x) = a_1 \varphi_1'(x)$$

$$\tilde{w}''(x) = a_1 \varphi_1''(x)$$

$$\frac{\tilde{F}_k}{F_k} = \frac{\int_0^L EI (\varphi_1'')^2 dx}{\sum_{\alpha} \int_0^{x_{\alpha}} (\varphi_1')^2 dx} = \frac{\int_0^L EI (\varphi_1'')^2 dx}{\sum_{\alpha} x_{\alpha} \int_0^{x_{\alpha}} (\varphi_1')^2 dx}$$

Geometrické bázové funkce pro průhýb



$$\varphi_1(x) = \sin \frac{\pi x}{L}$$



$$\varphi_1(x) = 1 - \cos \frac{\pi x}{2L}$$



$$\varphi_1(x) = \cos \frac{\pi x}{2L} - \cos \frac{3\pi x}{2L}$$



$$\varphi_1(x) = 1 - \cos \frac{2\pi x}{L}$$

Poznámka: Geometrické okrajové podmínky



$$x=0 : w=0$$

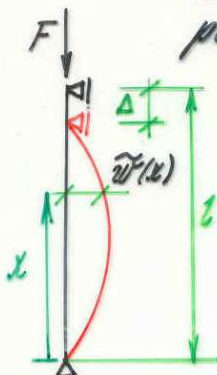


$$x=0 : w=0, w'=0$$

**Příklad**

Vypočte približnou hodnotu  $\tilde{F}_k$ .

Zvolte ohybovou čáru ve tvaru kвadratické paraboly:



$$\tilde{w}(x) = ax(l-x) = a(lx - x^2)$$

$$\tilde{w}'(x) = a(l-2x)$$

$$\tilde{w}''(x) = a(-2)$$

Splnění okrajových podmínek

geometrické:  $x=0 : \tilde{w}(0)=0$  } splněno  
 $x=l : \tilde{w}(l)=0$  } splněno

statické:  $x=0 : M(0) = -EI\tilde{w}''(0) \neq 0$  } splněno,  
 $x=l : M(l) = -EI\tilde{w}''(l) \neq 0$  } neni'

Energetická podmíinka

$$\tilde{F}_k \frac{1}{2} \int_0^l (\tilde{w}'')^2 dx = \frac{1}{2} EI \int_0^l (\tilde{w}''')^2 dx$$

$$\tilde{F}_k = \frac{\frac{1}{2} EI \int_0^l (-2a)^2 dx}{\frac{1}{2} \int_0^l a^2 (l^2 - 4lx + 4x^2) dx} = \frac{\frac{1}{2} EI a^2 4l}{\frac{1}{2} a^2 \frac{1}{3} l^3}$$

$$\Rightarrow \tilde{F}_k = \frac{12EI}{l^2} > \frac{EI\pi^2}{l^2} = F_k \quad (\text{chyba } 21,6\%)$$

Nepřesnost způsobena tím, že jsme nesplnili statické okrajové podmínky. Při volbě 1 členu řady je učelně splnit nejen geometrické, ale i statické okraj. podmínky.

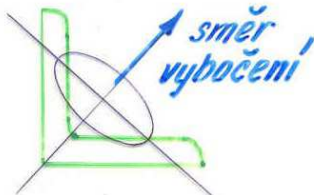
## Kritické napětí a Eulerova hyperbola

Je-li prut namáhan centricky tlakovou silou  $F$ , vzniká v něm normálové napětí  $\sigma = \frac{N}{A} = -\frac{F}{A}$   
kritické napětí  $F=F_k$

$$\sigma_k' = \frac{F_k}{A} = \frac{\frac{EI\pi^2}{L^2}}{\frac{I}{i^2}} = \frac{EI\pi^2}{(L/i)^2} = \frac{EI\pi^2}{\lambda^2}$$

$L$  ... rezérna délka prutu

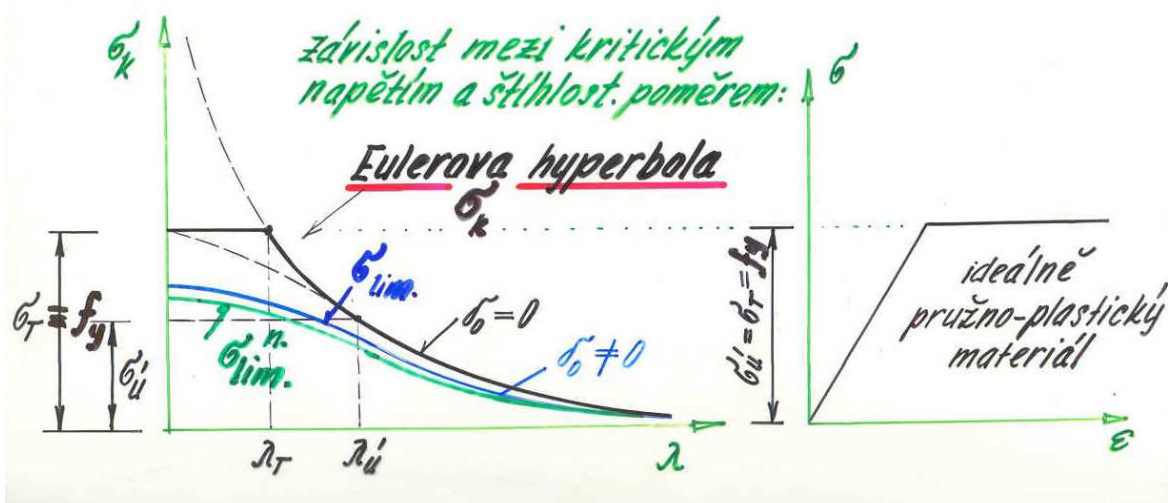
$i^2 = \frac{I}{A}$  .... jsou-li podmínky uložení ve všech směrech v rovině průřezu stejné, uvažuje se  $i_{min}$ .



.... při různých poměrech uložení prutu v podporách, rozhoduje směr vybočení

$$\lambda = \frac{L}{i}$$

štíhlostní poměr prutu



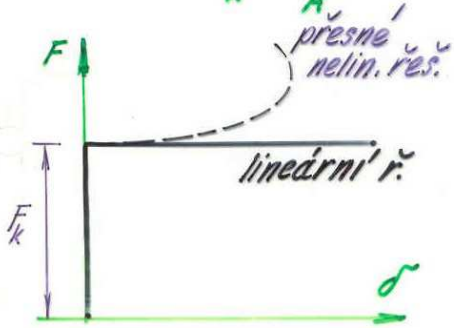
ideální prut

$$F \downarrow \quad \sigma_0 = 0$$

$$\sigma = \frac{EI\chi^2}{L^2}$$

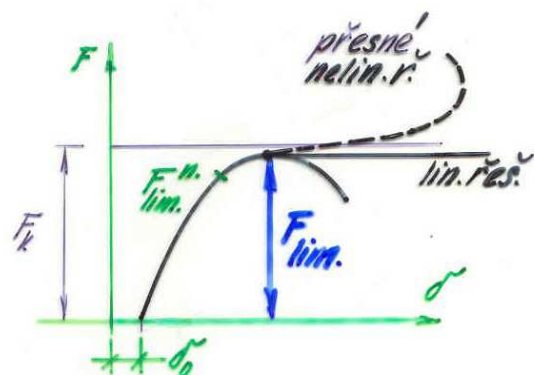
$$\lambda = \frac{L}{l_{min.}}$$

$$\sigma_k = \frac{F_k}{A}$$

skutečný (imperf.) prut

$$F \downarrow \quad \sigma_0 \neq 0$$

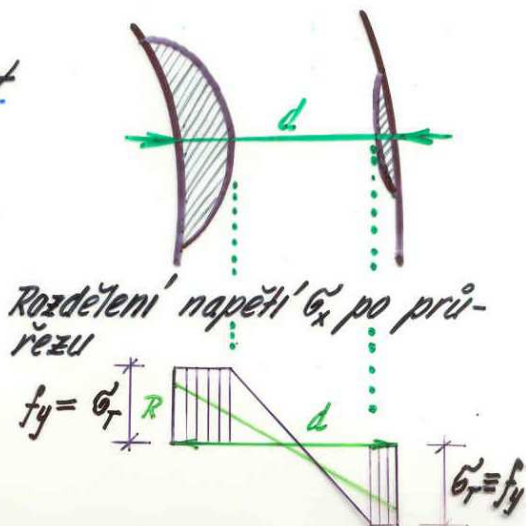
$$\sigma_{lim.} = \frac{F_{lim.}}{A} < \sigma_k$$



- při zvětšení pružnosti - napětí v krajních vláknech dosáhne meze úměrnosti  $\tilde{\sigma}_u' = \tilde{\sigma}_T = f_y$   
⇒ začnou se tvorit plasticke oblasti prutu

- zvětšením zatížení  
⇒ zvětší se plastická oblast

- při výrazném zmenšení pružné oblasti není průřez schopen přenášet zvětšující se zatížení, ⇒ nastává kolaps



## Návrhování tlacených prutů podle normy

a) U masivních prutů (u kterých se neuplatňuje vzpěr)

- posuzuje se namáhání při prostém tlaku



$$\frac{F}{A} \leq R$$

R ... výpočtové namáhání  
 (= max. přípustné napětí v prutu)

F ... výpočtové zatížení  
 (= stanoveno dle normy o zahř., s ohledem na pravděpodobnost maxima)

b) U štíhlých prutů - ČSN přihlizí k imperfekcím  
 výpočet se nazývá pevnostní

$$\frac{F}{A} \leq R \cdot \phi$$

$$\phi = f(\lambda, E, G_T, \frac{\delta_0}{l}) = \frac{G_{lim}(\lambda)}{G_{lim}(\lambda=0)} \leq 1$$

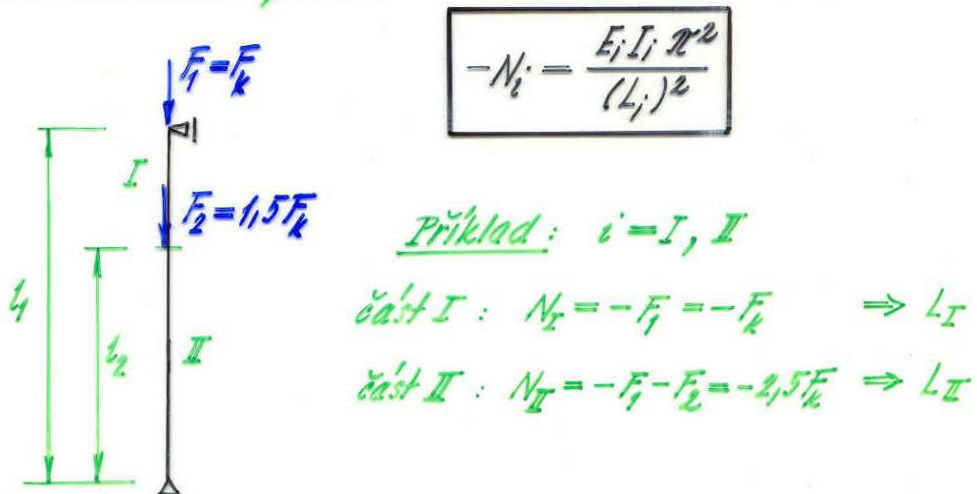
$\phi <$   
 = 1 ... masivní pruty  
 < 1 ... štíhlé pruty

Funkce  $\phi$  je tabulkována pro různé materiály ( $E, G_T$ ) v závislosti na  $\lambda$ . Imperfekce  $\delta_0$  jsou v tabulkách a normových vzorcích již zraženy.

## Postup řípočtu:

1) Ze způsobu podepření a zatížení konstrukce (ideálního prutu) určíme  $F_k$ .

2) Určíme vzpěrnou délku prutu L (u členěného prutu - v každém intervalu)



3) stanovíme štíhlostní poměr

$$\lambda = \frac{L}{l_{min}}$$

4) Podle druhu materiálu určíme v závislosti na  $\lambda$  hodnotu součinitele vzpěrnosti

$$\phi \leq 1$$

5) Prokážeme (posouzení pruku), že řípočtové zatížení F prutu vyhovuje nerovnost

$$\frac{F}{A} \leq R \cdot \phi.$$